

M U N I
M E D

Měření teploty

Erik Staffa

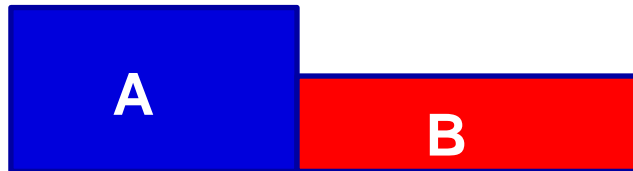
Biofyzikální ústav LF MU

TEPLO VS. TEPLOTA

Teplota je stavová veličina, která charakterizuje stav termodynamické rovnováhy uvažované soustavy (tělesa)

Změna teploty je způsobena přenosem energie (**tepla**) mezi systémem a okolím, kdy dochází ke změně i vnitřní energie.

Tepelná rovnováha



- a) Mezi tělesy neprobíhá tepelná výměna, $Q_A = Q_B$
Tělesa jsou ve vzájemné tepelné rovnováze, mají
stejnou teplotu.
- b) Probíhá tepelná výměna – tělesa mají různou teplotu
větší nebo menší teplota podle změny ΔU

výsledná teplota soustavy po nastolení rovnovážného stavu

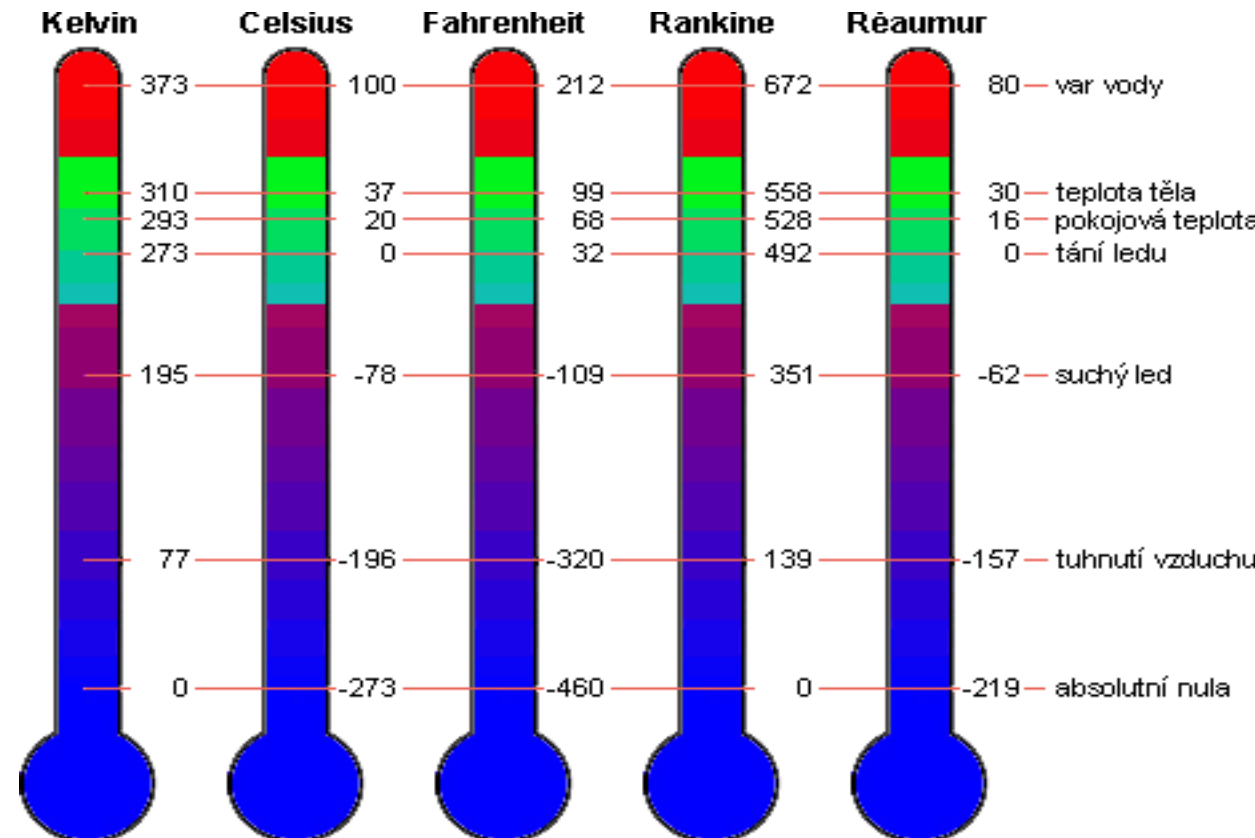
HISTORICKÉ SOUVISLOSTI

- 1592(5)- první teploměr- termoskop-G.Galilei (teplotní roztažnost vzduchu)
- 1631 - kapalinový teploměr francouzský Lékař J. Rey
- 1641 - lihový teploměr
- 1650 - první normalizovaná stupnice
- 1724 - D.G. Fahrenheit - rtuťový teploměr s první teplotní stupnicí
- 1742 - A. Celsius zavádí Celsiovu stupnici
- 1848 - W.Kelvin zavedl termodynamickou stupnici
- 1866 - první lékařský teploměr (Thomas Clifford Allbut)



Teplotní stupnice

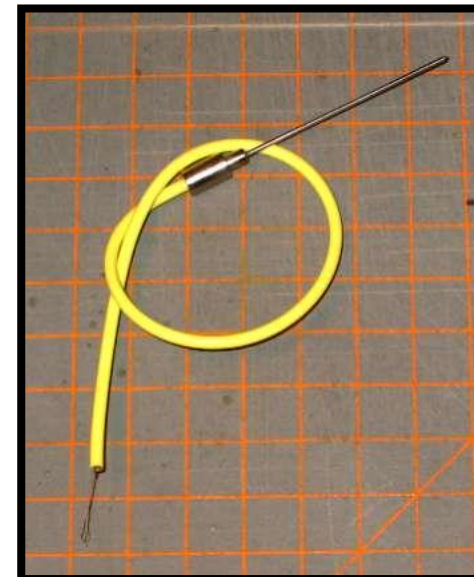
- * Kelvinova → 0K, absolutní nula
- * Celsiova → $y \text{ } ^\circ\text{C} = x \text{ K} + 273,15$
- * Fahrenheitova → $y \text{ } ^\circ\text{F} = x \cdot 9/5 \text{ } ^\circ\text{C} + 32$
- * Reamurova
- * Rankinova
- * Newton
- * Romerova
- * Delislova



Způsob měření teploty

Zprostředkováně za pomocí teplotních čidel

- odporová
- termoelektrická
- polovodičová
- emisivní - radiační
- krystalová

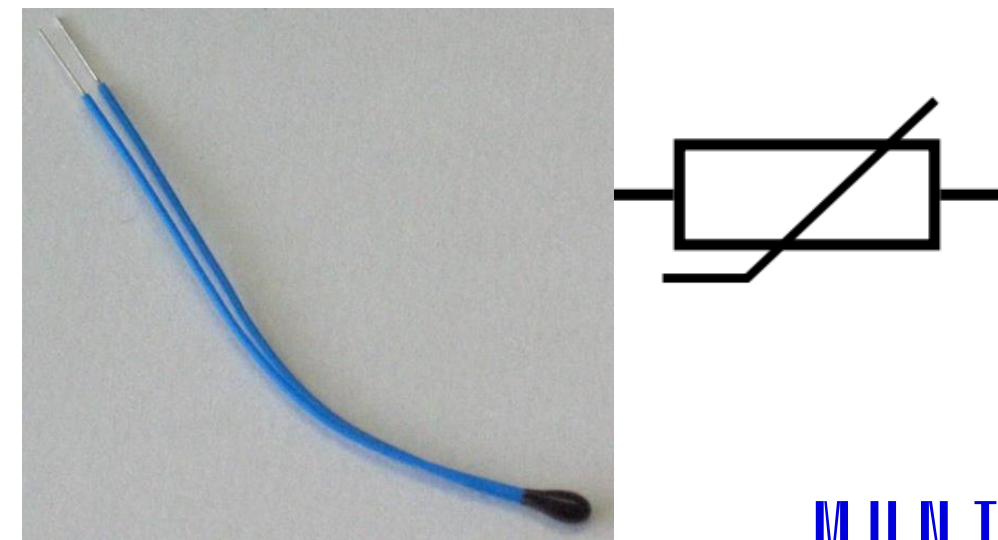
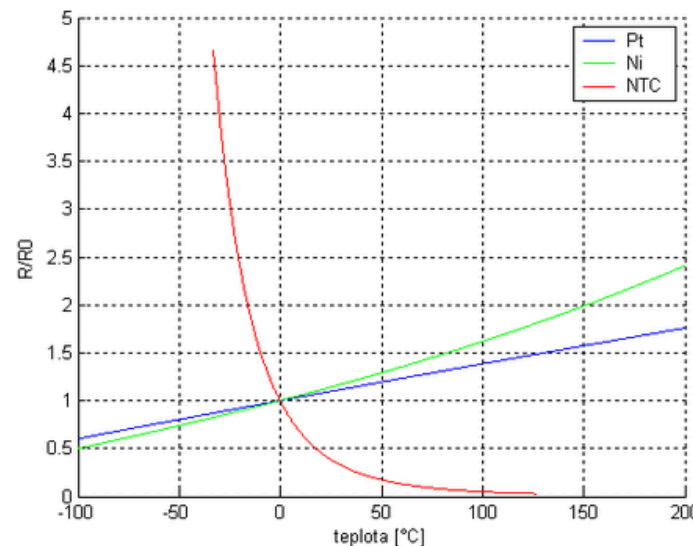


Další dělení

- dotykové
- bezdotykové

ODPOROVÉ SNÍMAČE - TERMISTOR

- Čidlem a tedy převodníkem teploty je (elektrický) odpor
- Elektrický odpor je závislý na teplotě (pro převod musíme znát VA charakteristiku – není lineární).
- Materiály měrného odporu: Mn, Pt, Ni, Cr, Cu nebo slitiny Rh-Fe, PtRh-Fe, CrNi.



Teplotní závislost odporových senzorů teploty

Termoelektrické snímače

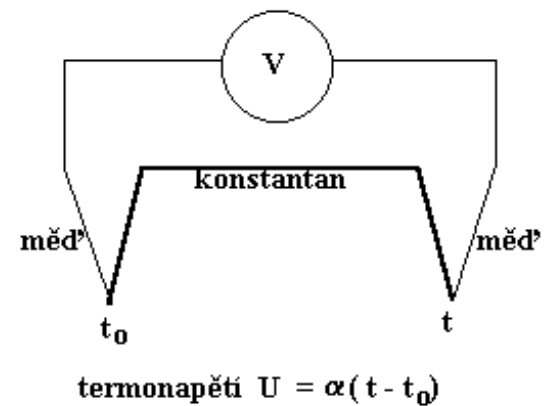
- Pracují na principu vzniku **termoelektrického napětí** v místě (bodě) spojení (svaru) dvou vhodných materiálů s rozdílným **termoelektrickým potenciálem**.
- Vlastnostmi použitých kovů je pak dán i pracovní rozsah měřených teplot.
- **Seebeckův jev** - převod tepelné energie na elektrickou.

V teplejší části vodiče mají nositelé náboje větší energii a difundují do chladnějších míst ve větším množství než nositelé z chladnějších míst

- Termočlánky jsou složeny (spojené svařením, pájením) vždy ze dvou kovů různého materiálu. V uzavřeném obvodu protéká proud pouze tehdy, pokud mají spoje různou teplotu. Při rozpojení obvodu můžeme naměřit napětí, které bude závislé na rozdílu teplot na spojích

Používají se pro rozsah teplot od -50 až do + 650°C

$$U = \alpha \cdot (t_2 - t_1)$$

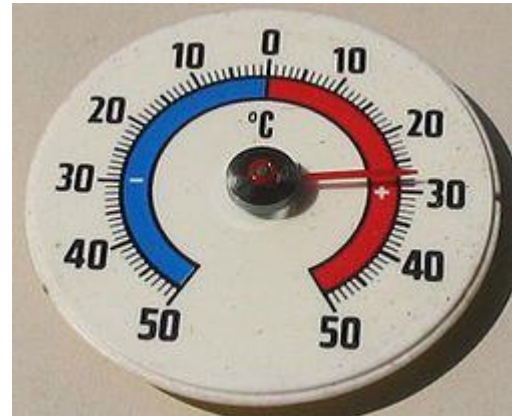




MUNI
MED

Bimetalový teploměr

- teploměr, ve kterém se k měření teploty využívá bimetalový (dvojkovový) pásek složený ze dvou kovů s různými teplotními součiniteli délkové roztažnosti. Při změně teploty se pásek ohýbá a tento pohyb se přenáší na ručku přístroje.



KONTAKTNÍ MĚŘENÍ TEPLITY V LÉKAŘSTVÍ

LÉKAŘSKÝ TEPLOMĚR MAXIMÁLNÍ (DILATAČNÍ)

- rtut'ový - kapilára je nad rezervoárem zúžená a po dosažení maximální teploty se přetrhne vlivem kapilárních sil a ukazuje max. dosaženou teplotu, nevýhodou je dlouhá časová konstanta - 3-5 min a nutnost sklepání. **Nyní se používá kapalina na bázi Ga, In, Sn a Sb.**



LÉKAŘSKÝ TEPLOMĚR RYCHLOBĚŽNÝ (DILATAČNÍ)

- lihový - kapilára není zaškrcena, teplotu je nutno odečíst během měření , časová konstanta - do 1 min.

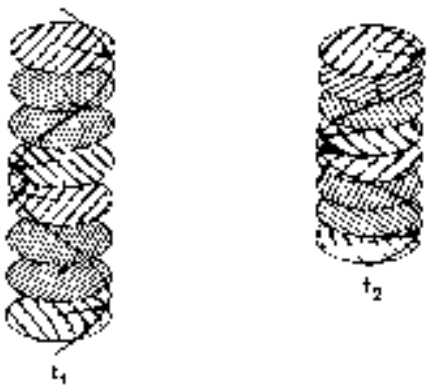
TEPLOMĚR DIGITÁLNÍ



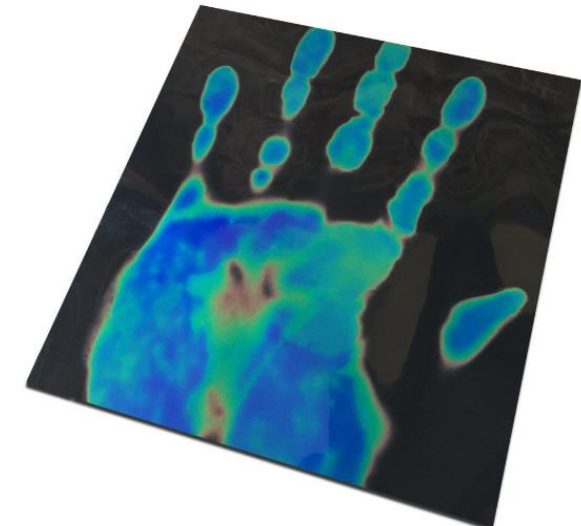
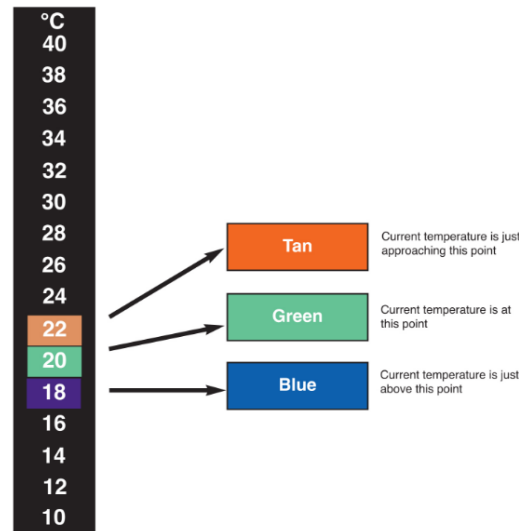
Nařízení Komise č. 552/2009/ES ze dne 22. června 2009, kterým se mění nařízení Evropského parlamentu a Rady (ES) č. 1907/2006 o registraci, hodnocení, povolení a omezování chemických láték, pokud jde o přílohu XVII (viz 18a. 1a v tabulce přílohy). [cit. 2017-12-28].

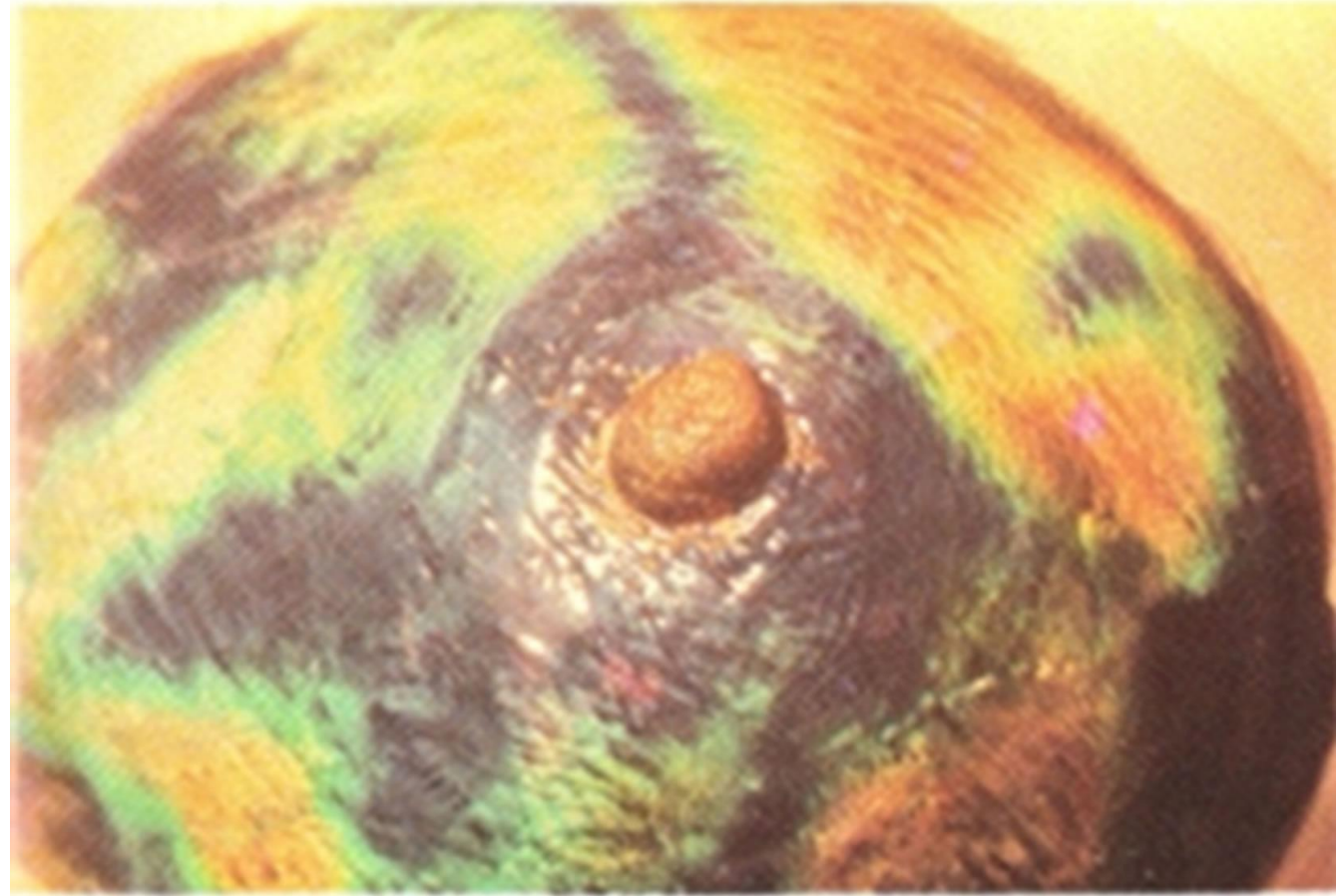
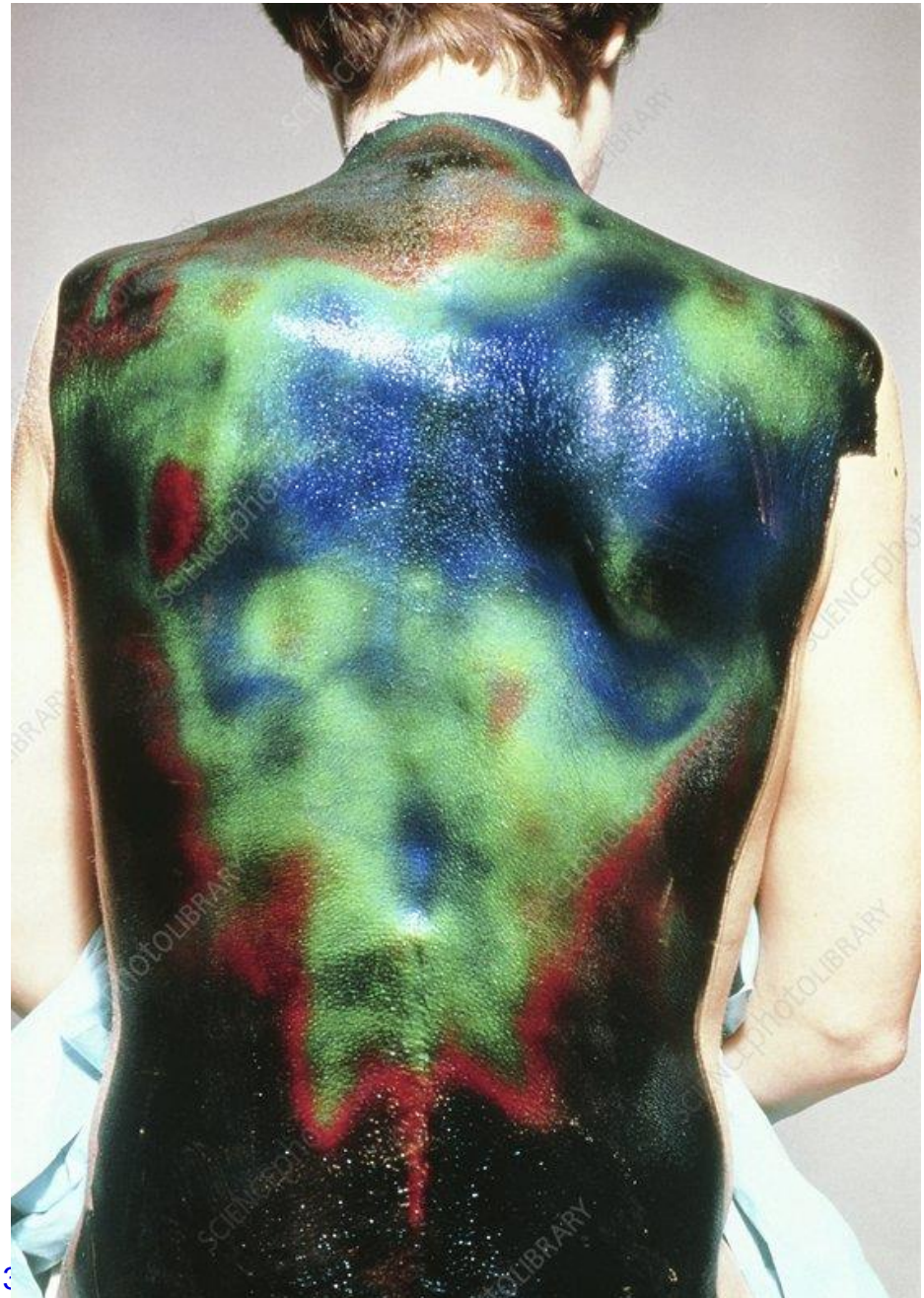
KAPALNÉ KRYSTALY

- Citlivost – okolo 0,1 °C
- Výchozí teplota – teplota, při níž začíná změna barvy
- Teplotní interval – 25 - 42 °C
- Prostorové rozlišení - množství rozeznatelných barev
- Tepelná setrvačnost – doba setrvání barvy po změně teploty
- organické sloučeniny: Cholesteryl-nonanoát; Cholesteryl-benzoát; Cholesteryl-oleylkarbonát



$$t_1 < t_2$$





https://www.google.com/url?sa=i&url=https%3A%2F%2Fwww.sciencephoto.com%2Fmedia%2F264184%2Fview%2Fliquid-crystal-thermography-of-a-back-injury&psig=AOvVaw0RT6Z8OJxpaIdB_E09Q8BU&ust=1624443337458000&source=images&cd=vfe&ved=0CAoQjRxqFwoTCLjAqJKBq_ECFQAAAAAdAAAABAX

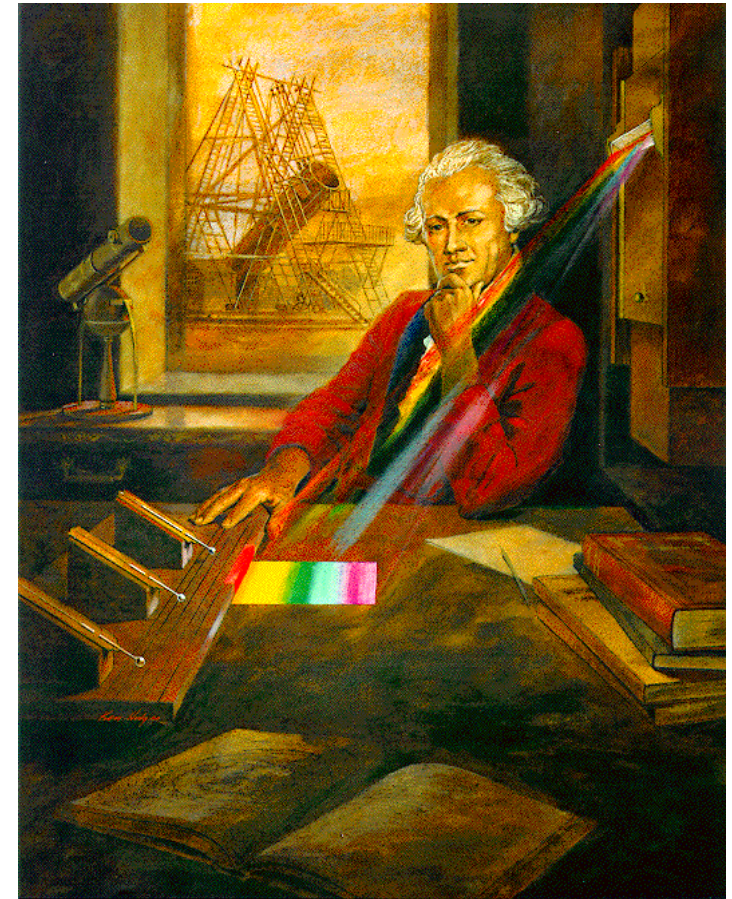
https://www.google.com/url?sa=i&url=https%3A%2F%2Fwww.scirp.org%2Fhtml%2F7-1010105_42466.htm&psig=AOvVaw0RT6Z8OJxpaIdB_E09Q8BU&ust=1624443337458000&source=images&cd=vfe&ved=0CAoQjRxFwotCLjAqJKBq_ECFQAAAAAdAAAABAL

Bezkontaktní metody



HISTORICKÉ SOUVISLOSTI

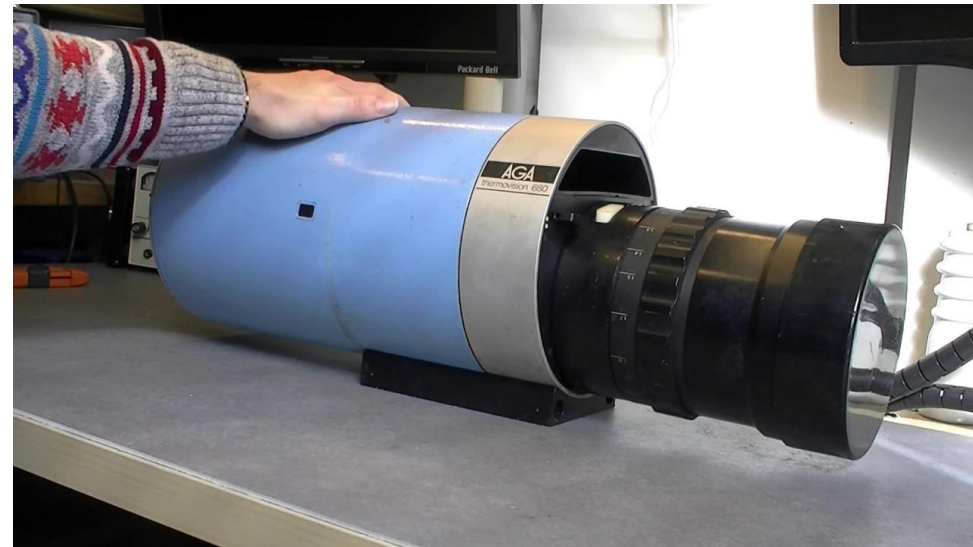
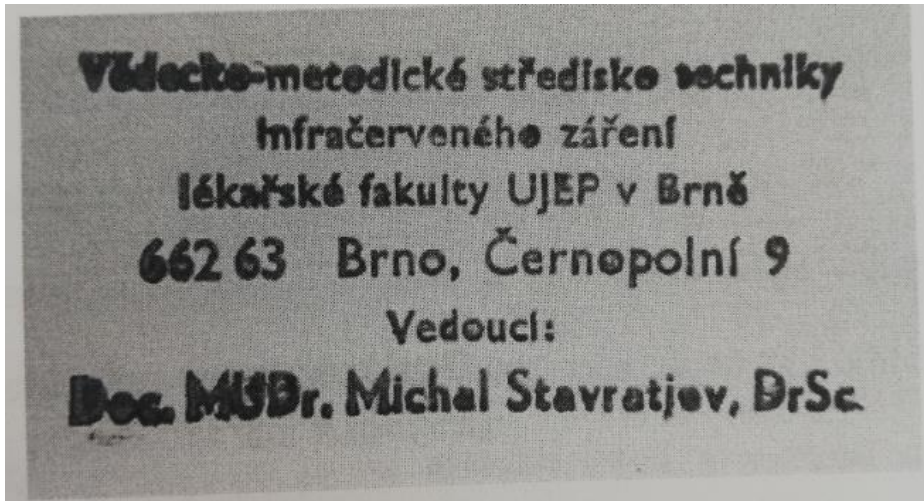
- 1678 - Christian **Hyugens** popsal vlnové vlastnosti světla a položil tak základy pro Maxwellovu teorii elamg. záření
- 1800 – William **Herschel** objevil při experimentech s viditelným světlem infračervenou oblast záření
- 1859 – Robert Kirchhoff vytvořil obecnou teorii emise a radiace, definoval absolutně černé těleso jako objekt, který absorbuje a vyzařuje IČ záření
- 1879 – Joseph Stefan stanovil vztah mezi množstvím energie vyzařované AČT a jeho teplotou
- 1884 – Ludwig Boltzmann odvodil a popsal matematicky Stefanův experiment o vyzařování AČT



- 1893 – Wilhelm **Wien** empiricky stanovil vztah mezi termodynamickou teplotou a vlnovou délkou AČT, odvodil zákon popisující závislost hustoty vyzařování na vlnové délce
- 1894 – Max **Planck** zkoumal spektrum záření emitovaného AČT
- 1900 – Max **Planck** odvodil správný zákon vyzařování AČT
- 1931 – první komerčně dostupné radiační termometry
- 60. léta 20. století – vznik společnosti FLIR Systems

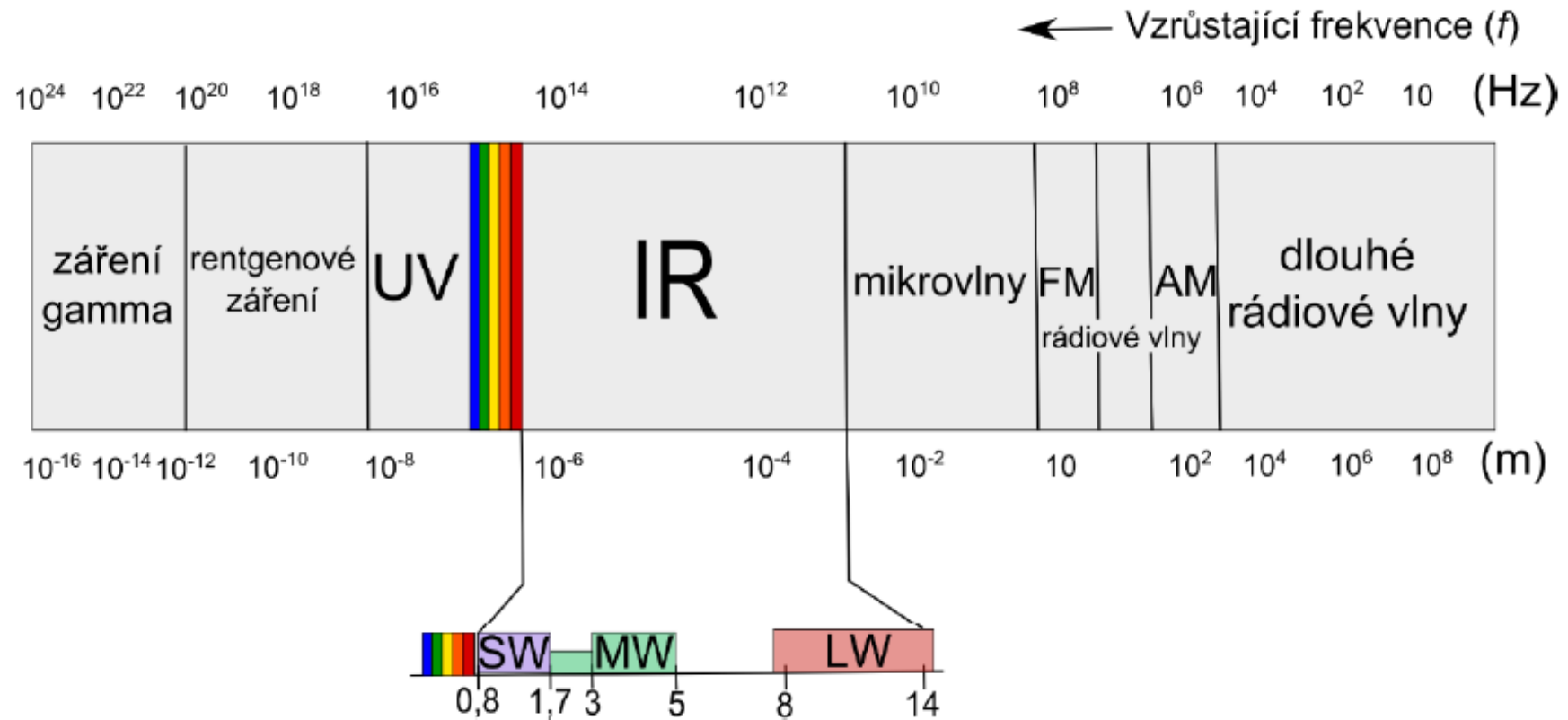


- 1970 – první termovizní diagnostické pracoviště v ČR na LF MU (Fakultní dětská nemocnice) - Kamera AGA Termovision, doc. Stavratjev a prof. Holý.



- 1990 – zánik pracoviště a zařízení AGA převedeno pod Biofyzikální ústav LF MU, až do r. 2000 sloužila kamera nadále k diagnostickým účelům pod prof. Hrazdírou a prof. Holým

Elektromagnetické spektrum



Název	Zkratka z angl.	Vlnová délka [μm]
Krátké IR	SWIR	0,9–2,5
Střední IR	MWIR	2–5
Dlouhé IR	LWIR	7–14

- IR-A (760 nm – 1,4 μm)
- IR-B (1,4 – 3 μm)
- IR-C (3 – 1000 μm)

Zdroje infračerveného záření

- 760 nm – 1mm
- Ve vakuu se šíří rychlostí světla a platí pro něj stejné zákony jako pro viditelné světlo (lom a odraz, interference,...)
- infračervené záření může generovat hmota s teplotou vyšší než je absolutní nula (0K)
- velikost zářivého toku generovaného tepelným zdrojem, spektrální složení a směr šíření závisí na vlastnostech a teplotě zdroje.
(zvýšení teploty = vzrůst energie zářivého toku, kratší vlnové délky)
- infračervená radiace je proud fotonů
- Pro infračervené záření platí zákony vlnové optiky (odraz, lom,..)

Energie fotonu

$$E = h \cdot f = \frac{h \cdot c}{\lambda} = \frac{1,986 \cdot 10^{-19}}{\lambda}$$

E..... energie fotonu[J]

h..... Planckova konstanta[J·s]

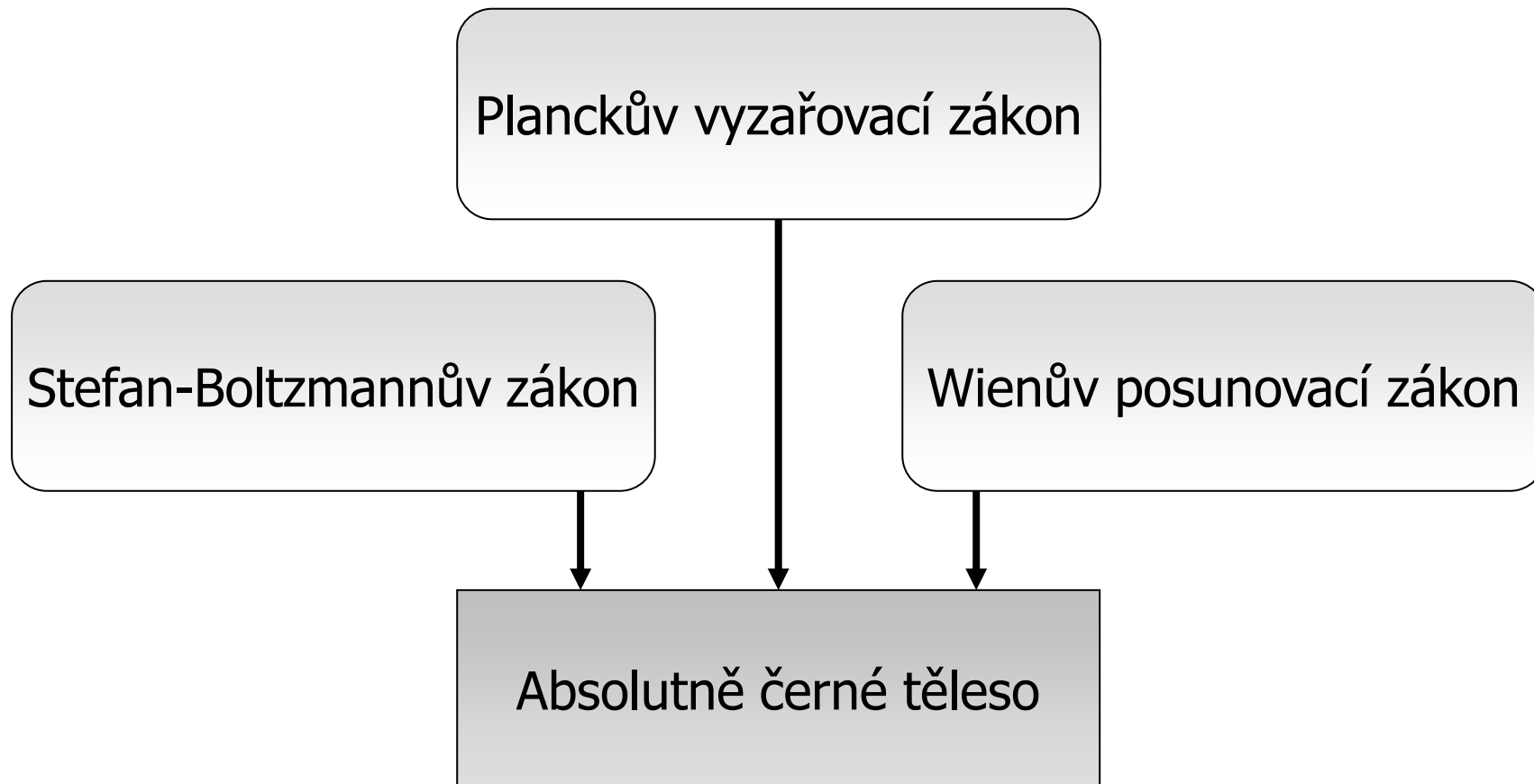
f..... frekvence[s⁻¹]

c..... rychlosť svetla[m·s⁻¹]

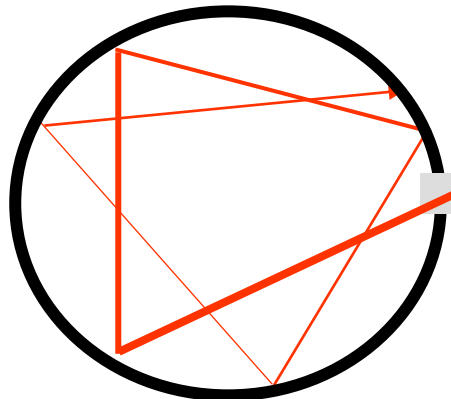
λ..... vlnová dĺžka[μm]

- pro tepelné zářiče v jeho zorném poli je reprezentován tokem fotonů v infračervené části spektra.

Základní zákony vyzařování



Absolutně černé těleso



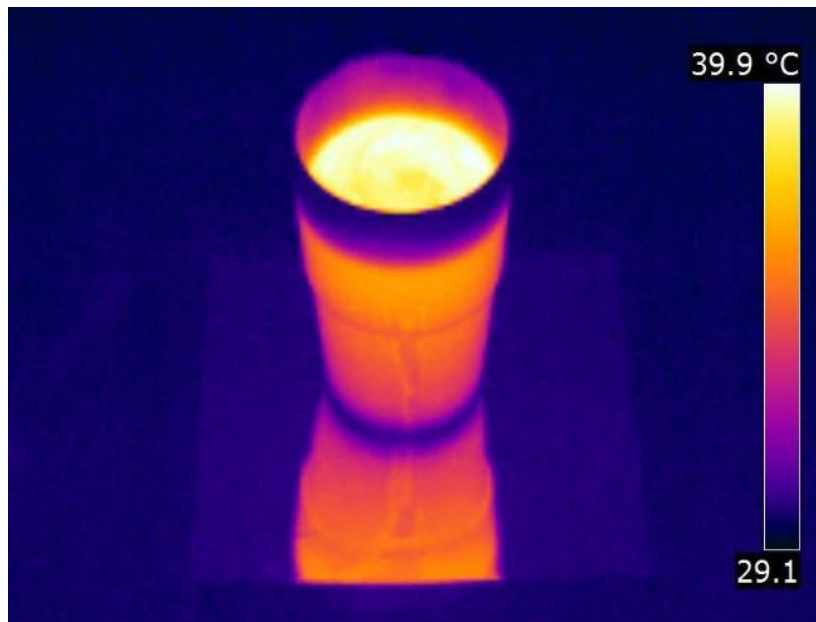
Proud fotonů

- pohlcování záření a vyzařování absolutně černého tělesa je vysvětleno Kirchhoffovým zákonem (podle Gustava Roberta Kirchhoffa, 1824–1887)

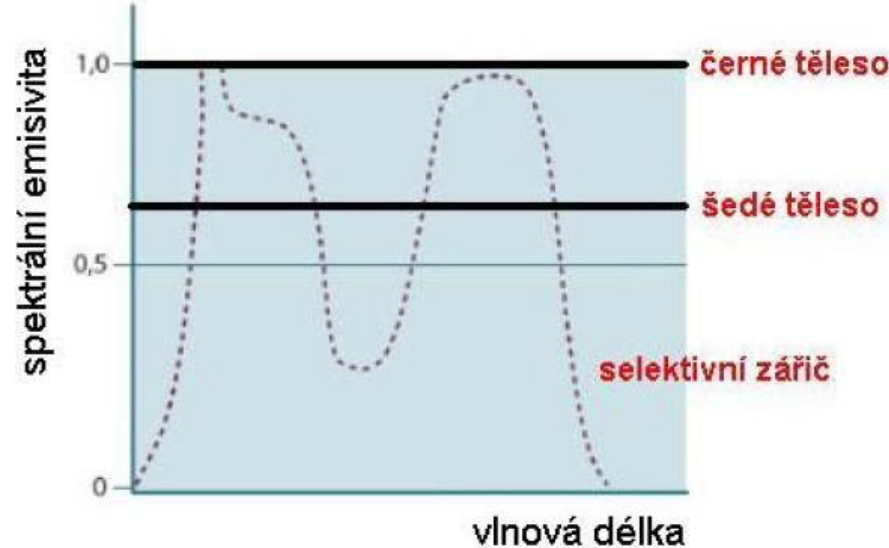
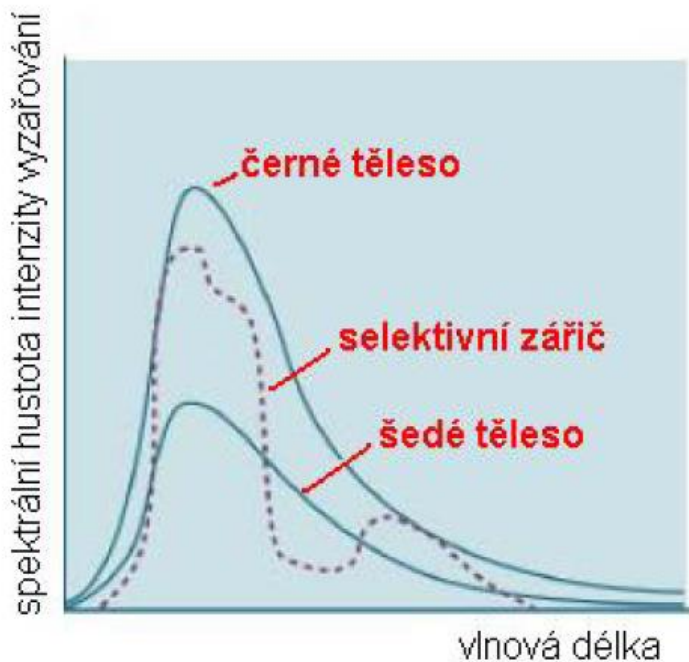


Absolutně černé těleso

- ideální těleso, které pohlcuje veškerou radiaci na něj dopadající, bez ohledu na vlnovou délku a úhel, pod kterým na těleso dopadá
- pokud je AČT zdrojem radiace je ideální absorber i emiter radiace
- vyzařuje na všech vlnových délkách při dané teplotě maximální dosažitelnou energii zářivého toku
- Pro infračervené záření platí zákony vlnové optiky (odraz, lom,..)



Černé těleso



Kirchhoffův zákon

v zájmu zachování energie musí být v termodynamické rovnováze **emitovaný tok** a **absorbovaný tok** na všech vlnových délkách a ve všech směrech při dané teplotě stejný

Koeficienty popisující vlastnosti těles ozářených radiačním tokem:

Koeficient pohltivosti (absorpce) – α

Koeficient odrazivosti (reflexe) – ρ

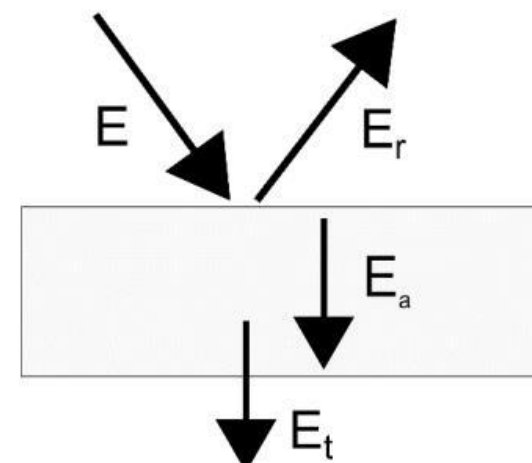
Koeficient propustnosti (transmise) - τ

$$1 = \alpha + \tau + \rho$$

$$\alpha = \Phi_{pohlcený} / \Phi$$

$$\tau = \Phi_{prošlý} / \Phi$$

$$\rho = \Phi_{odrazený} / \Phi$$



Kirchhoffův zákon

- termodynamická rovnováha tělesa v poli infračerveného záření:

absorbovaný výkon [W]

$$= \alpha \times E[W \cdot m^{-2}] \times plocha[m^2]$$

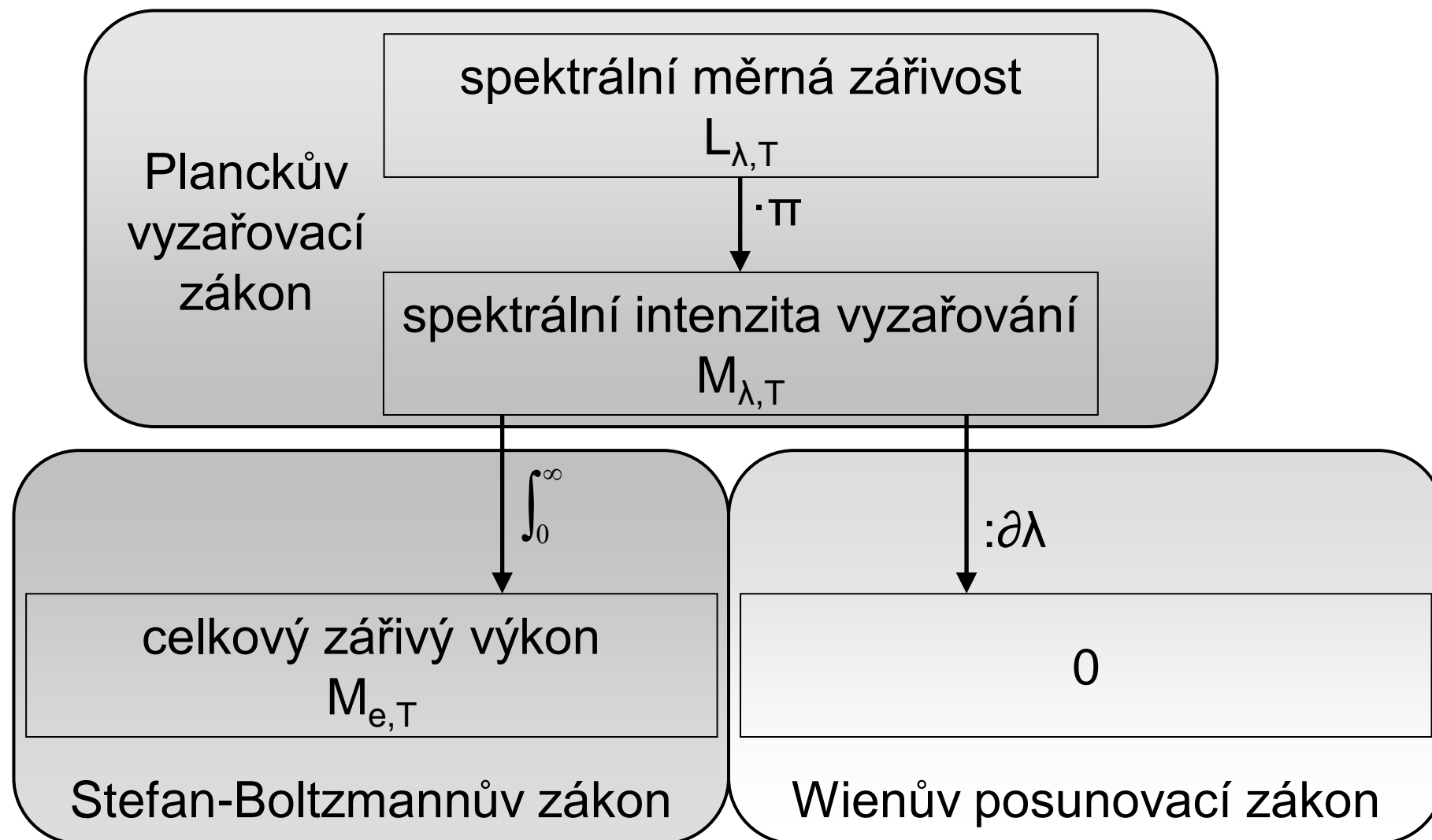
$$= \epsilon \times M[W \cdot m^{-2}] \times plocha[m^2]$$

vyzářený výkon [W]

E.....ozáření, expozice

M.....intenzita vyzařování

Vztahy mezi jednotlivými zákony



Planckův vyzařovací zákon

Max Planck (1858–1947)



Planckův vyzařovací zákon

- základní zákon tepelného vyzařování AČT
- **Záření o frekvenci f může být vyzařováno, nebo pohlcováno jen po kvantech energie o velikosti $e = h \cdot f$.**

$$L_{e,\lambda}(T) = \frac{\frac{C_1}{\lambda^5}}{e^{\frac{C_2}{\lambda T}} - 1} [W \cdot sr^{-1} \cdot cm^{-2} \cdot \mu m^{-1}]$$
$$C_1 = 2hc^2, \quad C_2 = \frac{ch}{k_B}$$

L..... spektrální měrná zářivost

h..... Planckova konstanta $6,6256 \cdot 10^{-34} [J \cdot s]$

k_B Boltzmannova konstanta $1,3807 \cdot 10^{-23} [J \cdot K^{-1}]$

c..... rychlosť světla $2,9979 \cdot 10^8 [m \cdot s^{-1}]$

C_1 1. vyzařovací konstanta $1,191 \cdot 10^{-16} [W \cdot m^2]$

C_2 2. vyzařovací konstanta $1,4388 \cdot 10^{-2} [K \cdot m]$

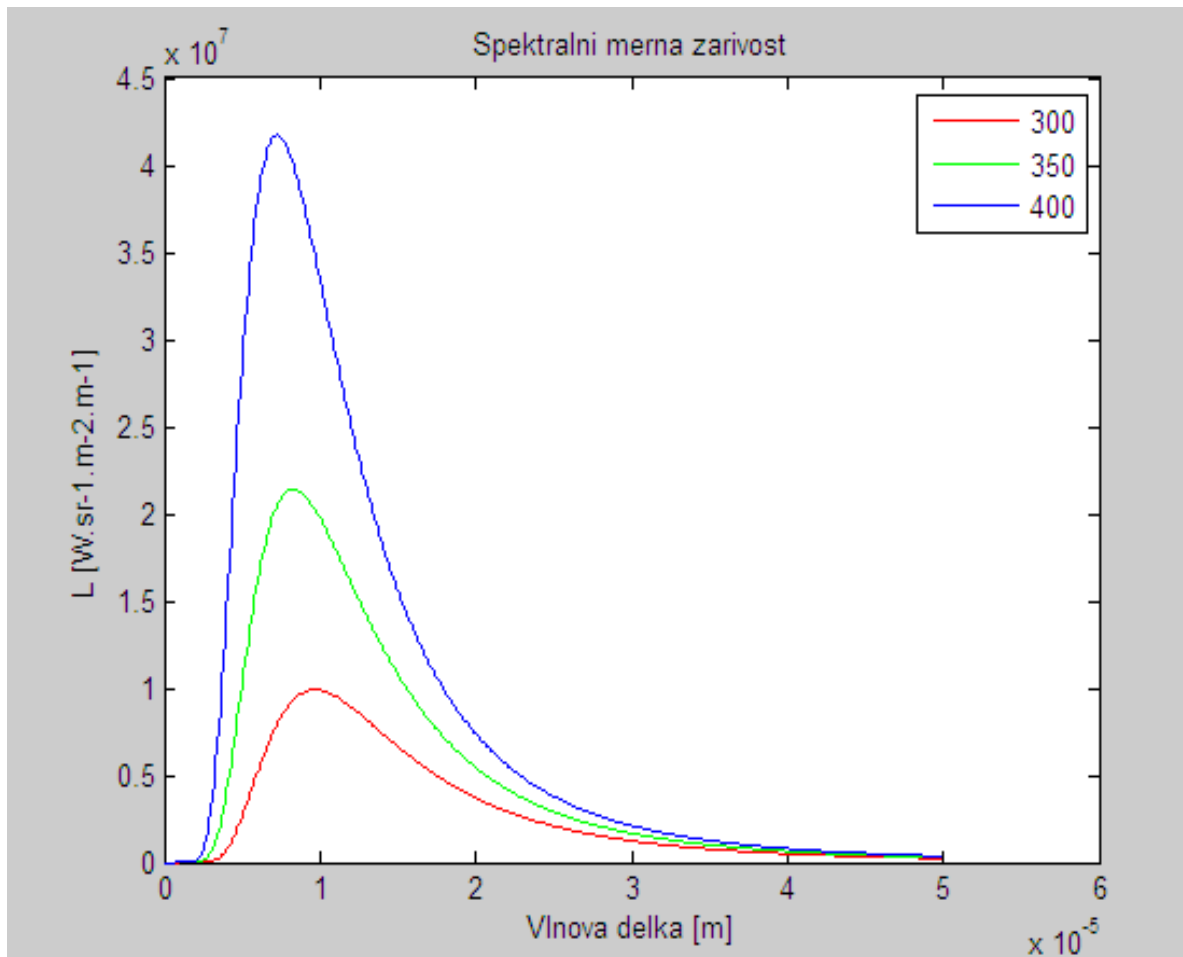
Planckův vyzařovací zákon

- spektrální měrná zářivost L (výkon generovaný z jednotky plochy povrchu zdroje na dané vlnové délce do jednotkového prostorového úhlu) při absolutní teplotě zdroje T [K] v energetickém tvaru
- Spektrální intenzita vyzařování absolutně černého tělesa M v energetickém tvaru:

$$M_{e,\lambda}(\lambda, T) = \pi \cdot L_{e,\lambda}(\lambda, T) [W \cdot cm^{-2} \cdot \mu m^{-1}]$$

Planckův vyzařovací zákon

spektrální měrná zářivost L (výkon generovaný z jednotky plochy povrchu zdroje na dané vlnové délce do jednotkového prostorového úhlu) při absolutní teplotě zdroje T [K] v energetickém tvaru



- V grafu jsou vidět křivky spektrální měrné zářivosti [$W \cdot sr^{-1} \cdot m^{-2} \cdot m^{-1}$] pro 3 různé teploty [K].
(300,350 a 400K)

Stefan-Boltzmanův zákon



Jozef Stefan
(1835-1893)



Ludwig Boltzmann
(1844-1906)

Stefan-Boltzmanův zákon

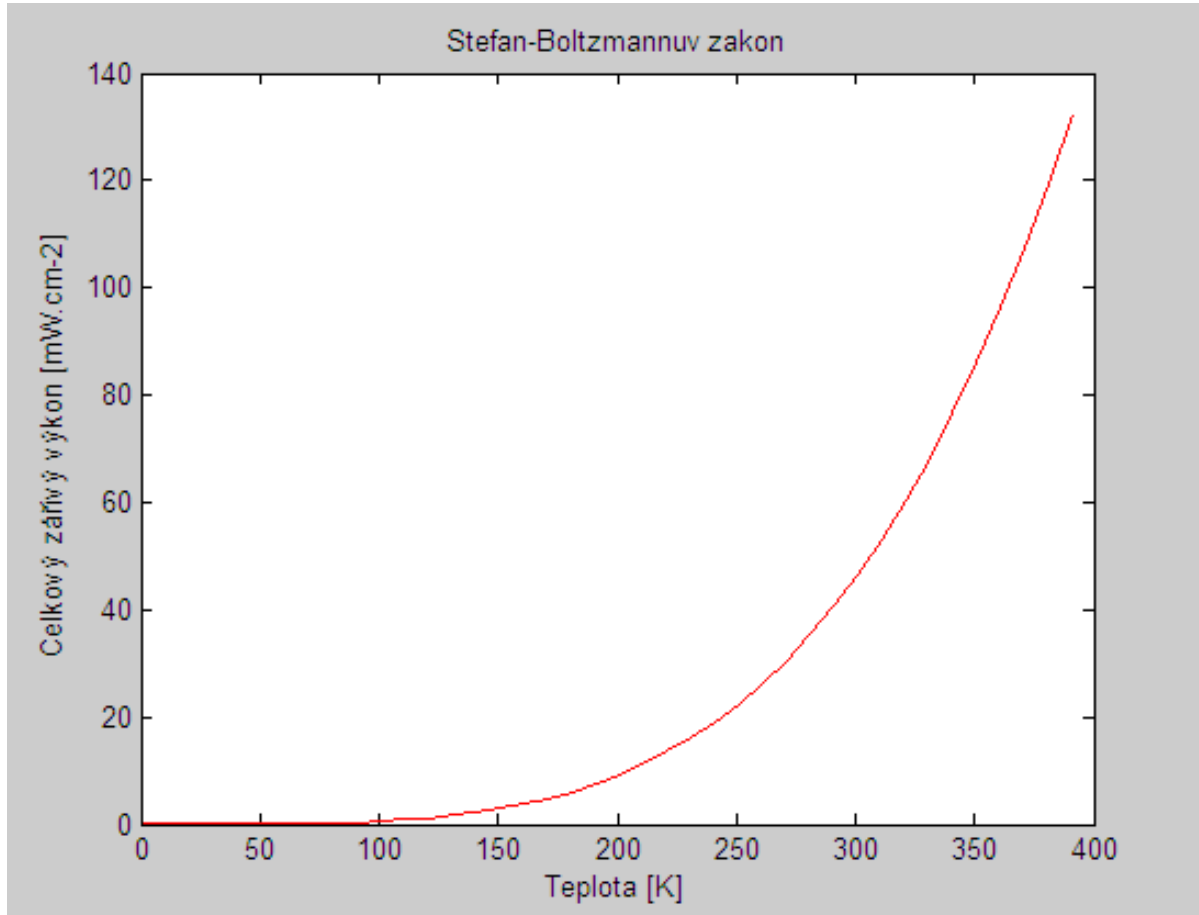
- Vyjadřuje intenzitu vyzařování AČT.
- **Výsledná intenzita vyzařování černého tělesa je úměrná čtvrté mocnině jeho absolutní teploty (T):**

$$M_e(T) = \sigma_e T^4 [W \cdot cm^{-2}]$$

- $\sigma = 5,6697 \cdot 10^{-8} W \cdot m^{-2} \cdot K^{-4}$
- Lze vyjádřit integrací Planckova vyzařovacího zákona:

$$M_e(T) = \int_0^{\infty} M_{e,\lambda}(\lambda, T) d\lambda = \frac{2\pi^5 k^4}{15c^2 h^3} T^4 = \sigma_e T^4 [W \cdot cm^{-2}]$$

Stefan-Boltzmanův zákon



- Závislost celkového zářivého výkonu [mW.cm^{-2}] na teplotě [K].

Wienův posunovací zákon

Wilhelm Wien (1864-1928)



Wienův posunovací zákon

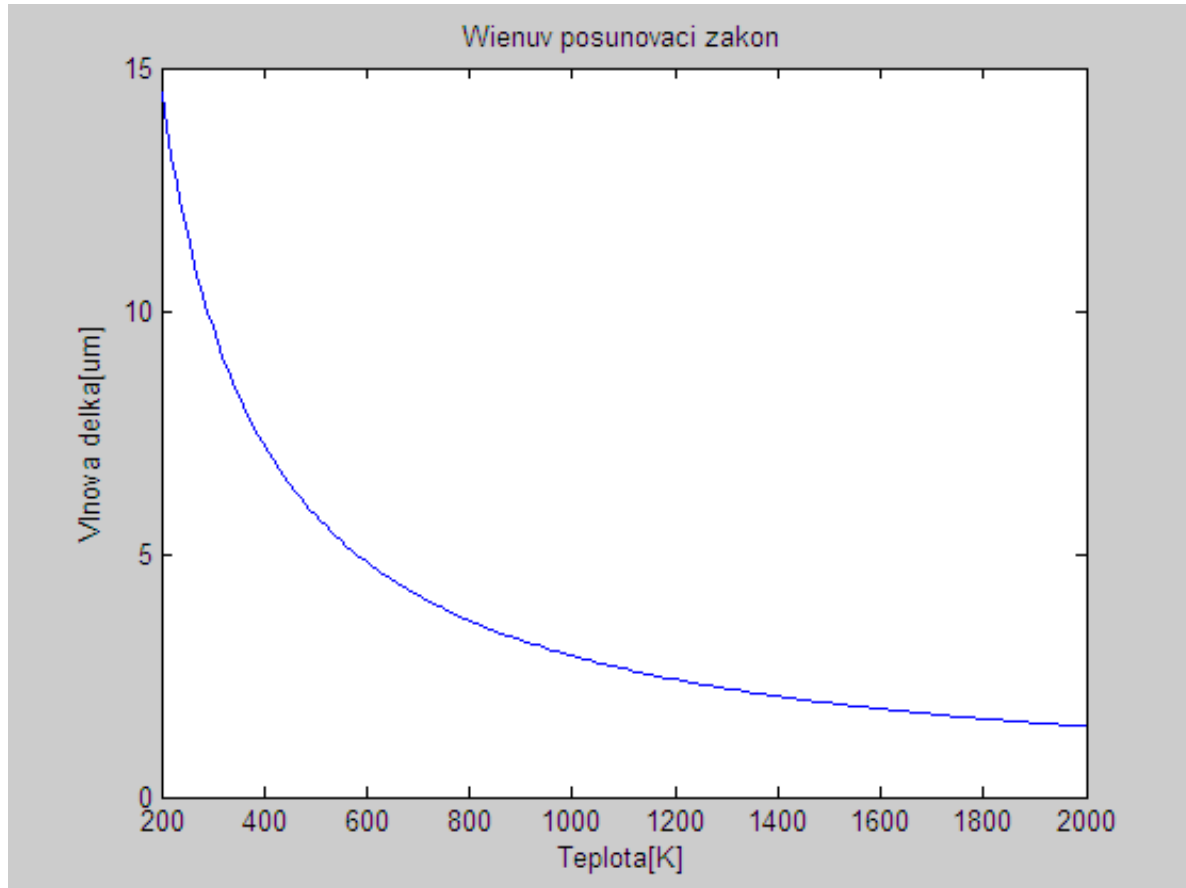
- maximum spektrální intenzity vyzařování se mění v závislosti na teplotě, odpovídající vlnovou délku lze stanovit vyhledáním lokálního extrému odpovídajících funkcí

$$\frac{\partial M_{e,\lambda}(\lambda, T)}{\partial \lambda} = 0 \Rightarrow \lambda_{\max} \cdot T = 2898 [\mu m \cdot K]$$

- z toho vyplývá, že čím je těleso teplejší, tím vyzařuje na kratších vlnových délkách a tedy na vyšších frekvencích

To znamená, že např. člověk při běžné teplotě 37°C , která odpovídá termodynamické teplotě 310K , vyzařuje elektromagnetické záření s vlnovou délkou $\lambda_{\max} = \frac{b}{T} = \frac{2,9 \cdot 10^{-3}}{310} \text{m} = 9,35 \mu\text{m}$. A to odpovídá (jak se dalo předpokládat) tepelnému záření.

Wienův posunovací zákon



- Závislost vlnové délky [μm] na teplotě [K].

Emisivita - ϵ

$$\epsilon(\lambda, T) = \frac{M_{e,\lambda}(\lambda, T)_{zdroje}}{M_{e,\lambda}(\lambda, T)_{AČT}}$$

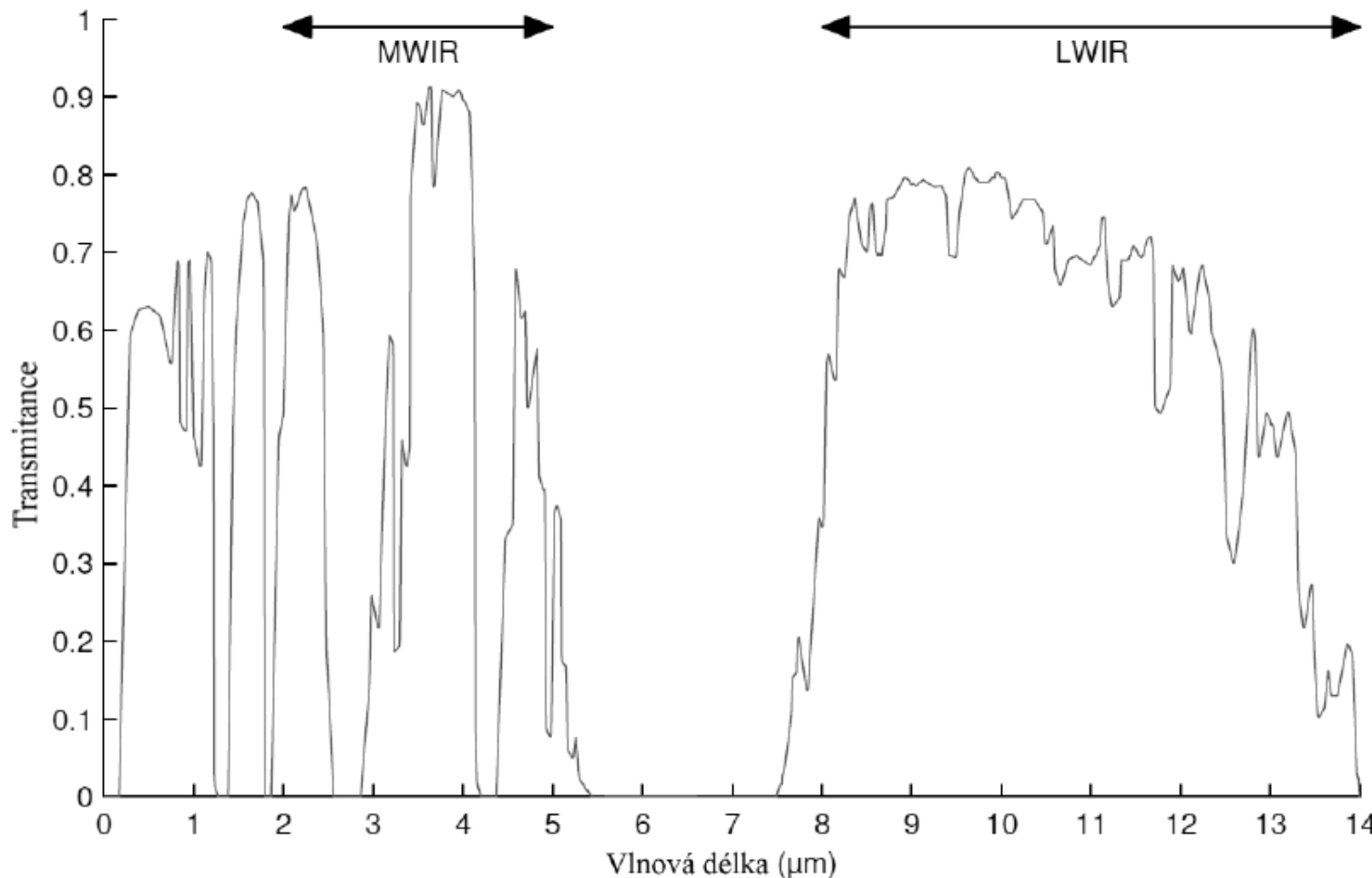
- vyjadřuje zhoršení vyzařovacích vlastností zdroje ve srovnání s absolutně černým tělesem
- koeficient emisivity nabývá hodnot 0 až 1.
- koeficient emisivity je závislý na:
 - typu materiálu zdroje
 - vlastnostech povrchu zdroje
 - vlnové délce
 - teplotě materiálu
 - směru vyzařování

Koeficient emisivity

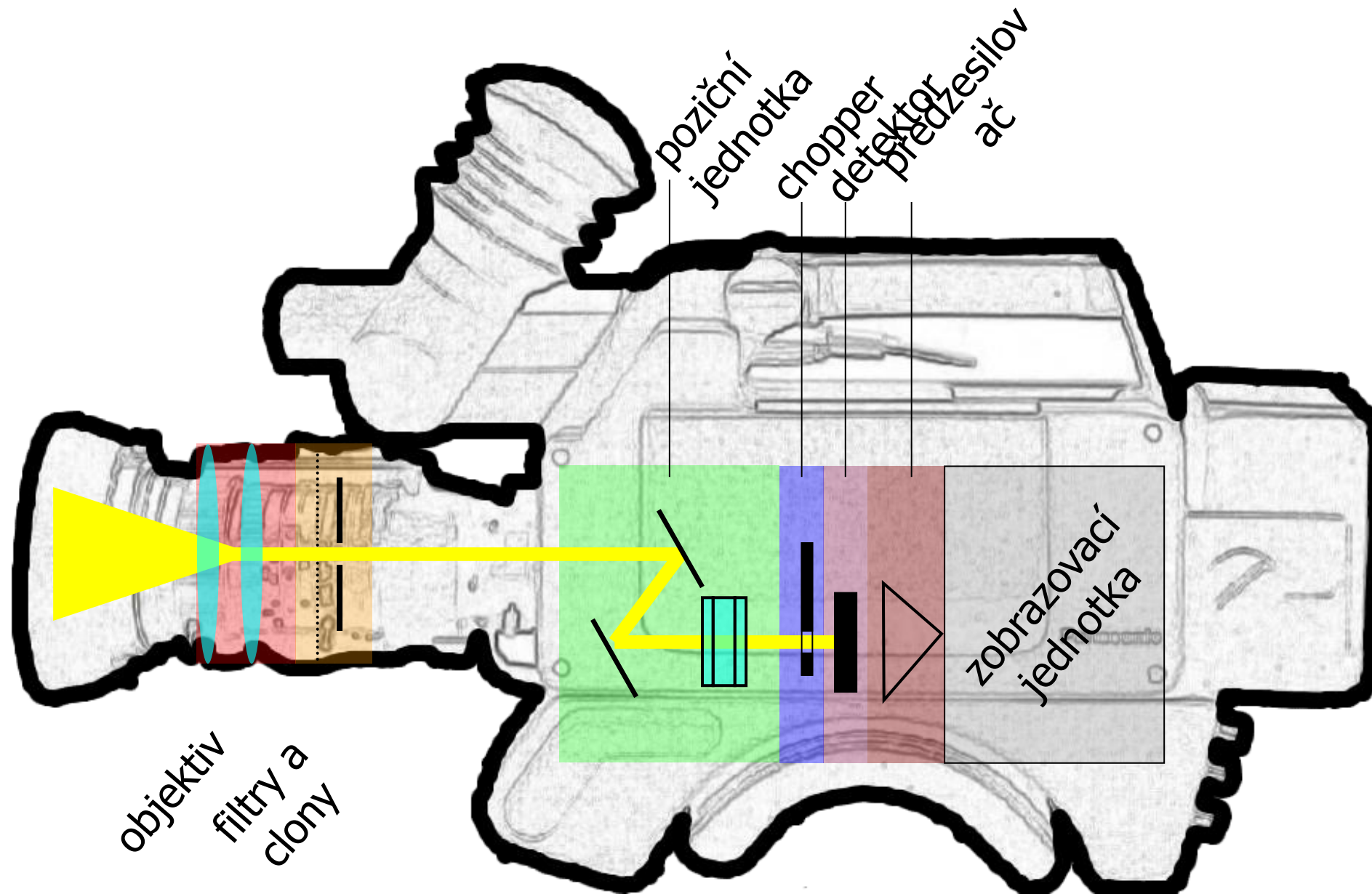
materiál	teplota v °C	emisivita
kůže lidská	32	0,98
dřevo	17	0,98
voda destilovaná	20	0,96
cihla (červená, hrubá)	20	0,88–0,93
papír bílý	20	0,7–0,9
voda sníh	-10	0,85
titan leštěný	1000	0,36
stříbro leštěné	100	0,03

Detekce infračerveného záření

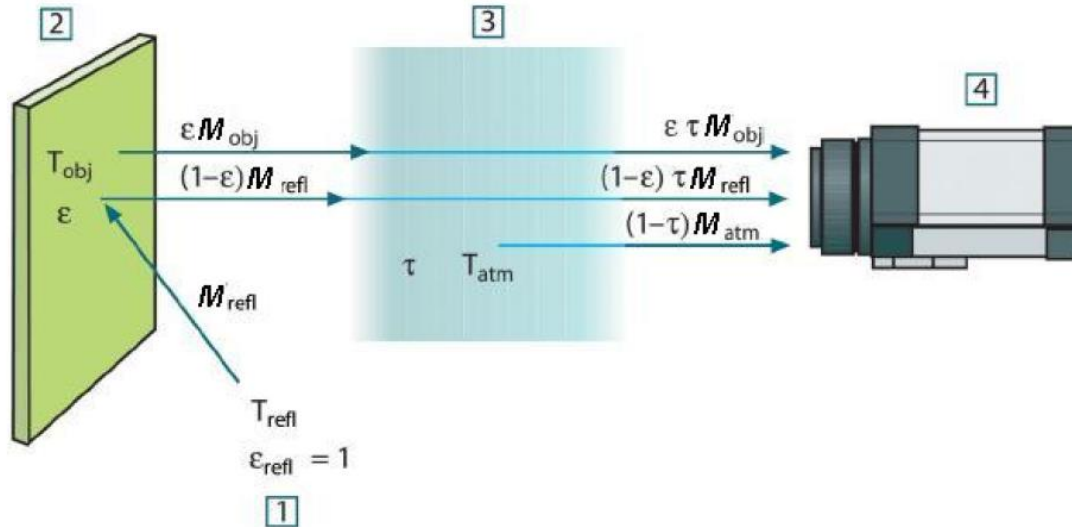
spektrum infračerveného záření závisí od teploty vyzařujícího tělesa a jeho okolí – rozsah jednotlivých zařízení



Konstrukce

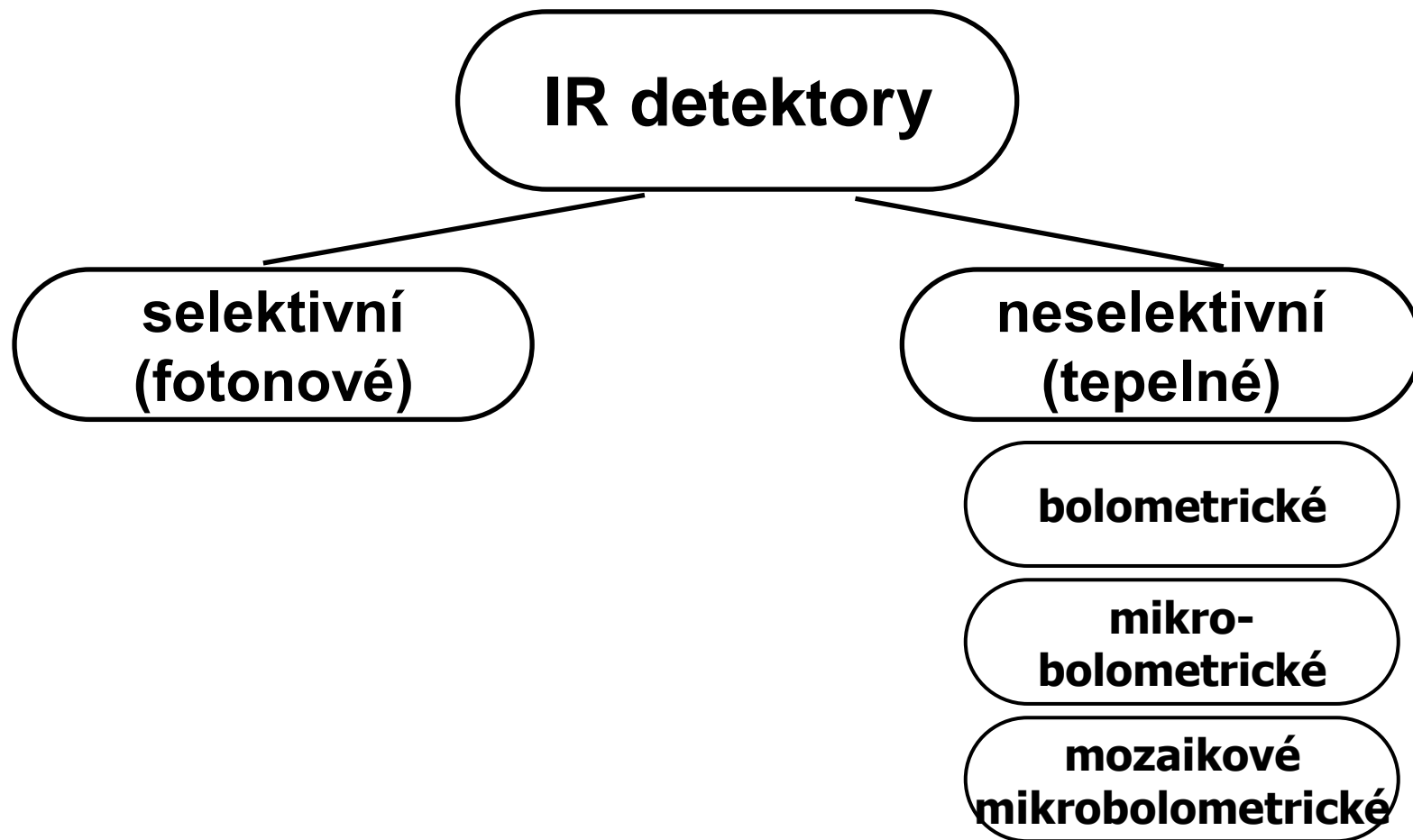


- IR radiometrické systémy pracují na principu srovnávání neznámé měřené intenzity vyzařování snímaného objektu se známou intenzitou vyzařování vnitřního referenčního zdroje
- systém vyhodnocuje diferenci mezi zářivým tokem snímaného objektu a zářivým tokem referenčního zdroje ($\Phi - \Phi_{ref}$)
- detektor je střídavě ozařován radiačním signálem ze snímaného objektu a radiačním signálem od optického modulátoru – referenčního zdroje
- zavádění referenčního signálu časově odpovídá zpětnému běhu optických rozkladových prvků skeneru do výchozích bodů rádku, snímku



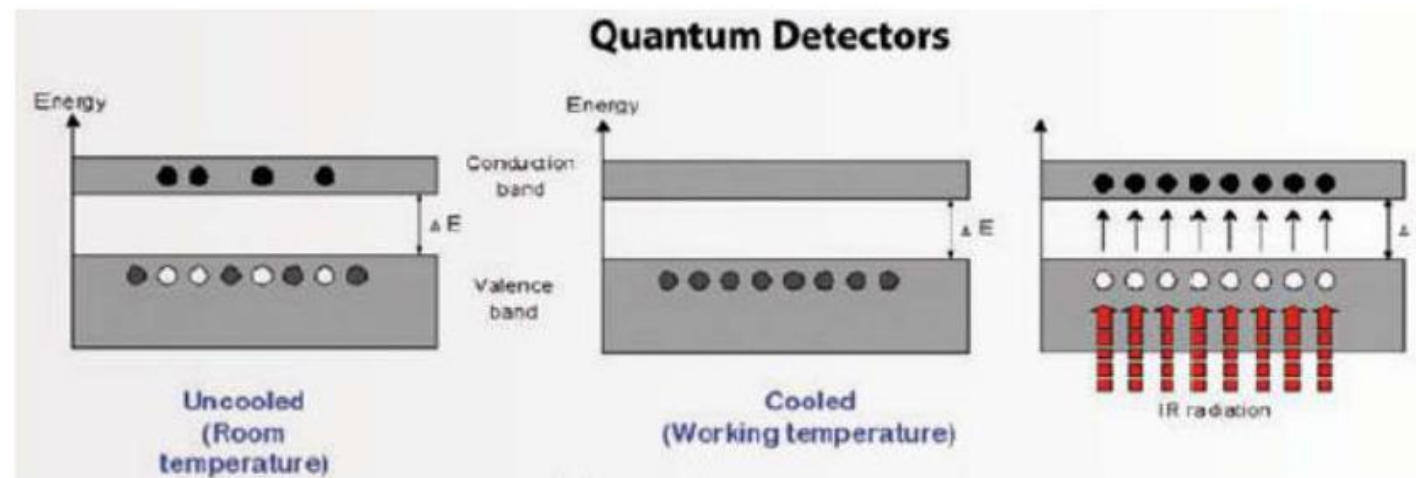
Detektory

- detektor IR záření v infrazobrazovacích systémech převádí zářivou energii na jiné formy energie (na elektrický signál)



Selektivní - fotonové detektory

- využívají přímé přeměny dopadajícího záření na elektrický náboj, elektrický proud
- kvantové detektory jsou polovodičové systémy (tellurid rtuťnokademnatý HgCdTe)
- dopadající záření přímo excituje elektrony
- jejich počet a tedy i velikost výstupního elektrického signálu je úměrný intenzitě záření
- nutnost chlazení



Selektivní - fotonové detektory

Základem je **fotoelektrický jev**: je-li energie elektronu ve valenčním pásmu, která mu byla předána fotonem záření, dostatečná k překonání zakázaného pásma Q_g , elektron opustí valenční pásmo a pohybuje se v pásmu vodivostním (vznik páru elektron-díra). Minimální energie fotonu (vlnová délka) je dána šírkou zakázaného pásma.

$$\lambda_c = \frac{h.c}{Q_g} [\mu m]$$

λ_cmezní vlnová délka

Q_gzakázané pásmo energie [eV]

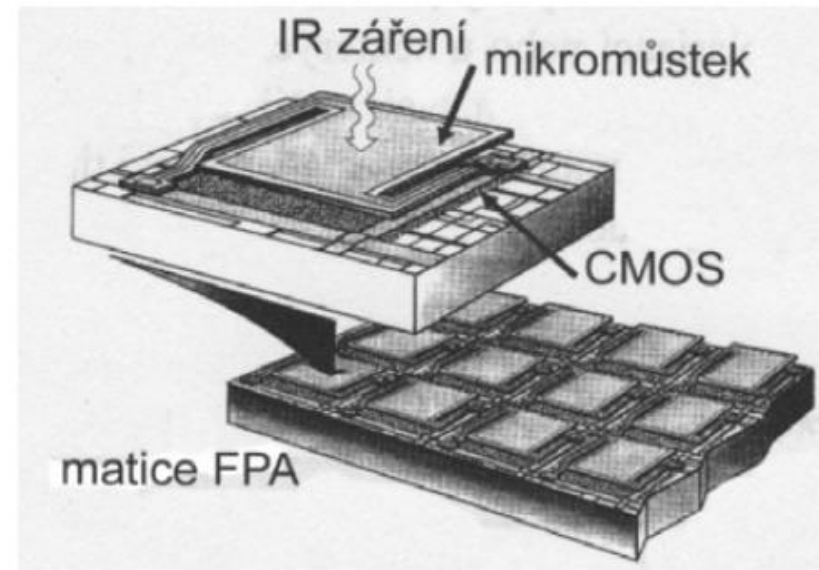
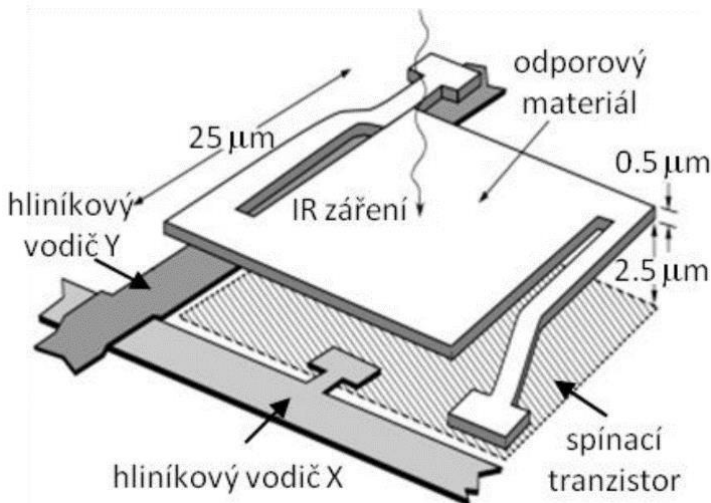
Bolometrické detektory

tepelné detektory

v závislosti na ohřátí (absorpce energie IČ záření) se mění vlastnosti materiálů (elektrický odpor detektorů)

charakteristická veličina: **teplotní součinitel odporu α** :
odpor elektrických vodičů s rostoucí teplotou stoupá: α má kladnou hodnotu

odpor $R[\Omega]$ elektrických polovodičů s rostoucí teplotou $T[K]$ klesá:
 α má zápornou hodnotu

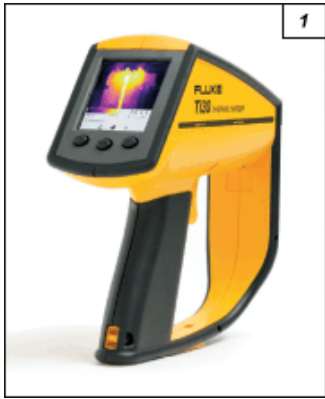


Mikrobolometrické mozaikové detektory

- paralelní uspořádání mikrobolometrických elementů do detekčních mozaik (např. 320 x 240).
- struktura je:
 - tepelně izolována od prostředí
 - tepelně stabilizována (termoelektrické chlazení na pokojovou teplotu)
 - uzavřená do vakuovaného pouzdra se vstupním oknem např. z germania.
- každý element je izolován od sousedního, aby se vzájemně neovlivňovali
- zamezení ztrátě rozlišovací schopnosti
- eliminace vlivu interní radiace =
 - automatický teplotní kompenzační systém
 - přesné senzory teploty
 - referenční tepelný zdroj

Vybavení pro měření IR na Biofyzikálnímu ústavu LF MU, Brno

Fluke Ti30



FLIR ONE gen 2



Seek Thermal



Flir i7



FLIR B200



Workswell WIC-640



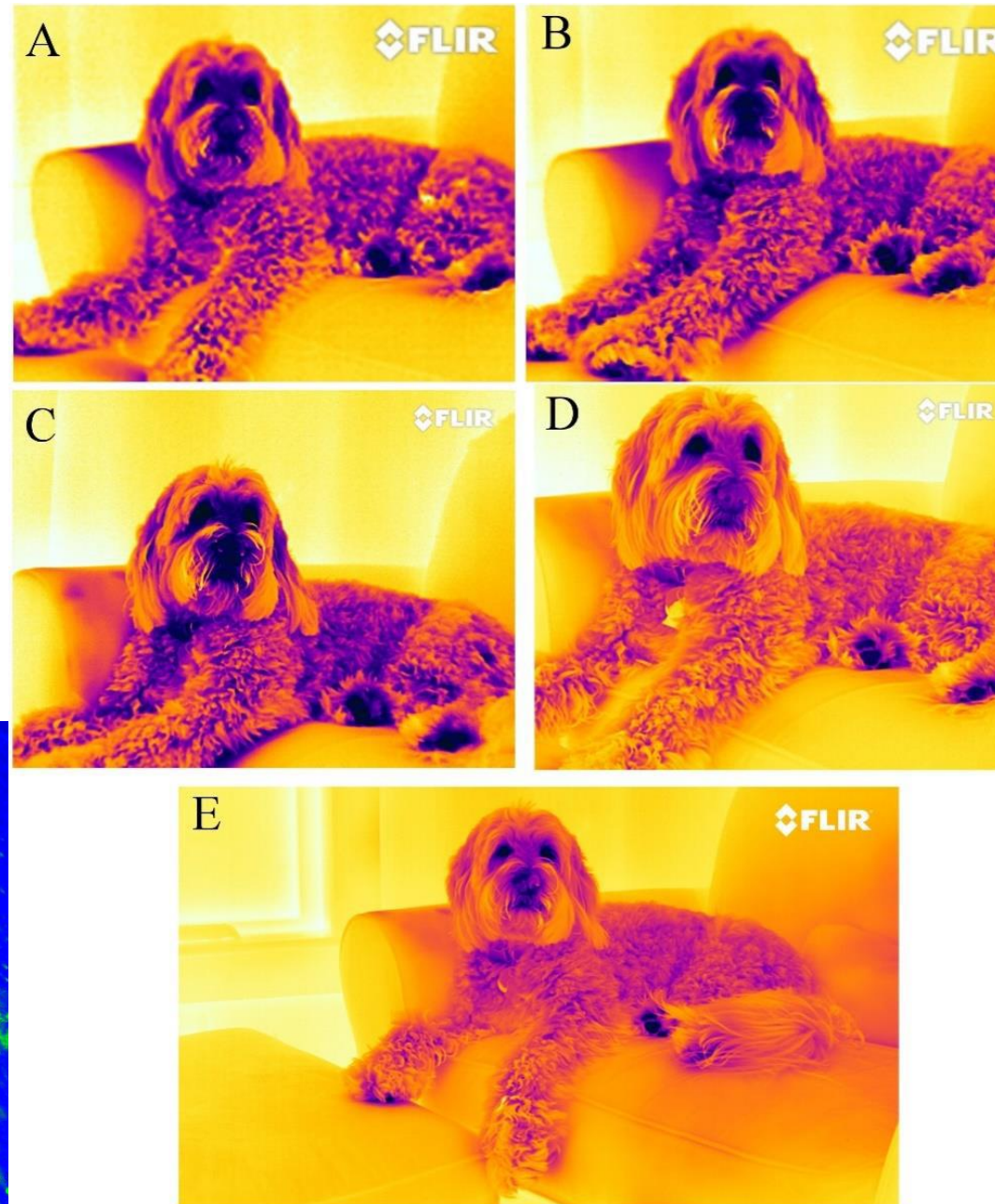
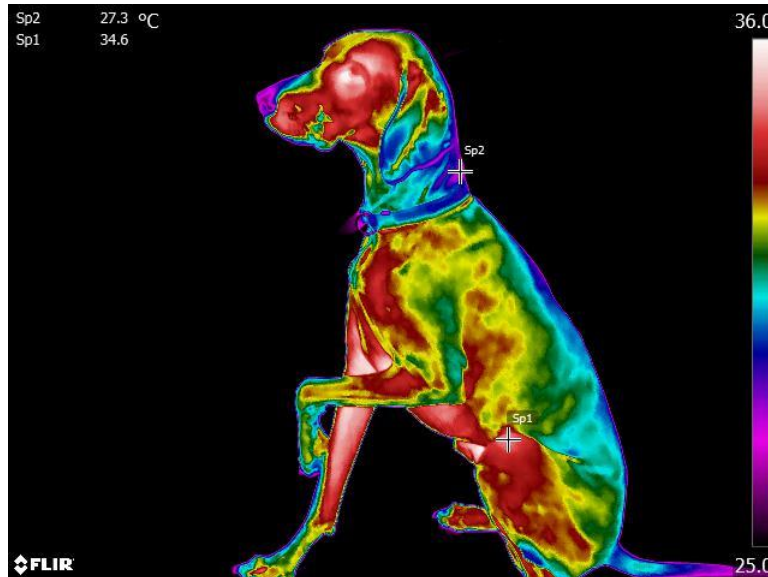
Infratec VarioCam HD



Dias CS 500



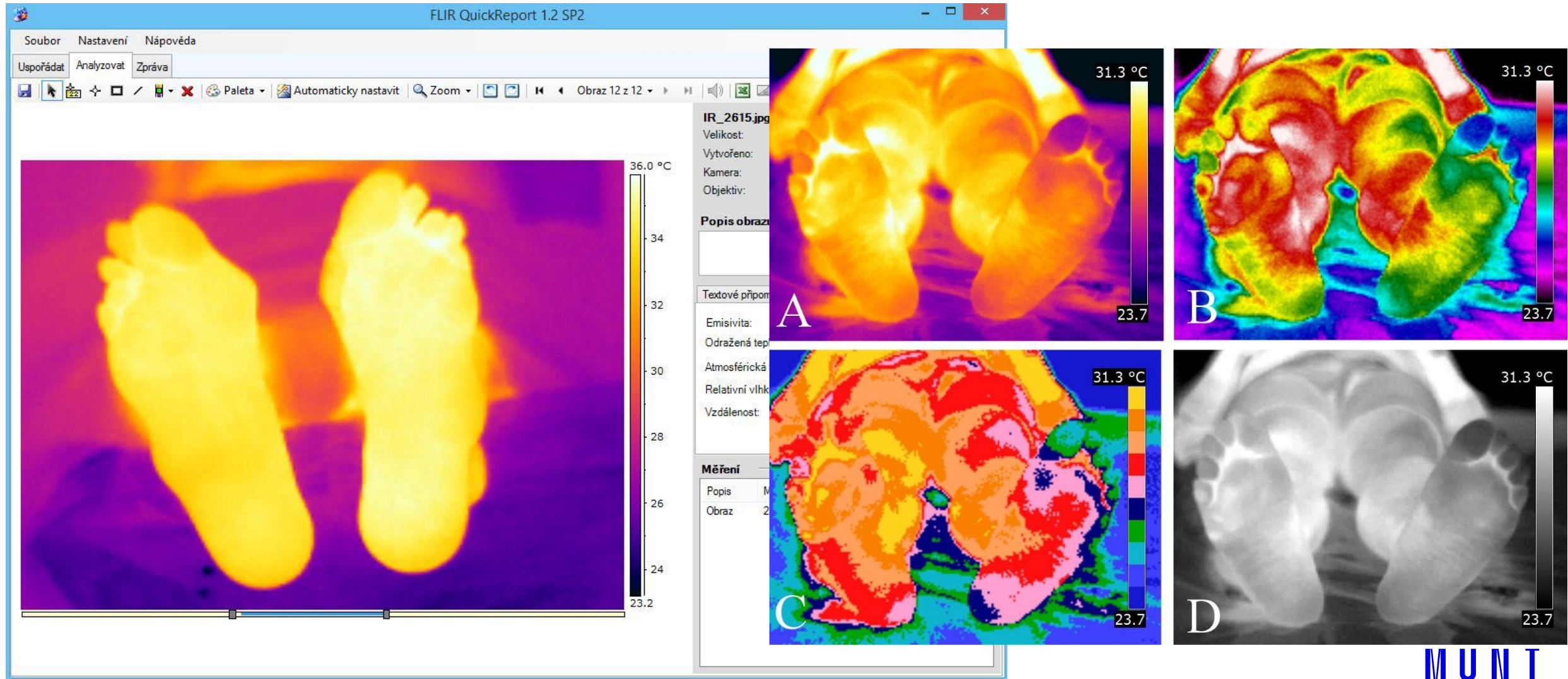
TERMOGRAM



Rozlišení termogramů

- A. 160x120
- B. 320x240
- C. 640x480
- D. 640x512 fotonový InSb
- E. 1344x784 fotonový

Hodnocení termogramů



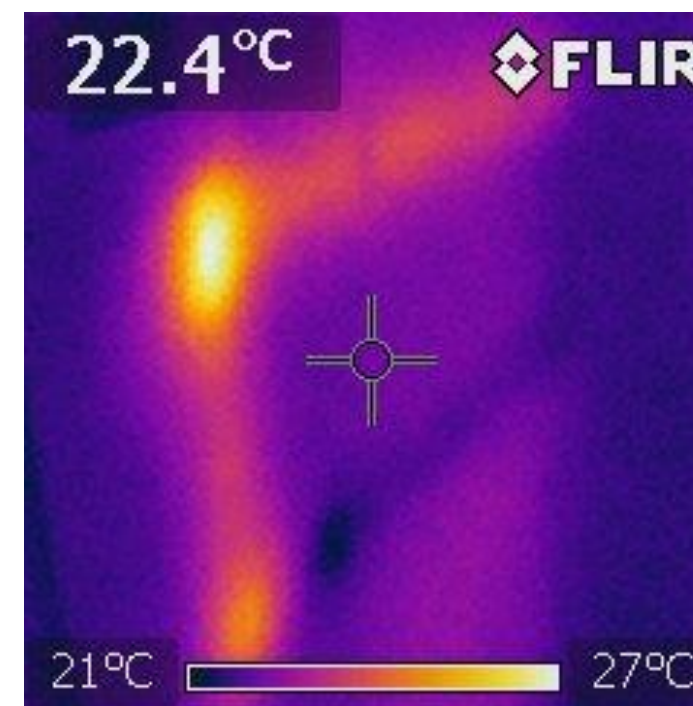
Využití v průmyslu, stavebnictví a energetice

Tepelné izolace

Biofyzikální ústav LF MU



Tepelný most- únik tepla

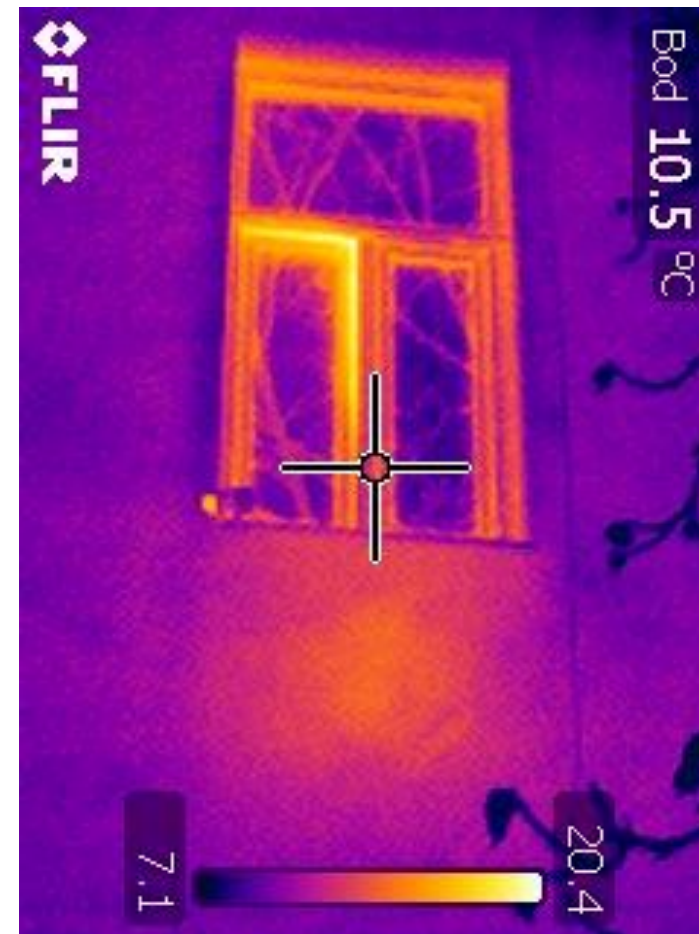


Uzávěr vodovodního
potrubí

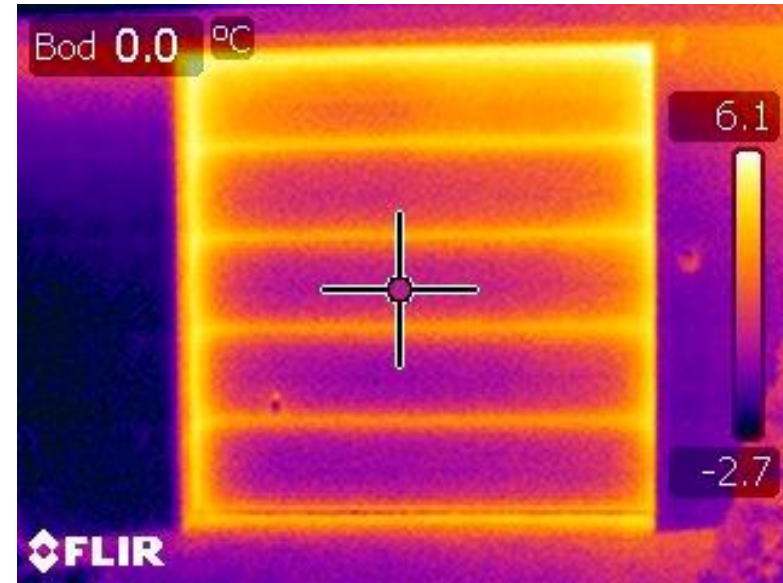
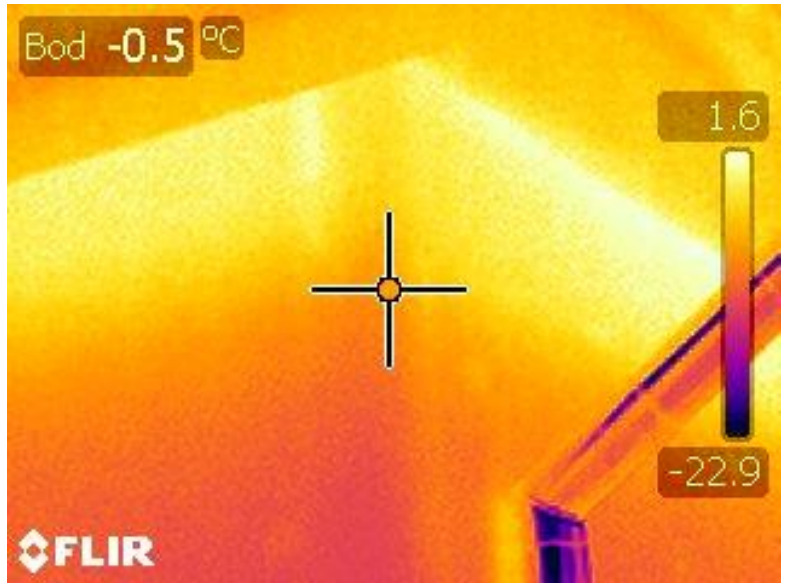
MUNI
MED



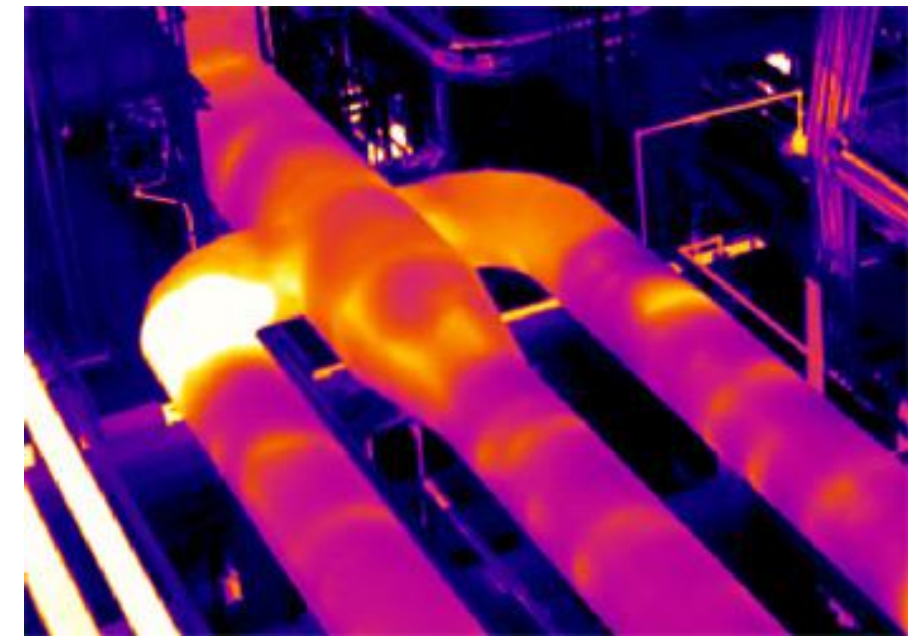
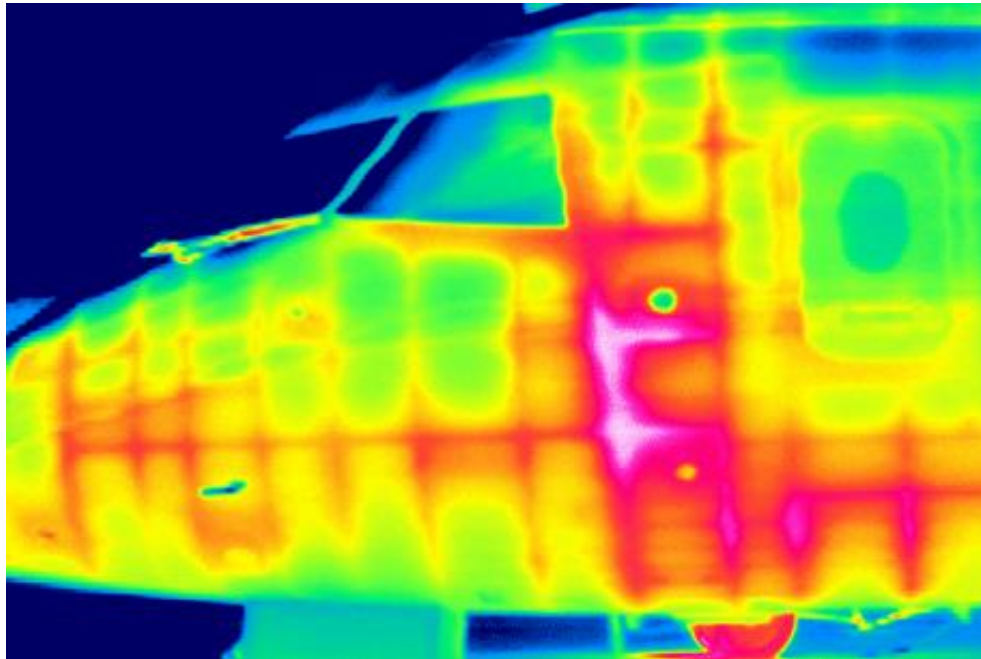
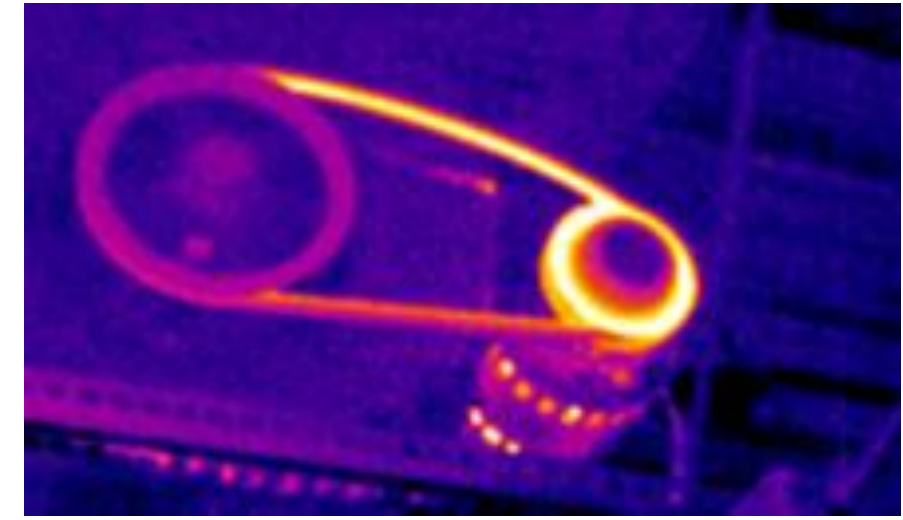
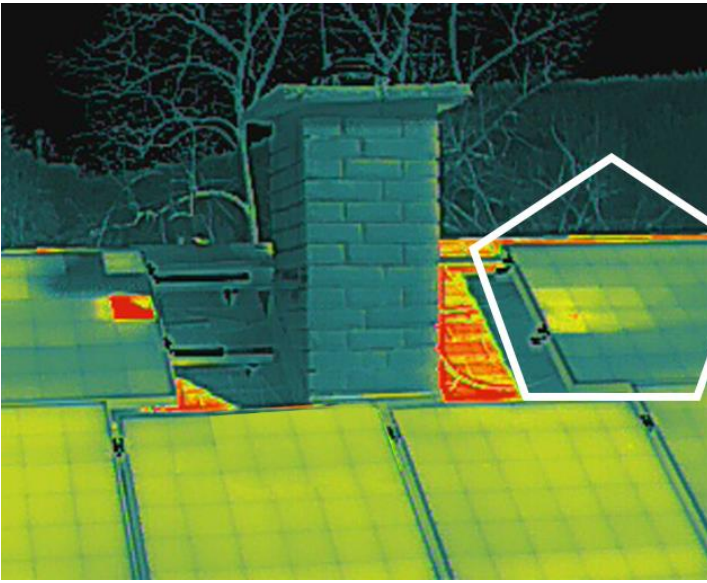
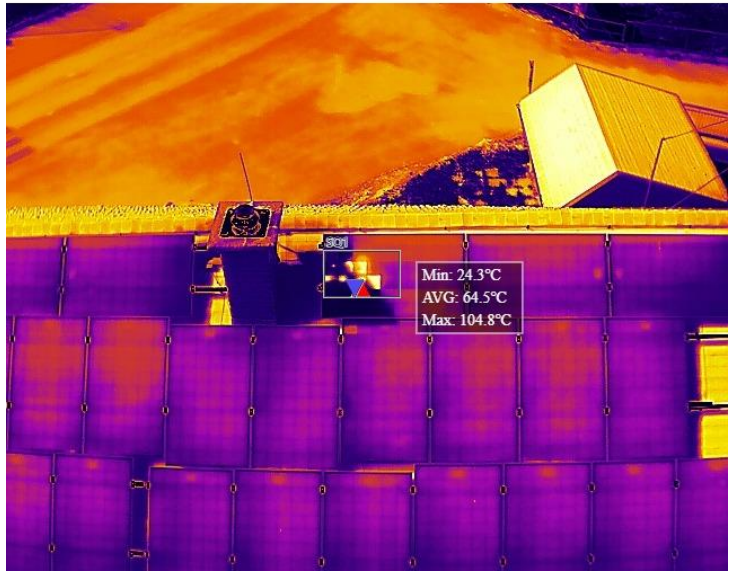
Teplotní rozdíl mezi
polystyrenem zateplenou
stavbou (vpravo) a běžnou
fasádou.



Tepelná ztráta radiátoru a
nedoléhavého okna



MUNI
MED



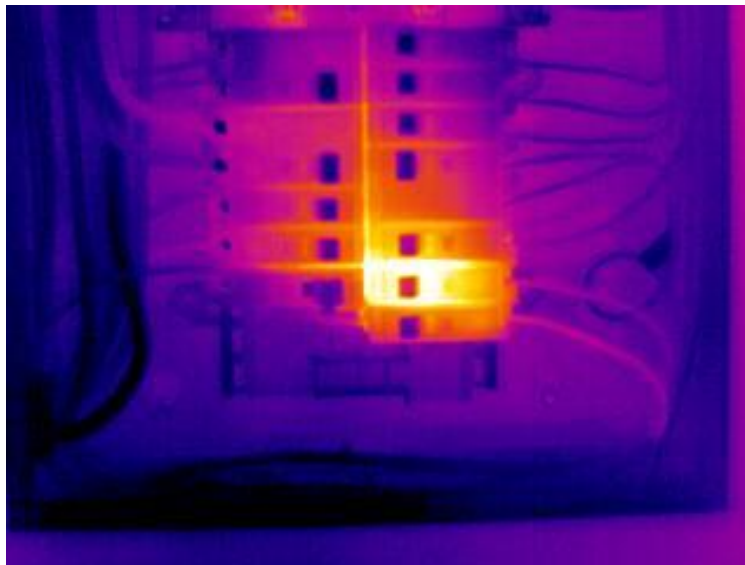
Inspekce materiálů

MUNI
MED



Chybný elektrický rozvod - inspekce

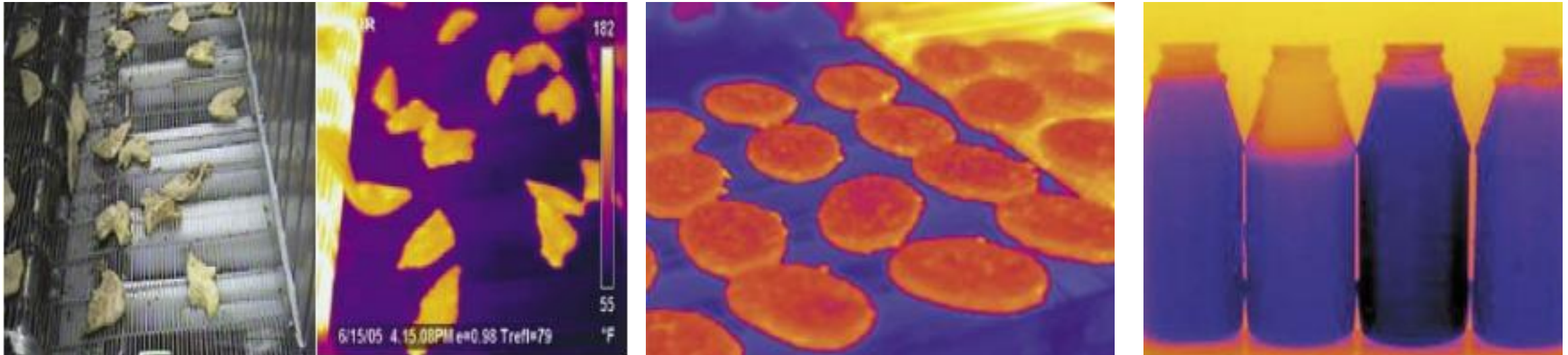
"Electrical fault" by Hotflashhome - Own work. Licensed under CC BY-SA 3.0 via Wikimedia Commons - http://commons.wikimedia.org/wiki/File:Electrical_fault.jpg#mediaviewer/File:Electrical_fault.jpg



Vadný elektrický kontakt

<http://bradyinfrared.com/wp-content/uploads/2011/03/electrical-panel-scans.jpg>

Potravinářství



Sledování nedopečených potravin na lince

<https://www.flir.com/globalassets/industrial/discover/industrial/thermal-imaging-cameras-in-the-food-industry/food-02.png>

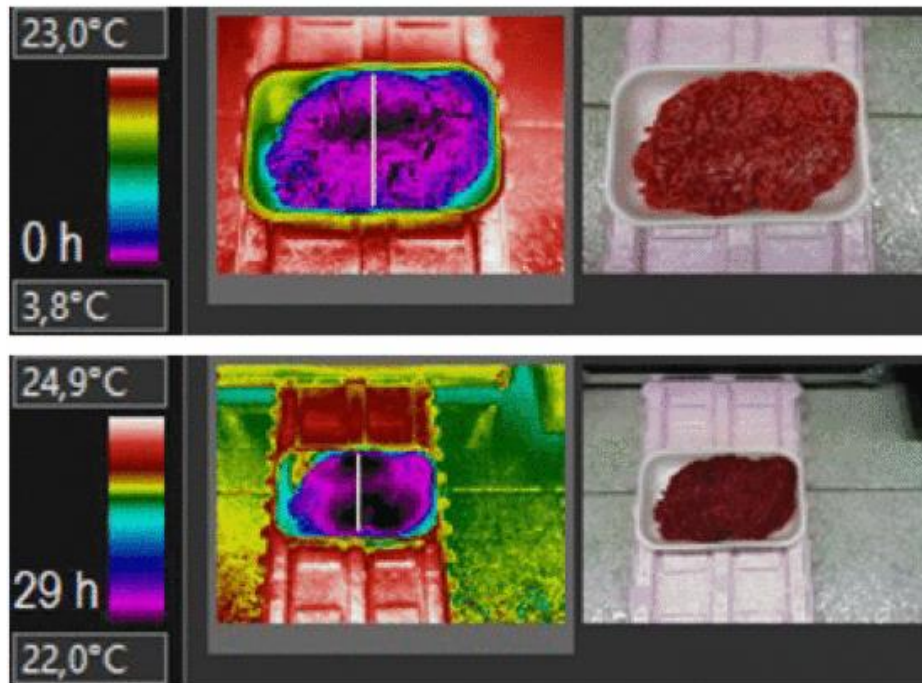
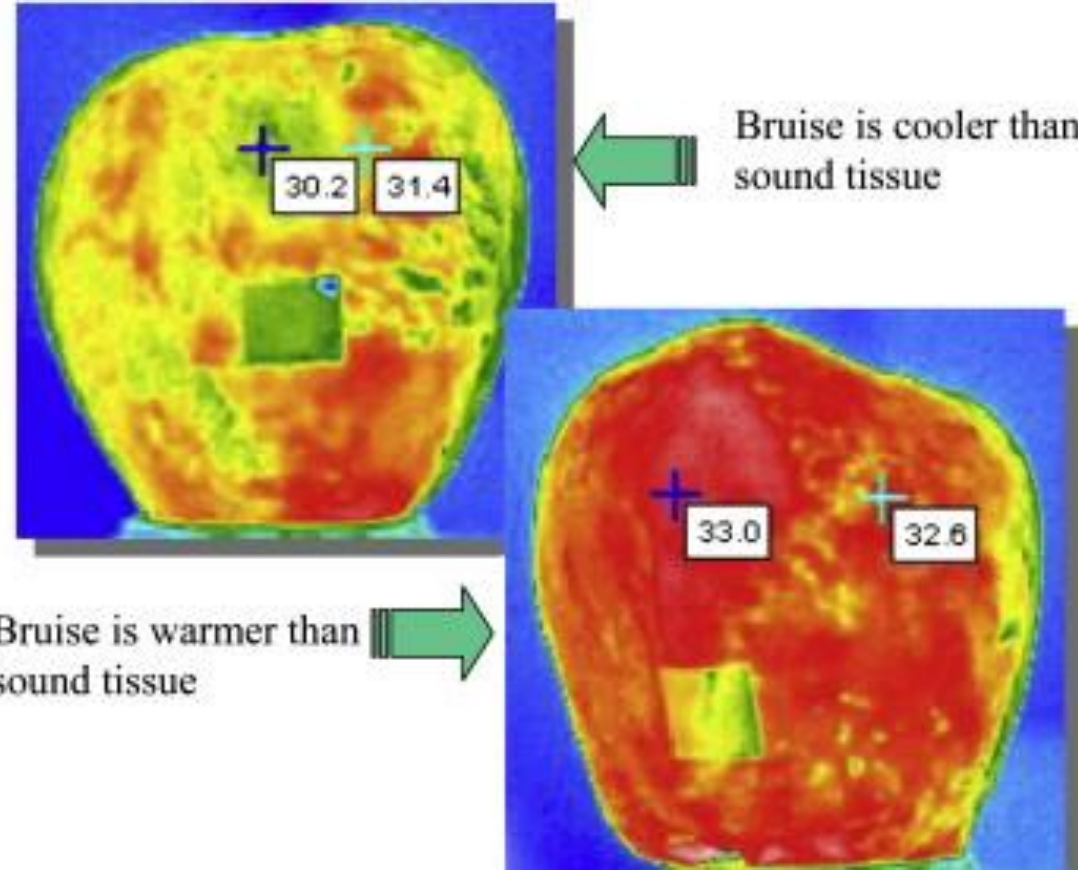
Sledování propečenosti hamburgerů

<https://www.flir.com/globalassets/industrial/discover/industrial/thermal-imaging-cameras-in-the-food-industry/food-04.png>

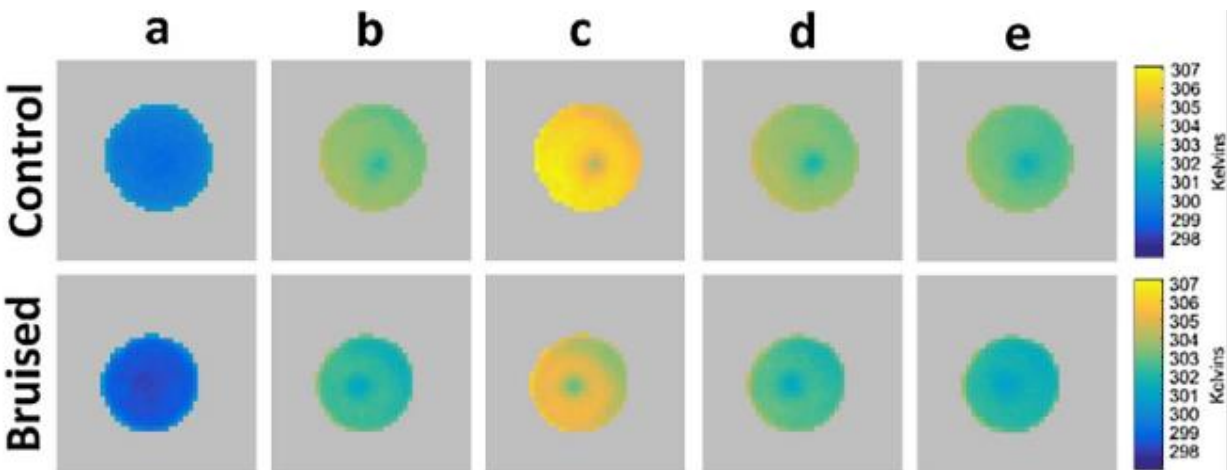
<https://www.flir.com/globalassets/industrial/discover/industrial/thermal-imaging-cameras-in-the-food-industry/food-03.png>

Potravinářství

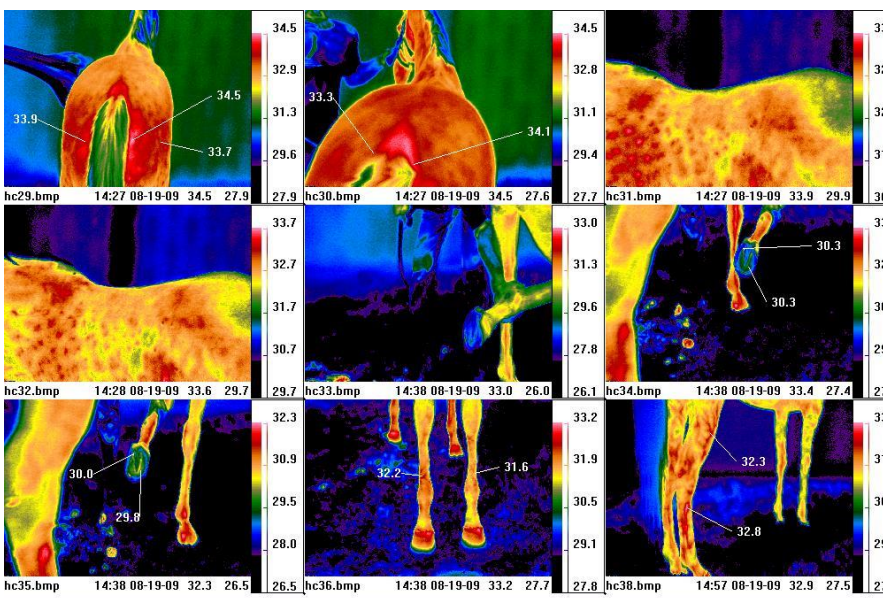
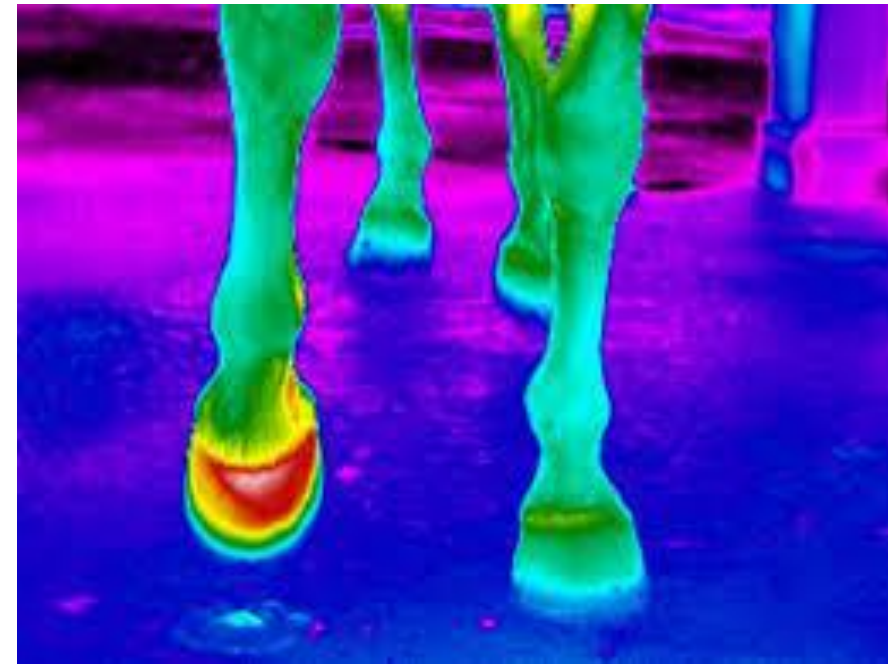
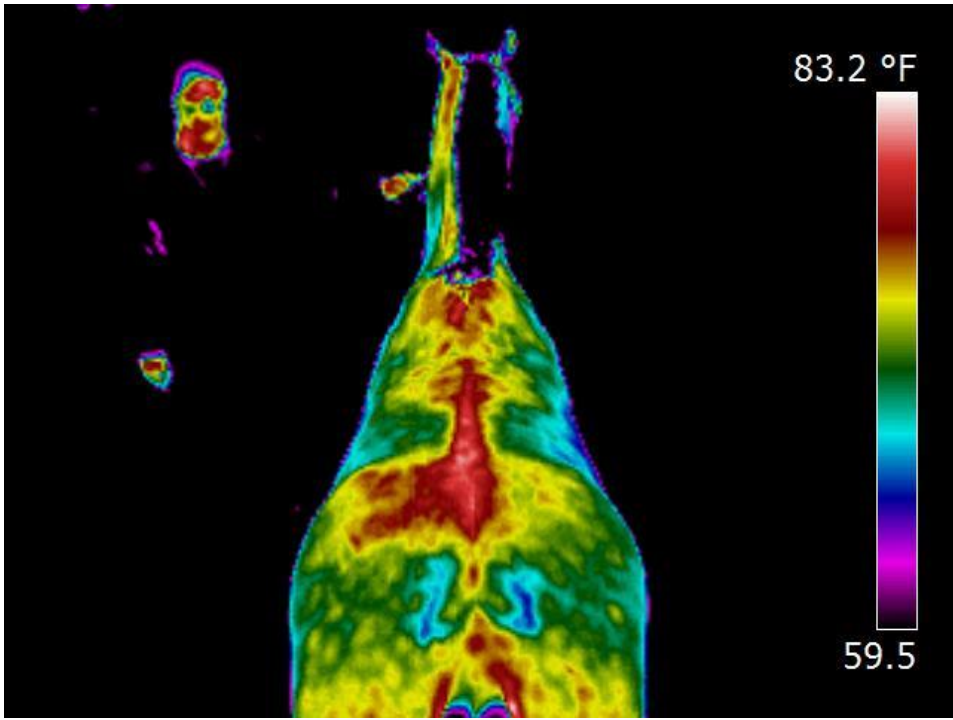
Vlevo otlaky chladnější než „zdravé“ jablko Varith et al., 2003).



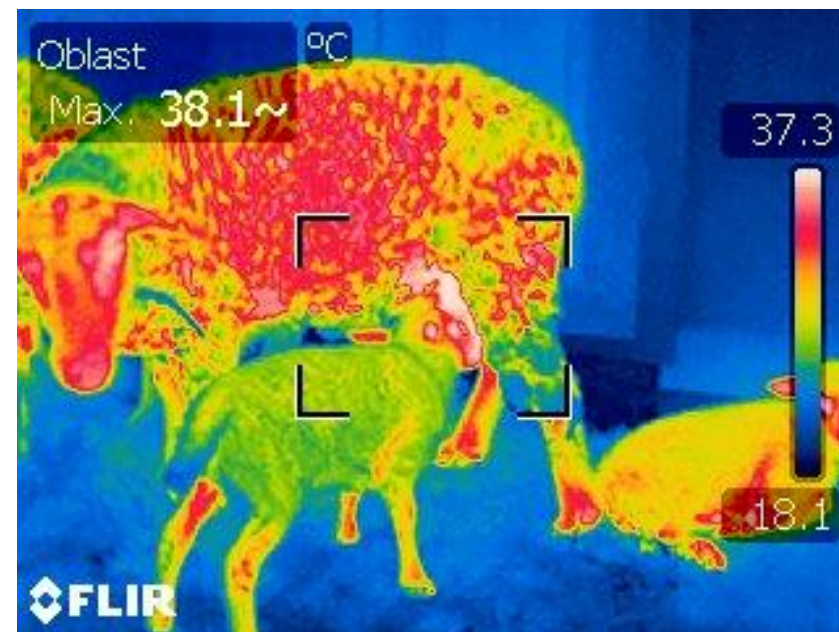
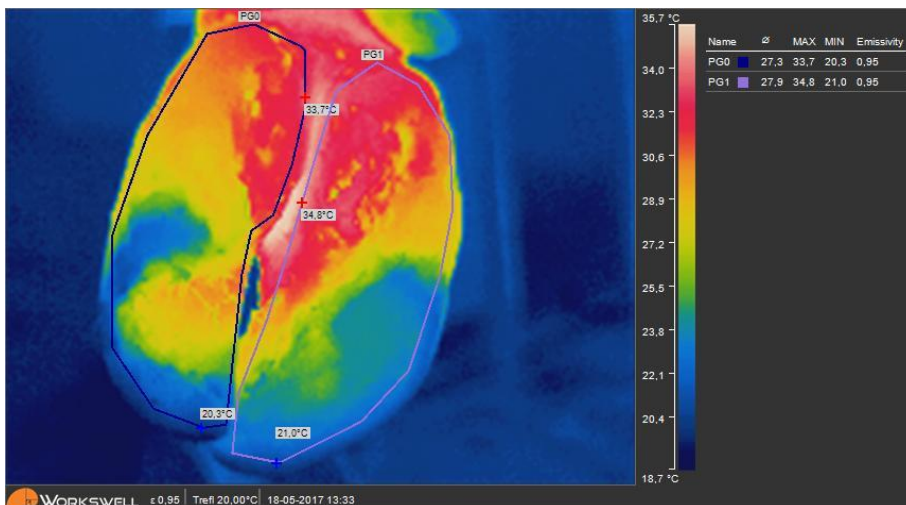
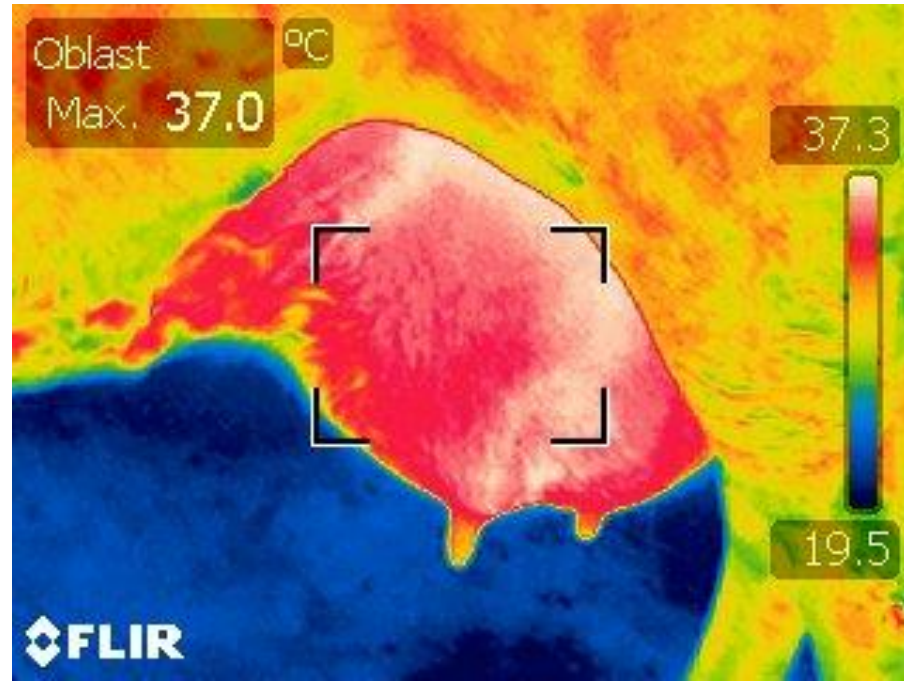
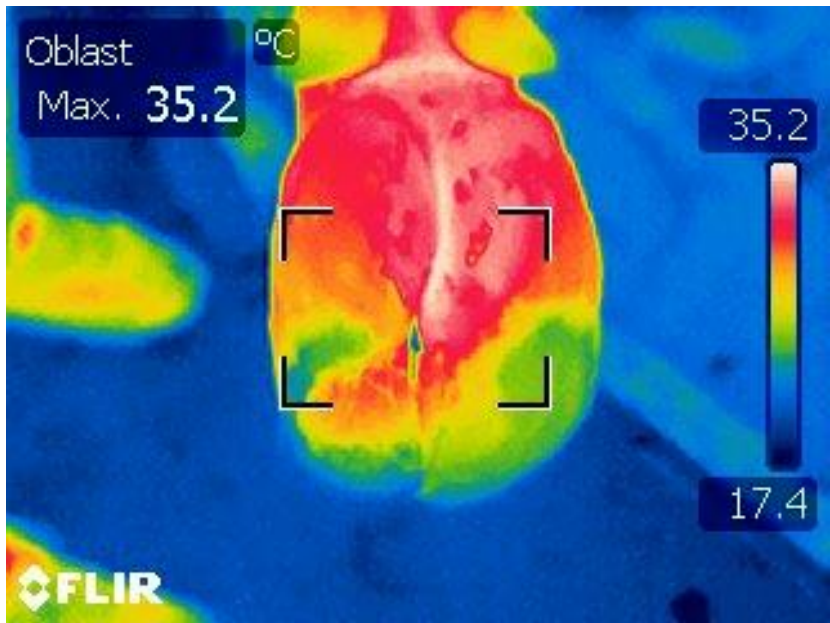
Infrared thermography of fresh meat after time $t=0$ sec. (above) and 29 hours (below). The calculus line is indicated by the white line.

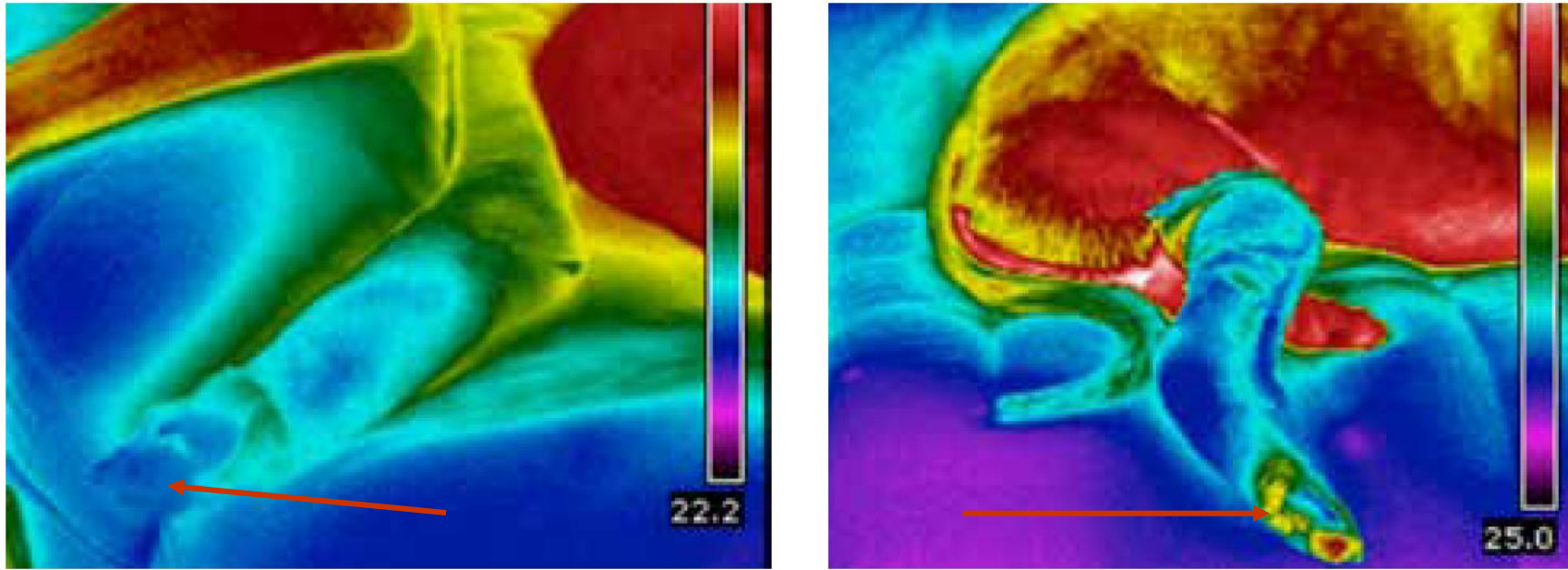


Využití IRT ve veterinární medicíně



Paznehty





Kontrola přiměřeného utažení obvazu – první případ jeho nadměrné utažení se zamezením proudění krve do končetiny

snímky použity z prospektů firmy FLIR

Využití v medicíně

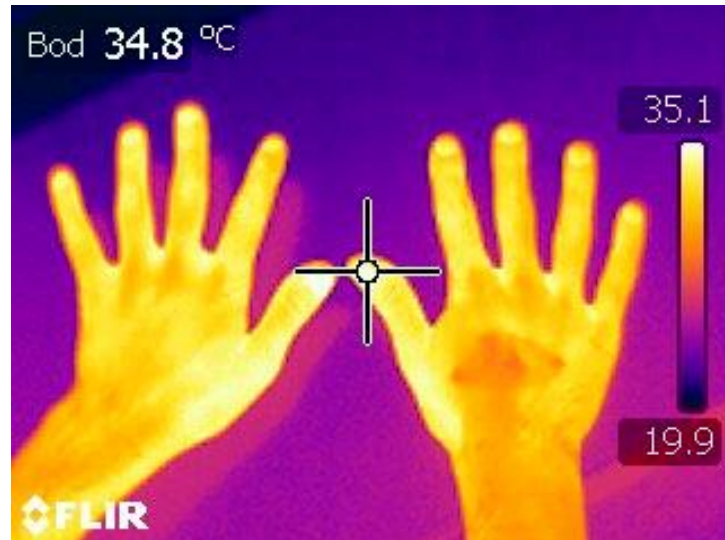
Výhody bezkontaktní termografie

- neinvazivnost
- jednoduchost
- bezpečnost pro pacienta i obsluhu
- nízká cena vyšetření

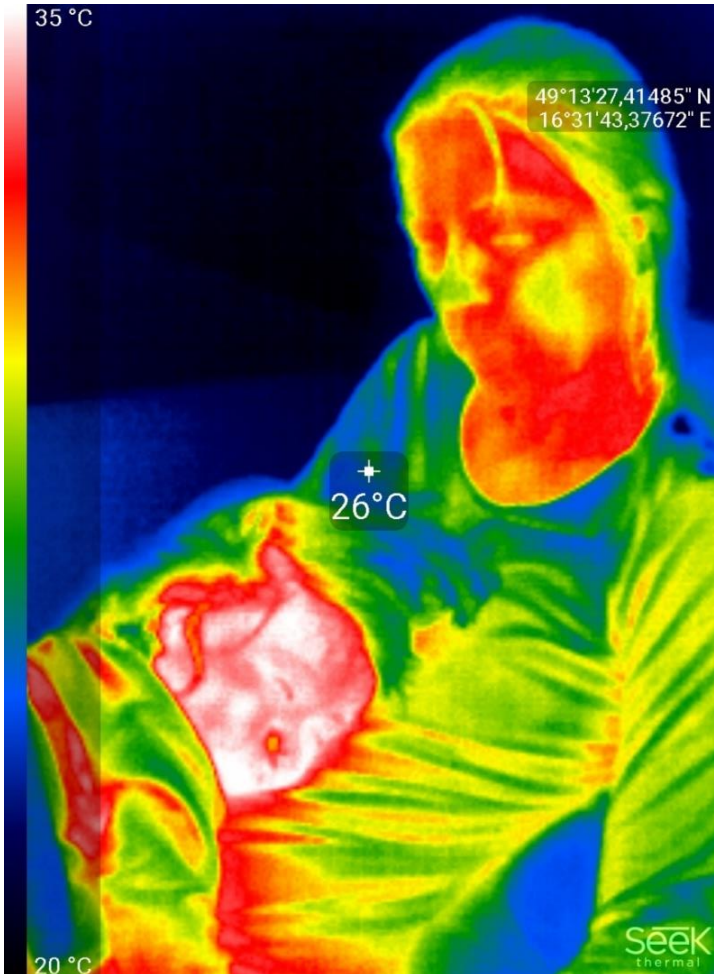
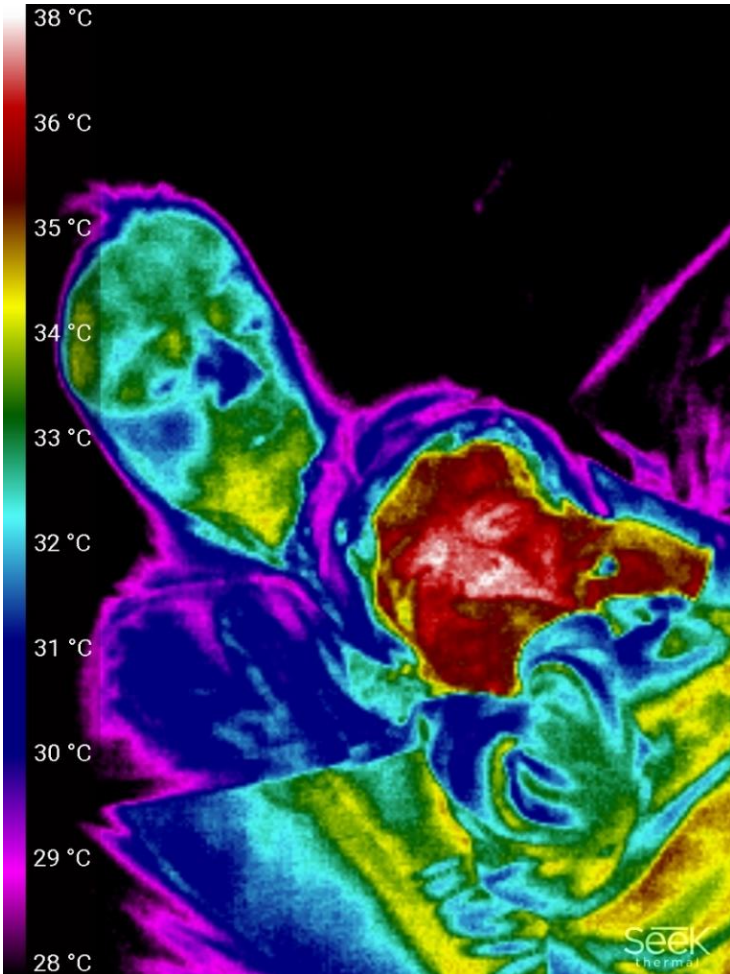
Nevýhody bezkontaktní termografie

- Příprava pacienta a parametry okolního prostředí (ordinace)
- Emisivita a povrch snímaného objektu
- Rozdílná hodnota teploty jednotlivých částí těla v rámci populace – variabilita
- Srovnávací metoda
- Měření pouze povrchové teploty

- chorobou postihnuté místo vydává jiné množství tepla než okolité zdravé tkáně
- na **termogramu** se to projeví změnou v rozdělení teploty tělesného povrchu, co může být hodnoceno jako nespecifický příznak nemoci
- Neochlupený a suchý povrch lidského těla se chová jako téměř **dokonalé černé těleso** a to nezávisle na barvě pokožky – nutné dodržet protokol měření pacienta!



Monitorování zvýšené teploty / horečky



- termovizní kontroly na letištích (chřipkové epidemie)



MUNI
MED



Tchaj-wan
Letiště Taipei –
4/2019



Duka trvá na omluvě, žene náznak orálního sexu k Ústavnímu soudu



Francouzský prezident ztrácí oblibu i voliče. V regionech ho porází Le Penová



Kdo staví dům, musí si připlatit. Kvůli prudkému nárůstu cen nestačí hypotéky

Zbraň nemocnic proti zavlečení covidu-19? Termokamery. Jenže neměří všude

⌚ 22. září 2020 19:58



Ministerstvo zdravotnictví v březnu objednalo 520 termokamer, které měly pomoci proti zavlečení covidu-19 do českých nemocnic. Kamery už sice do jednotlivých zařízení dorazily, ani po půl roce však nefungují zdaleka všude. Teplotu příchozím pacientům zatím měří u vchodů do čtyř z devíti fakultních nemocnic.



Se Zemanem jsem nemluvil od Vrbětic, řekl Prymula. Byl o něj zájem do voleb

Metodika aplikace pro screening horečky

Bezkontaktní termografie (IRT) – metodika aplikace pro screening horečky

IRT měření doporučujeme provádět optimálně dle standardu ISO " IEC 80601-2-59:2017 Particular requirements for the basic safety and safety Essential Performance of Screening Thermographs for Human temperature screening". Z tohoto standardu i z dalších zkušeností naše doporučení vychází. Vedle toho doporučujeme se seznámit s přiloženými odbornými články. Jde o reakci na tzv. prasečí chřipku a SARS publikovanou již dříve a zcela současné vyjádření k pandemii od odborníků z European Association of Thermology (EAT):

Fever screening and infrared thermal imaging: concerns and guidelines. JB Mercer, EFJ Ring. Thermology international 2009; 19: 67-69

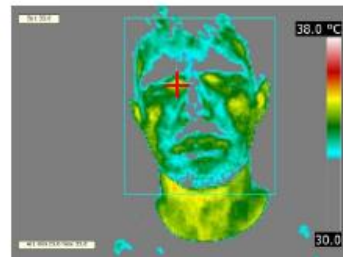
Infrared thermography for mass fever screening: repeating the mistakes of the past? KJ Howell, J Mercer, RE Smith, Thermology International, 2020, 30, 1

Obecná doporučení jsou použitelná za předpokladu, že se uživatel seznámil s manuálem pro použití přístroje pro IRT, tedy ovládá jeho základní funkce. Doporučení mohou být mírně modifikována dle typu přístroje.

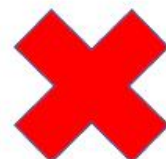
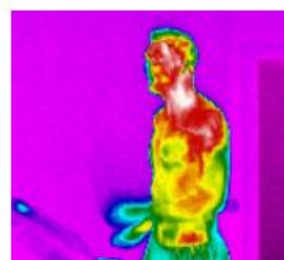
- V optimálním případě by IRT přístroj měl být před použitím kalibrován (resp. pro něj přesně zjištěna systematická chyba měření) pomocí tzv. modelu černého tělesa (či jiného zdroje o definované teplotě – ideálně 37°C – a emisivitě za standardních podmínek měření. Mohlo by jít improvizovaně i o termostatovanou matně černou nádobou s vodou o známé teplotě apod.). Kalibraci provádí výrobce, ale někdy nemusí být správná či platná. Pokud kalibraci provést nelze, je nutno počítat se systematickou chybou měření, kterou lze bez kalibrace odhadnout jen intuitivně po větším počtu měření.
- Je nutná teplotní aklimatizace IRT přístroje (rychlým změnám okolní teploty během měření je nutno se vyhýbat, protože mohou ovlivnit průběh měření).
- Nezávisle na předchozím je nutná časová stabilizace přístroje po zapnutí (čas nutný pro teplotní stabilizaci čipu, 5-10 min dle typu přístroje, i když měříme vždy za stejné teploty!)
- Výhodou je měření v módu nastavení prahové detekované teploty (tedy barevné odlišení objektů o teplotě vyšší než zvolené; pozor na deklarovanou citlivost měření, viz též kalibrace IRT).
- Nastavení funkce vyhledání nejteplejšího místa v ROI (region of interest). Toto by mělo být nalezeno v pozici vnitřního očního koutku, viz literární zdroje. Kvalitnější přístroje toto umí provést automaticky, ale je třeba dbát o kontrolu správnosti.

MUNI
MED

Příklad vhodného a nevhodného postupu měření a analýzy IRT snímku:



Příklad vhodného měření teploty osoby použitím IRT snímkem obličeje a úpravou radiometrických parametrů. Celkový rozsah $30,0 - 38,0^{\circ}\text{C}$, neutrální pozadí, teplotní „alarm“ nad prahem $32,0^{\circ}\text{C}$. Měření teploty pomocí výběru ROI a pevného bodu. Bodové měření ve vnitřním koutku oka.



Příklad nevyhovující velikosti monitorované osoby na IRT snímku, nevhodná pozice osoby vůči objektivu.

MUNI
MED

WORKSWELL MEDICAL SERIES

MEDICAS

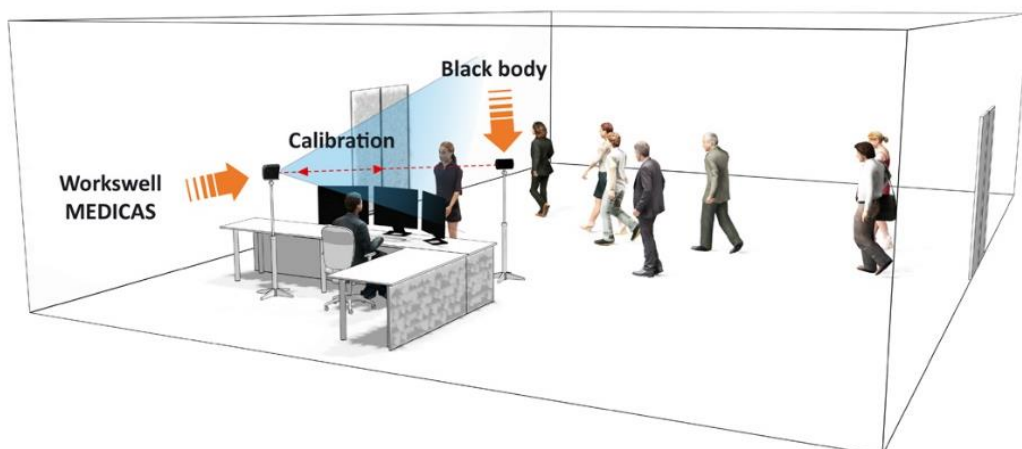
SCREENING INFEKČNÍCH CHOROB TERMOKAMEROU

Společnost Workswell reaguje na vysoké riziko globálního šíření infekčních chorob (aktuálně ve spojení s **corona virem**) a investovala prostředky na vybudování termovizního **plug & play systému** s názvem Workswell **MEDICAS**.

Systém disponuje **vysokou přesností měření teploty** (ta je zajištěna kontinuální rekalibrací s pomocí černého tělesa, které je součástí systému) a také **teplotní citlivostí 30mK**. K termokameře stačí připojit monitor a klávesnici a vše je připravené k použití.

- ⌚ DETEKCE HOREČKY
- 🌡 MĚŘENÍ TEPLITY
- 📷 TERMÁLNÍ A RGB KAMERA

- ████ VYSOKÉ ROZLIŠENÍ
- 📱 MOBILNÍ A PŘENOSNÉ
- 🕒 REALTIME ANALÝZA



Historie termografie

– Počátky v 50. letech 20. století

Vol. 38, No. 6 / THERMOGRAPHY IN BURN INJURY

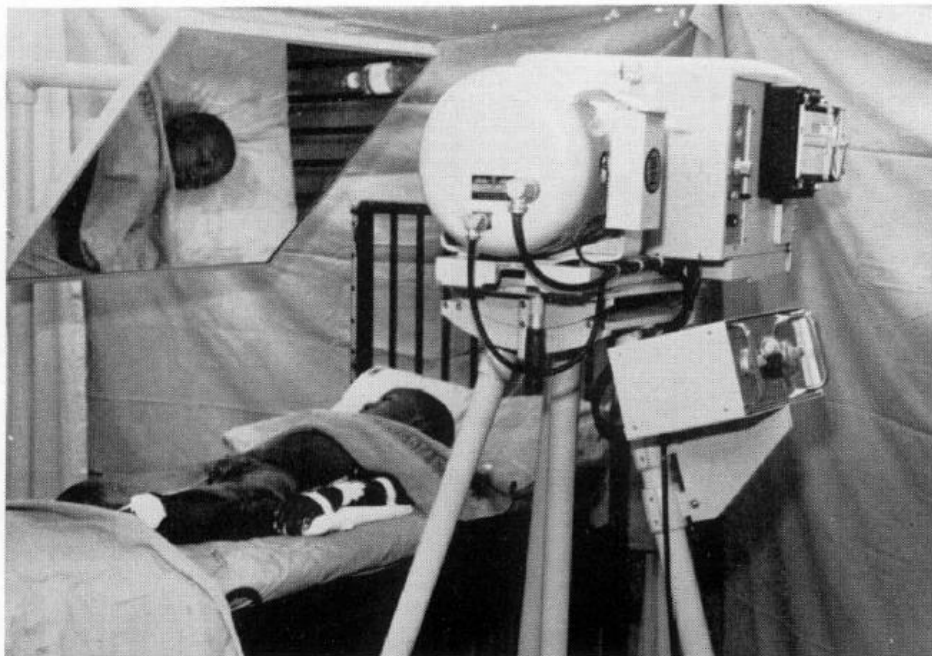
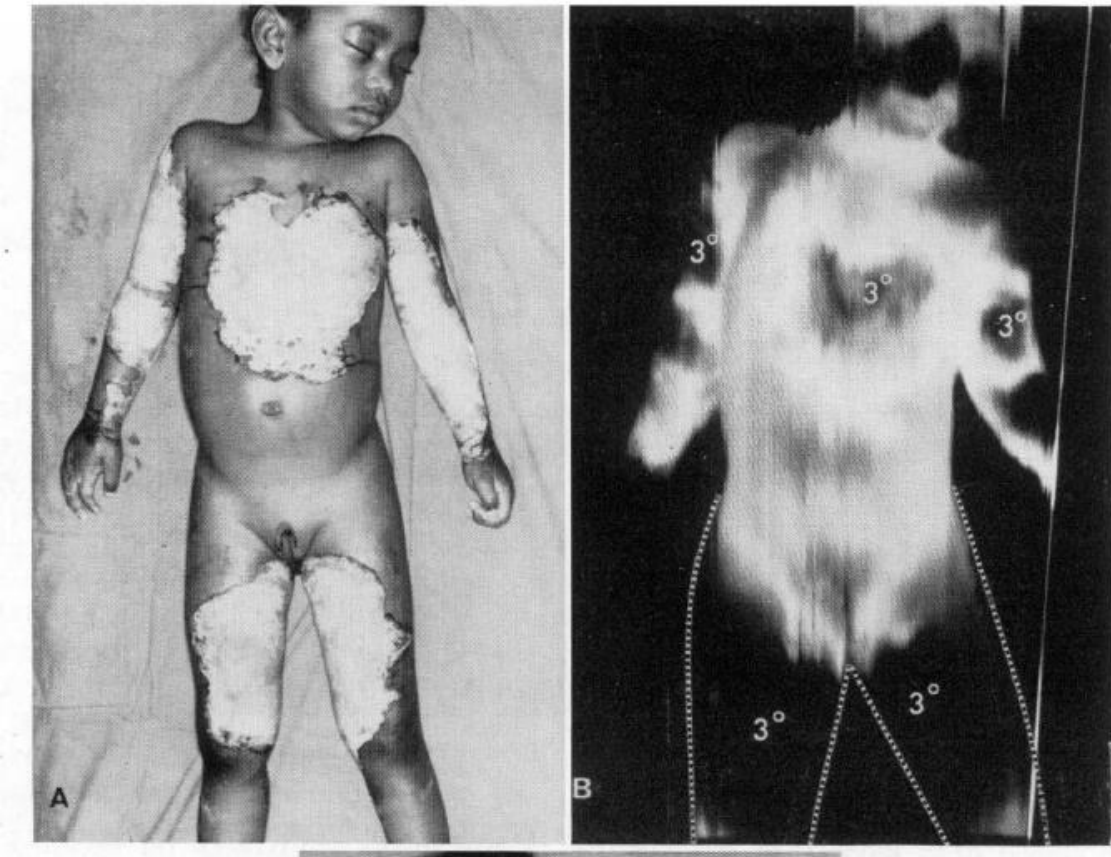
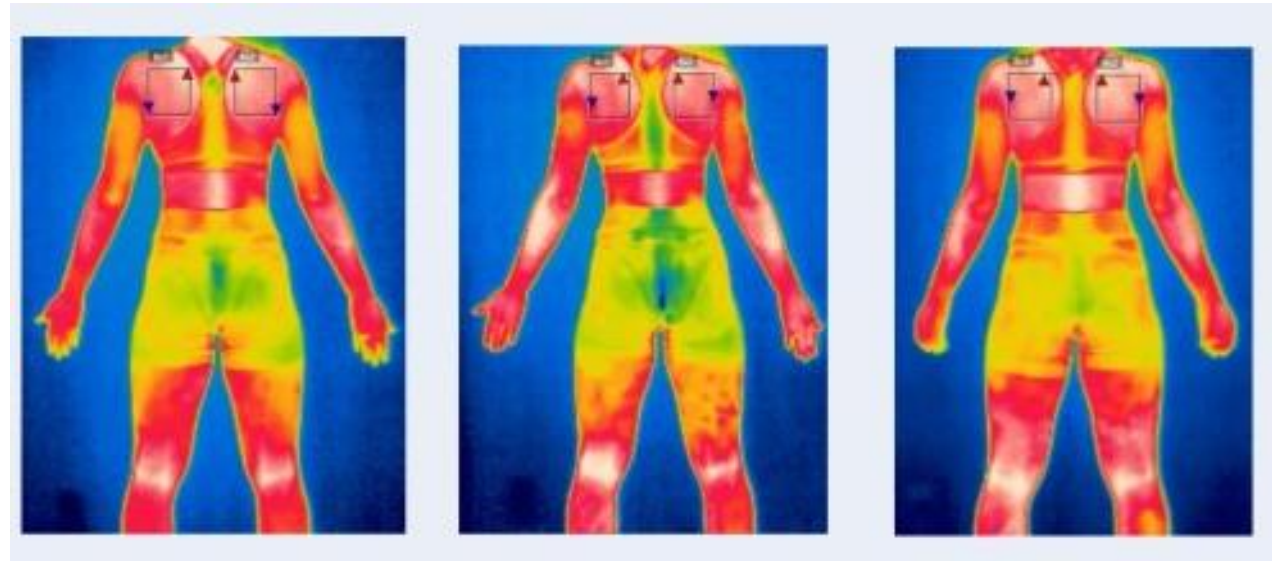
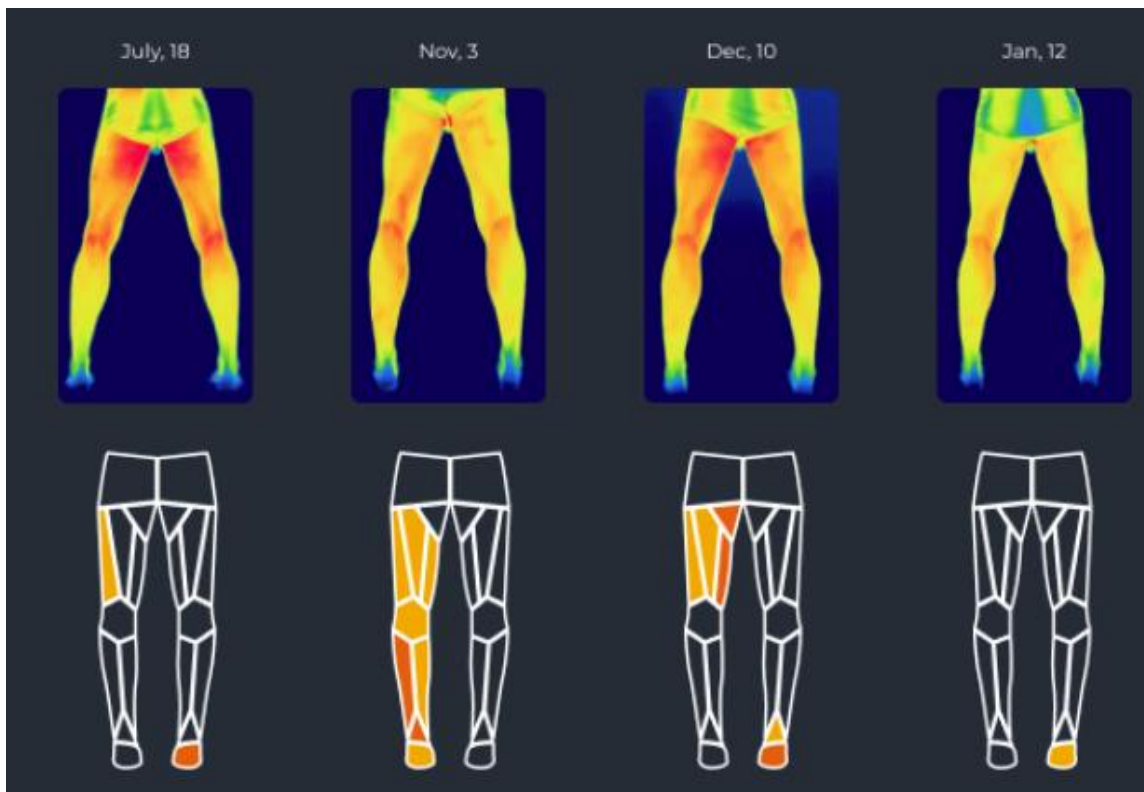
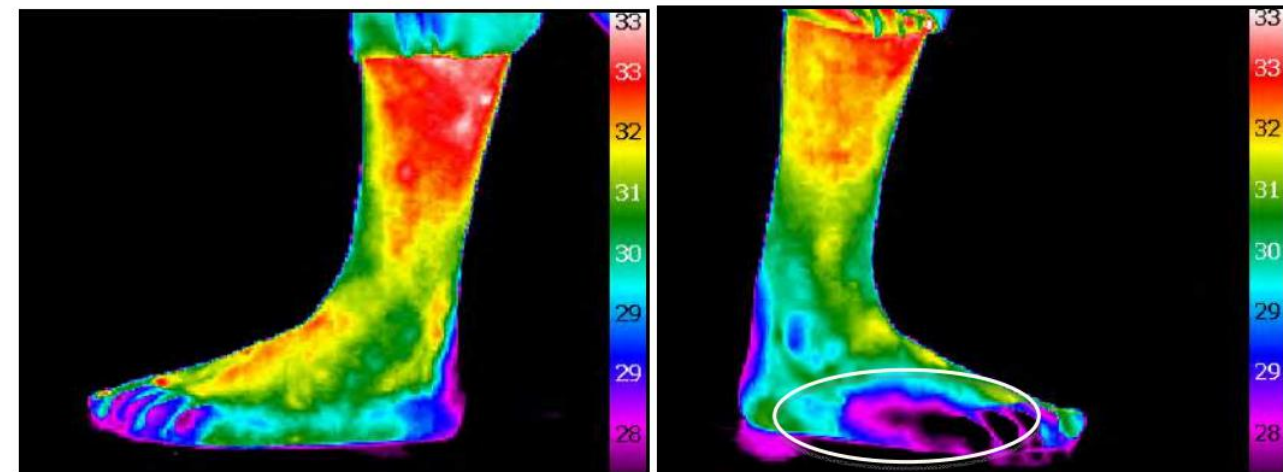
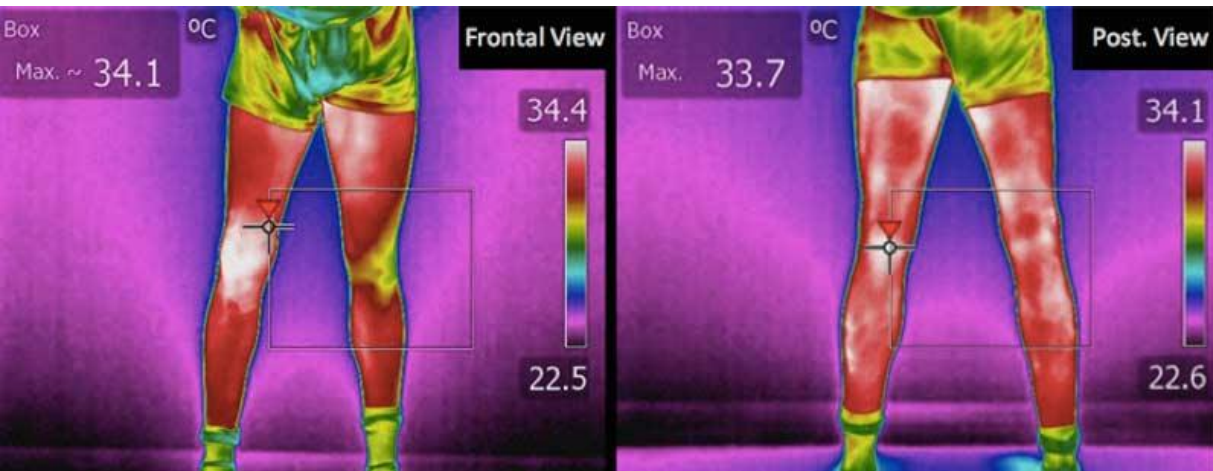


FIG. 1. Position of patient in relationship to thermograph machine is shown during scanning of a burn patient.



Sportovní medicína

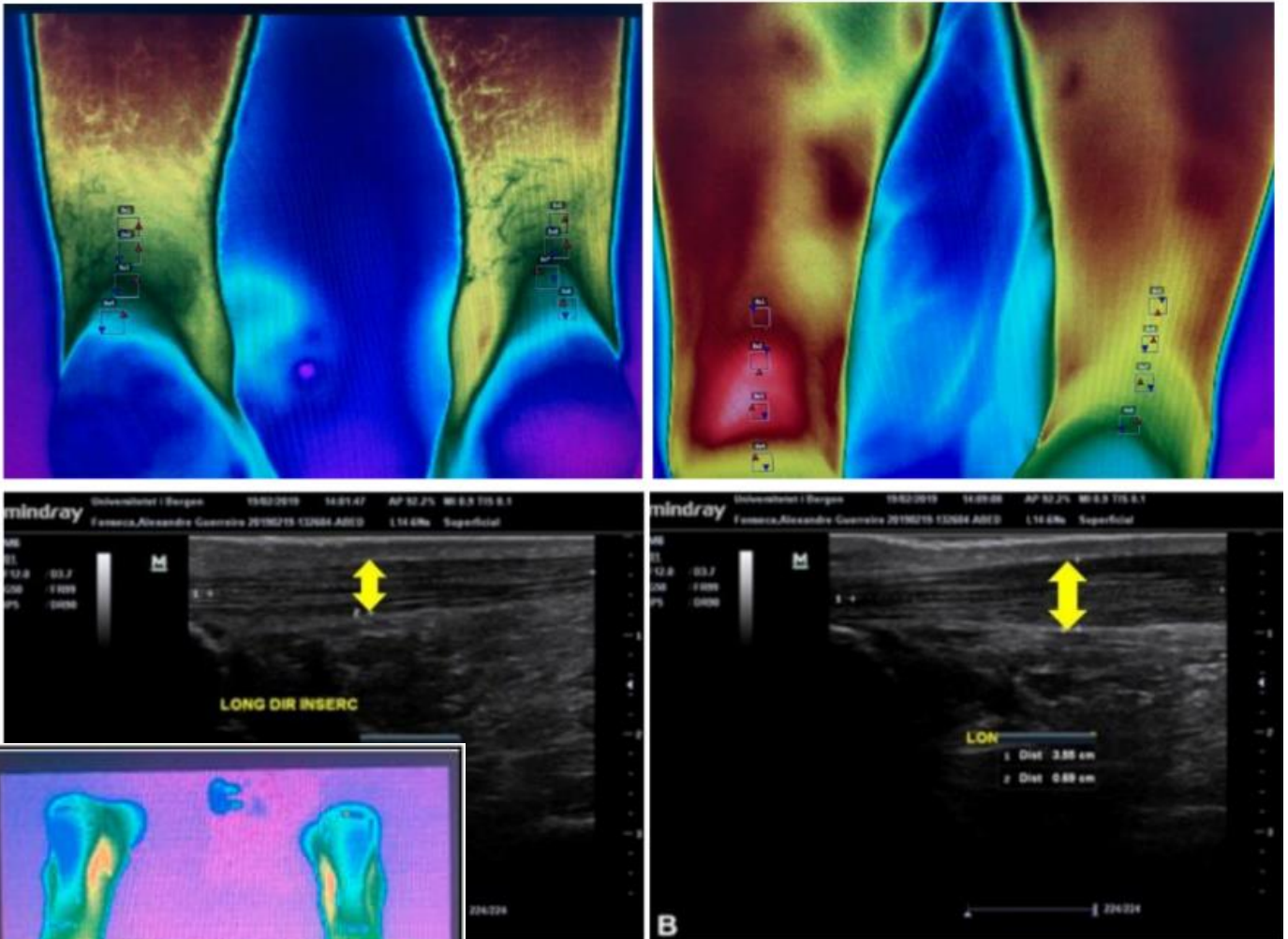
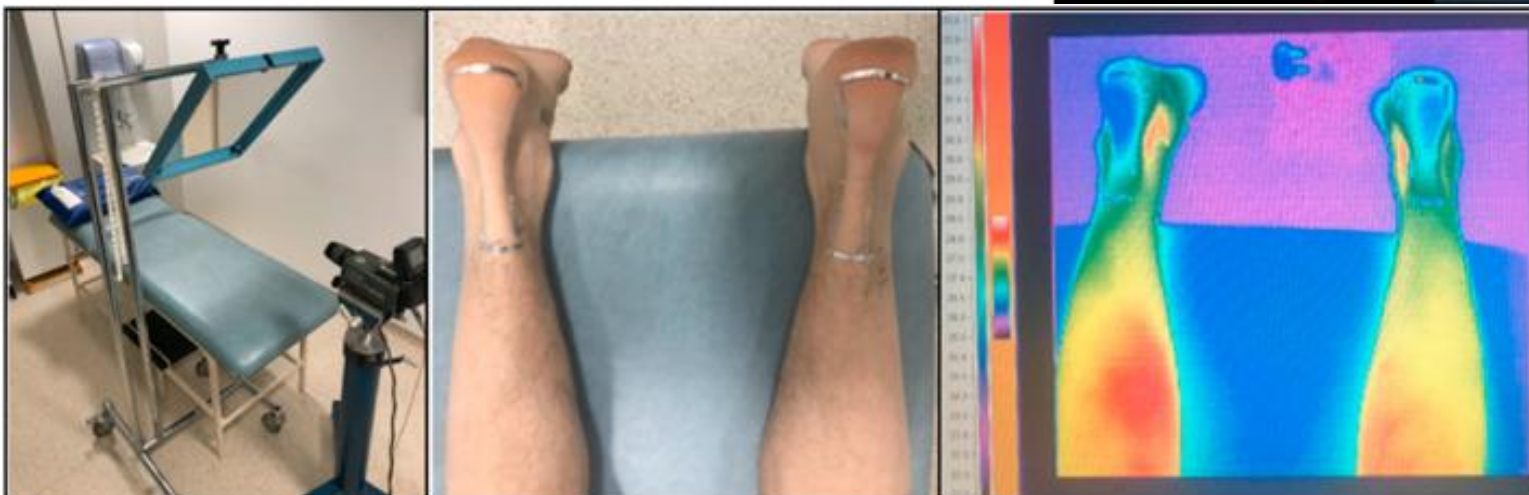


<https://www.sciencedirect.com/science/article/pii/S2666506920300420>

MUNI
MED

Fyzioterapie

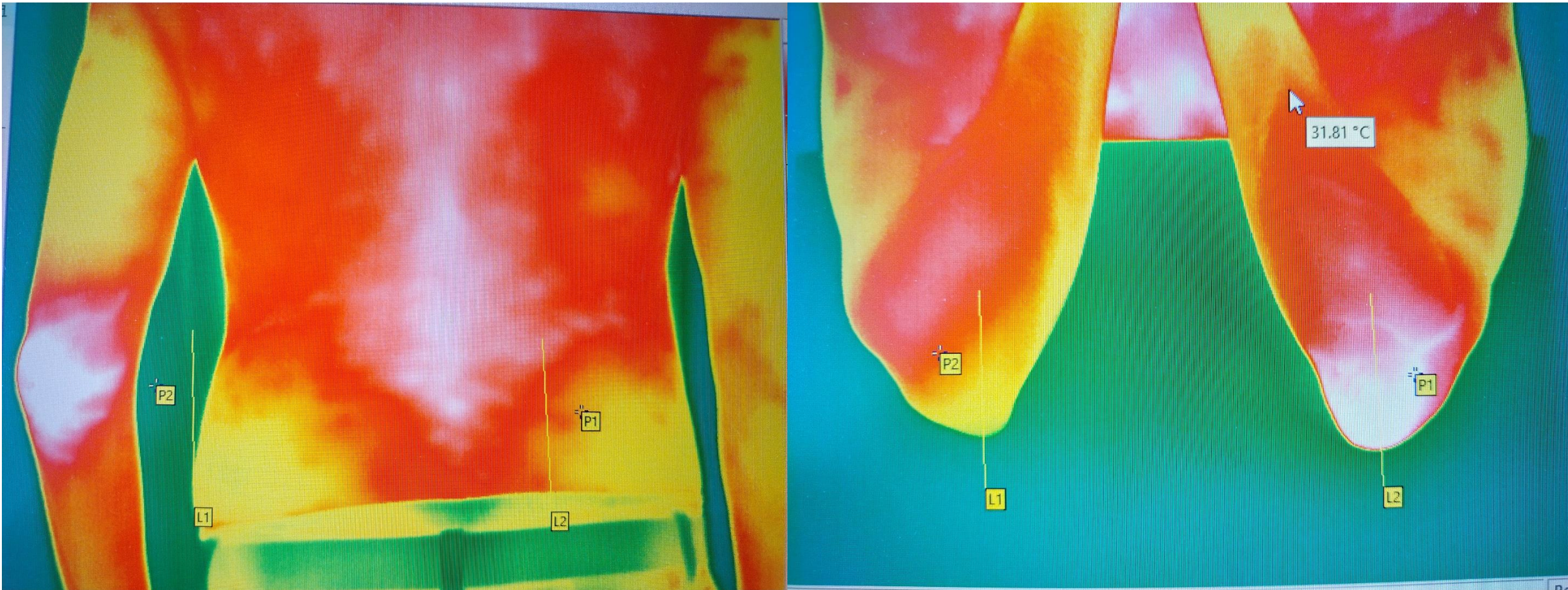
Tendiopatie achilovy šlachy



Infrared thermography in the diagnosis of Achilles tendinitis.
A randomized double-blind pilot clinical trial

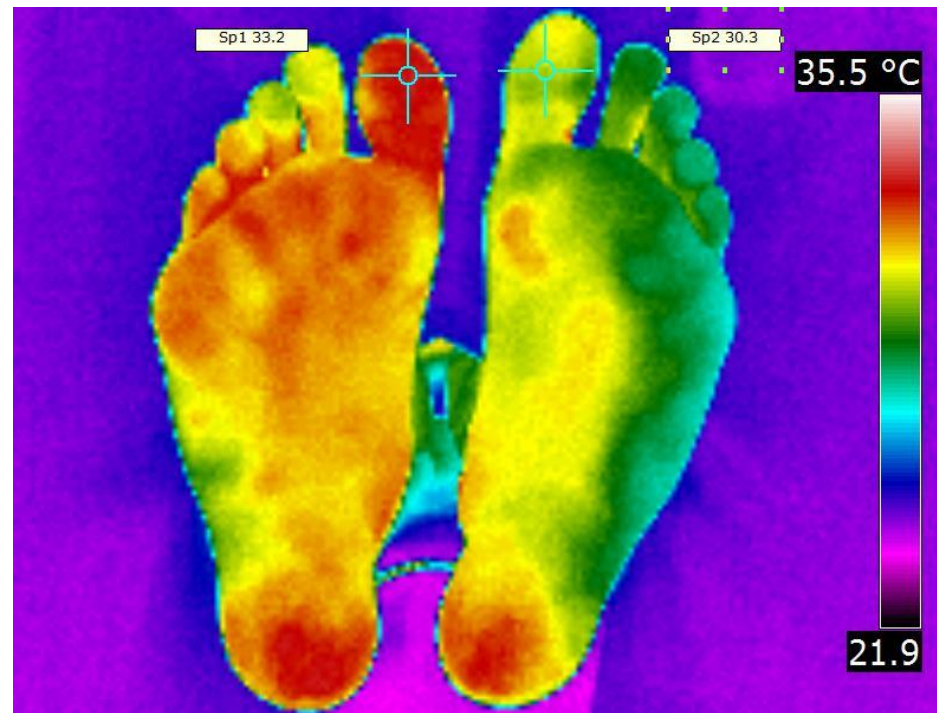
MUNI
MED

– Zhmoždění loktu



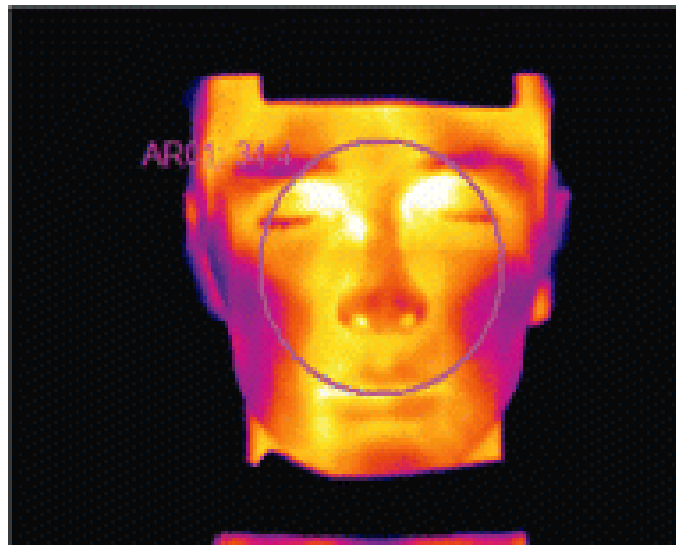
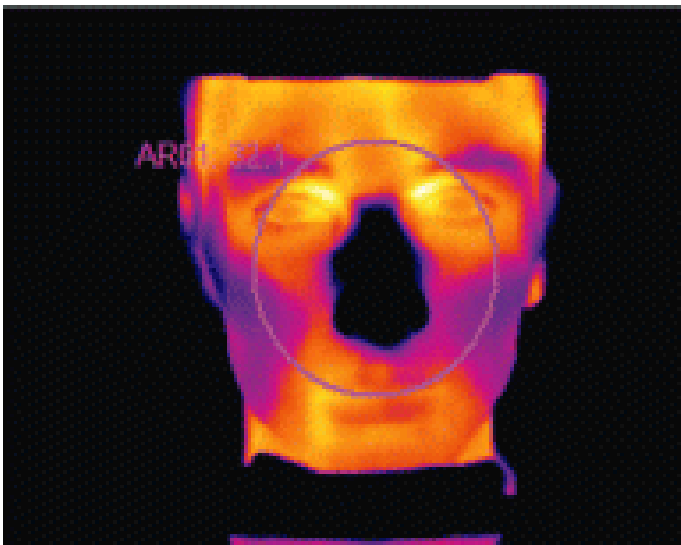


before provocation



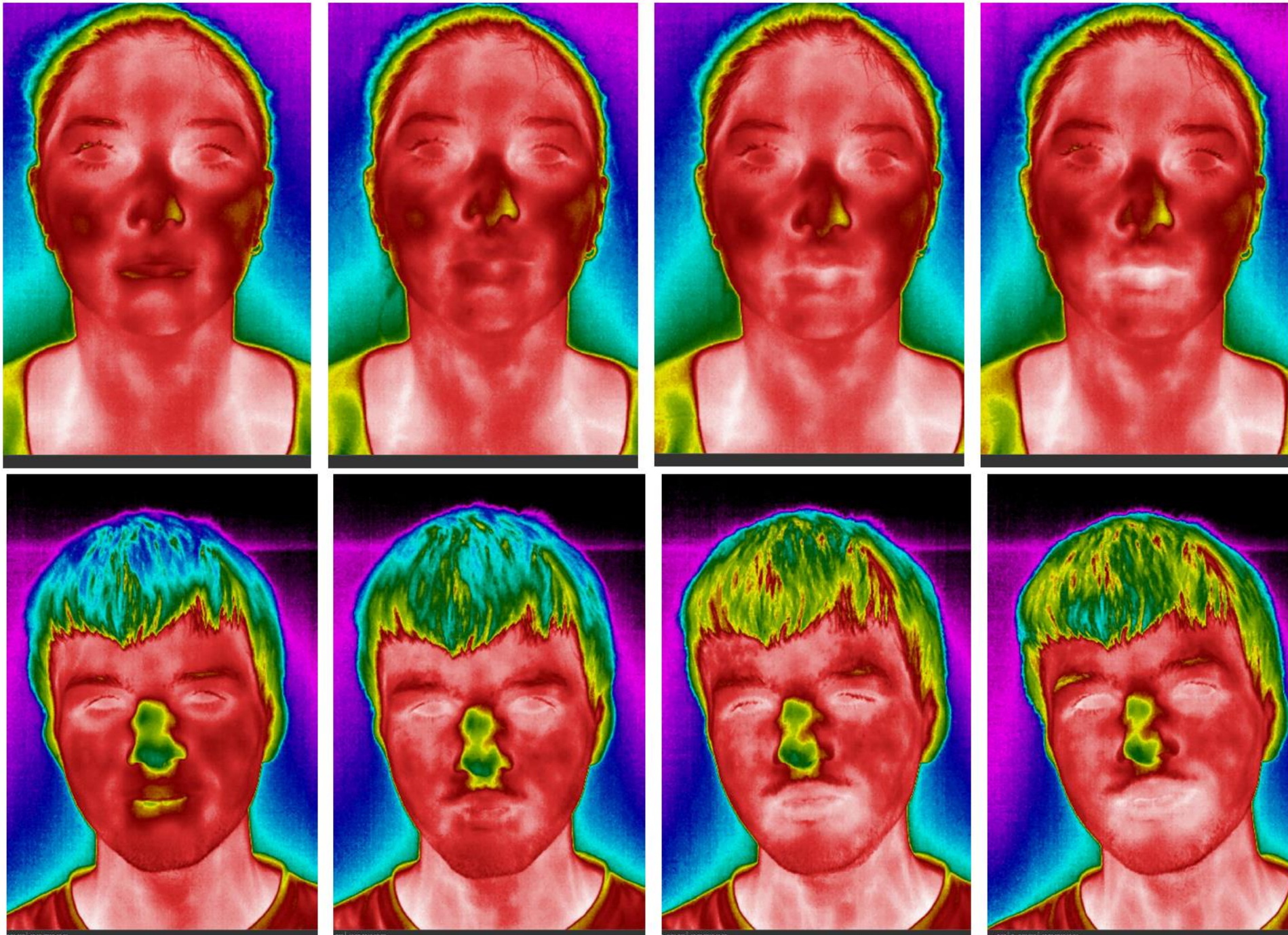
after provocation

zánět v oblasti
lůžka nehtu
palce



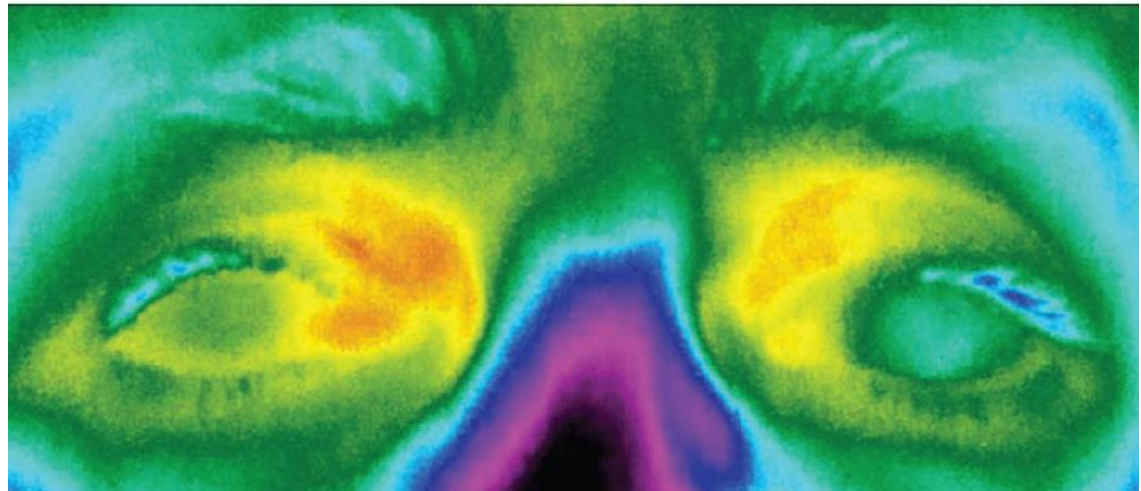
Sledování antihistaminické aktivity

Stimulace a sledování teploty pomocí kapsaicinu

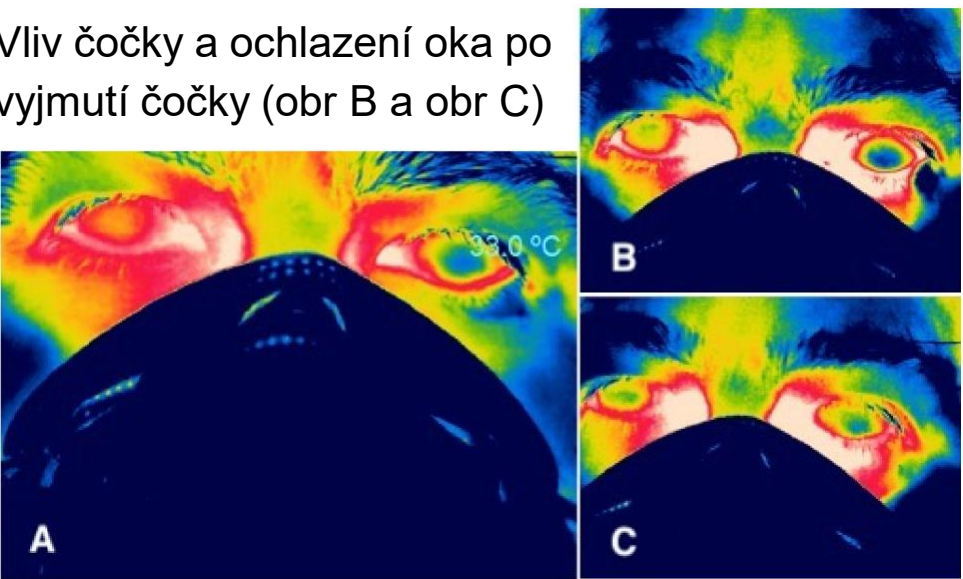


Oftalmologie

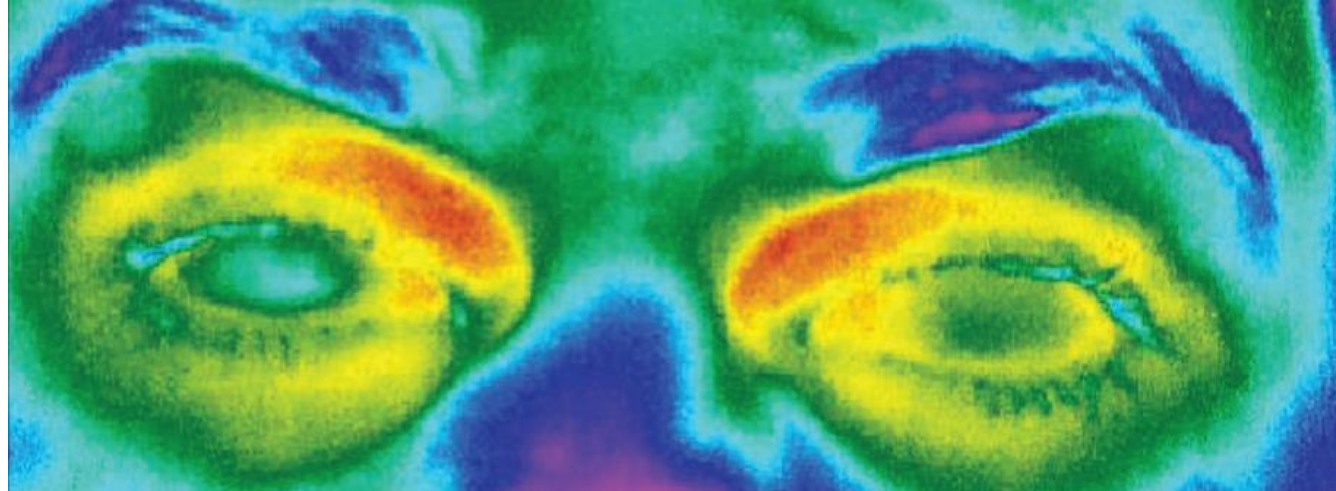
Skleritida (zánět bělimy) – vyšší teplota



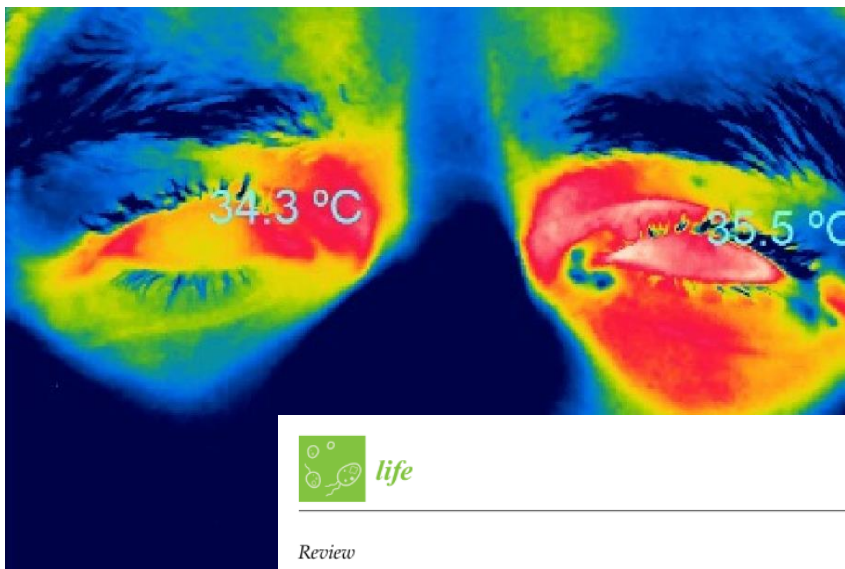
Vliv čočky a ochlazení oka po vyjmutí čočky (obr B a obr C)



Keratitida (zánět rohovky oka) – nižší teplota



plísňový rohovkový
vřed na levém oku,
který vyvolal zvýšení
teploty rohovky o
1,2 °C



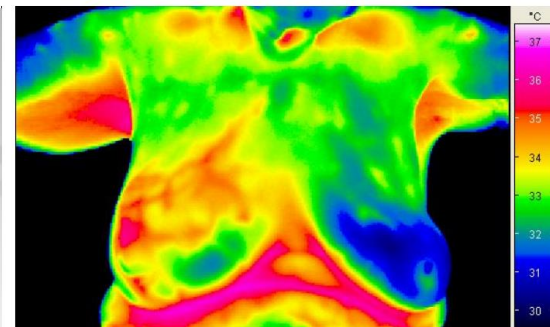
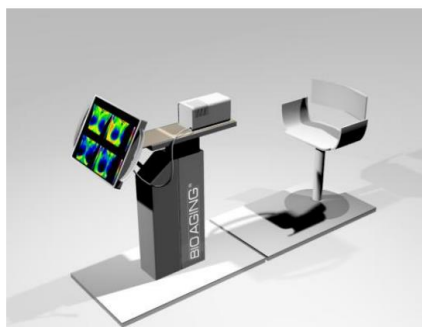
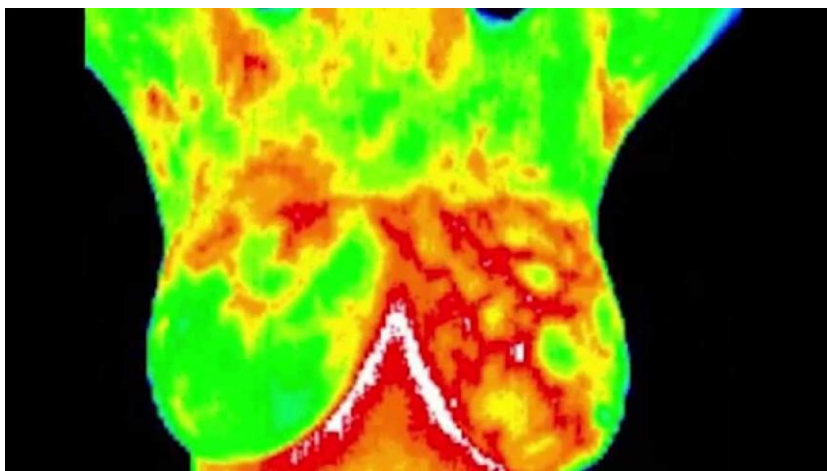
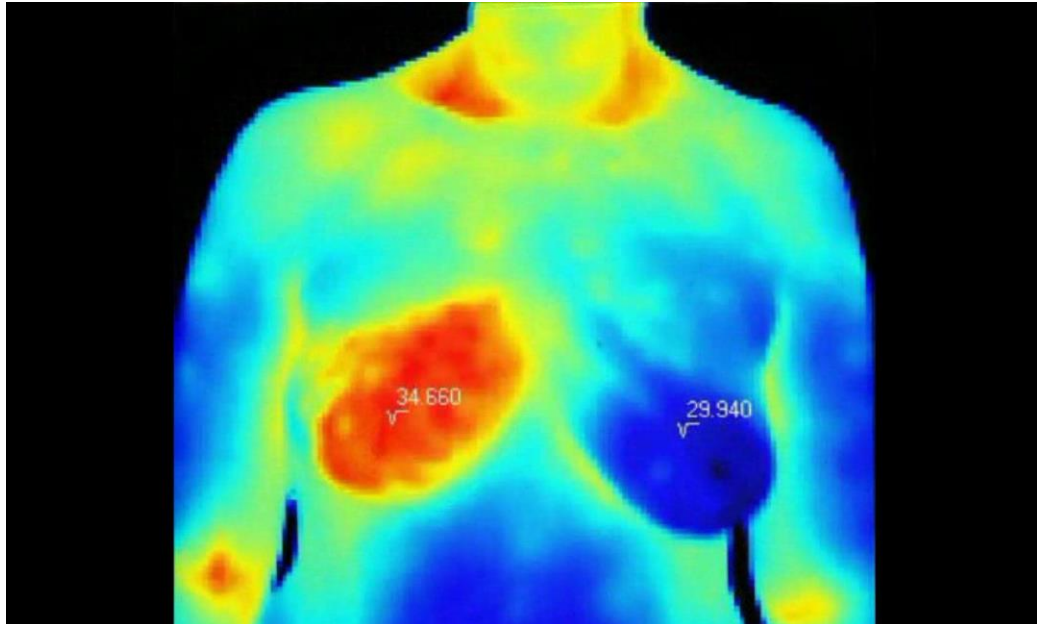
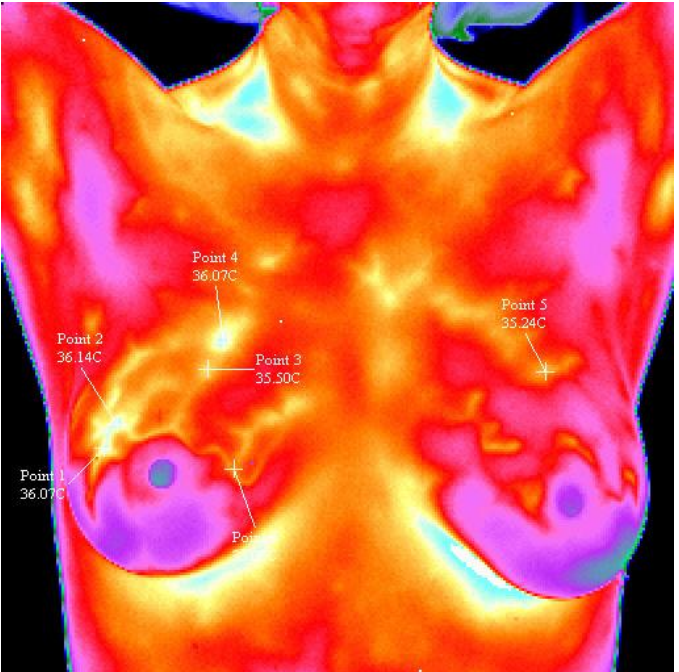
Review

Applications of Infrared Thermography in Ophthalmology

Rosario Gulias-Cañizo ¹, Maria Elisa Rodríguez-Malagón ², Loubette Botello-González ², Valeria Belden-Reyes ², Francisco Amparo ² and Manuel Garza-Leon ^{2,*}

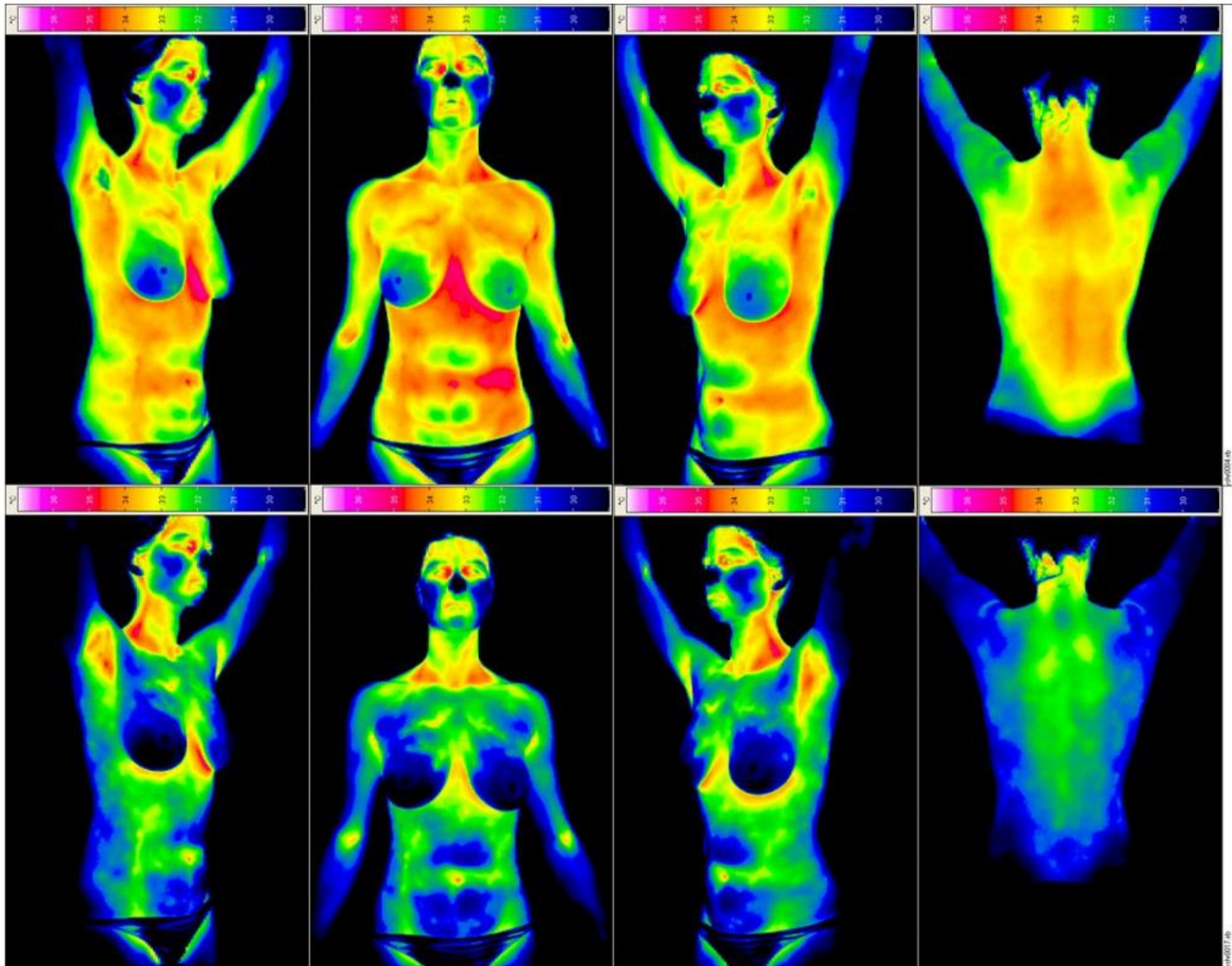


Detekce karcinomu prsu



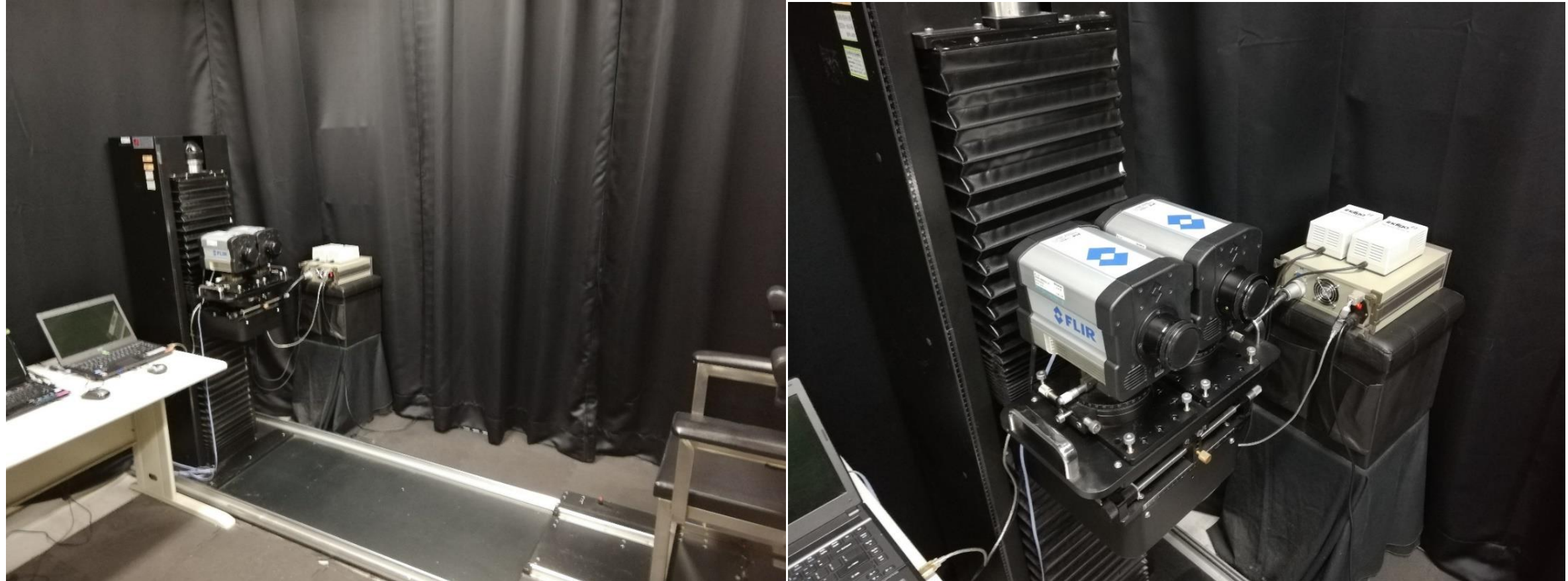
"BreastCancerRightSample1" by Philiphoekstra (talk) (Uploads) - Transferred from en.wikipedia to Commons.. Licensed under Public Domain via Wikimedia Commons - <http://commons.wikimedia.org/wiki/File:BreastCancerRightSample1.jpg#mediaviewer/File:BreastCancerRightSample1.jpg>

Dynamická termografie



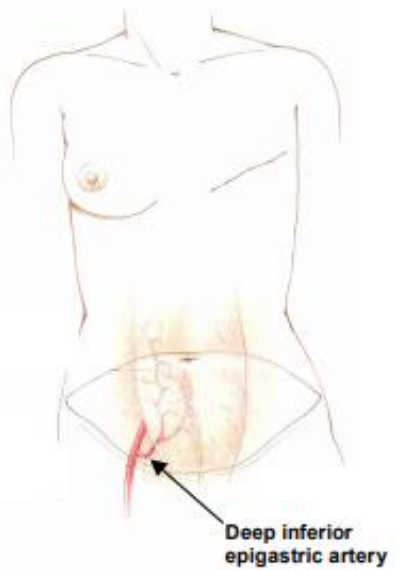
MUNI
MED

National Taiwan University – Imaging center

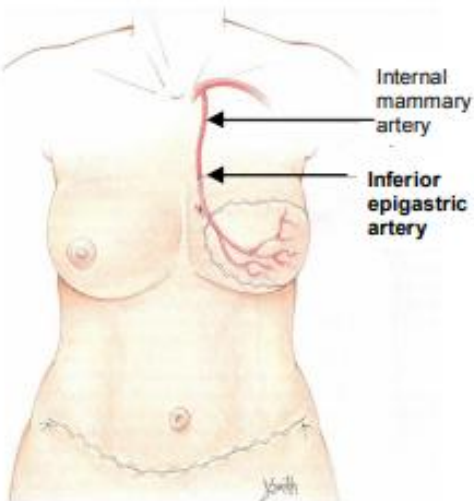


MUNI
MED

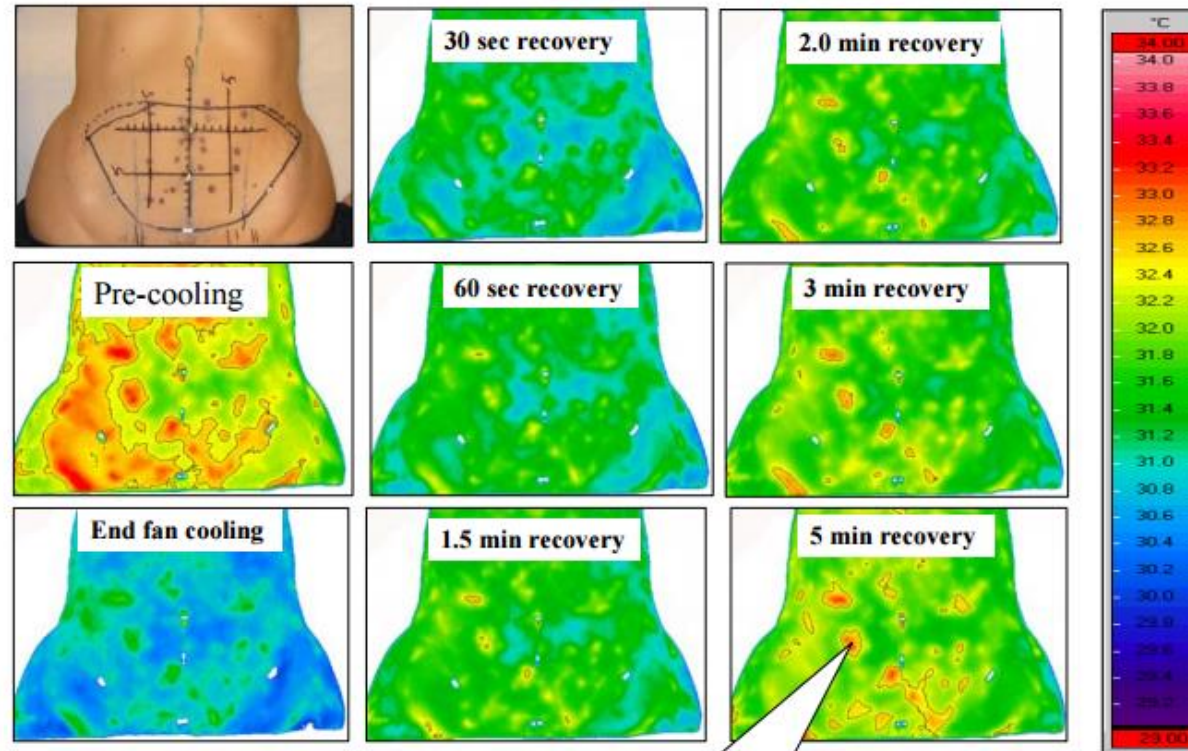
Pre-operative



Post-operative

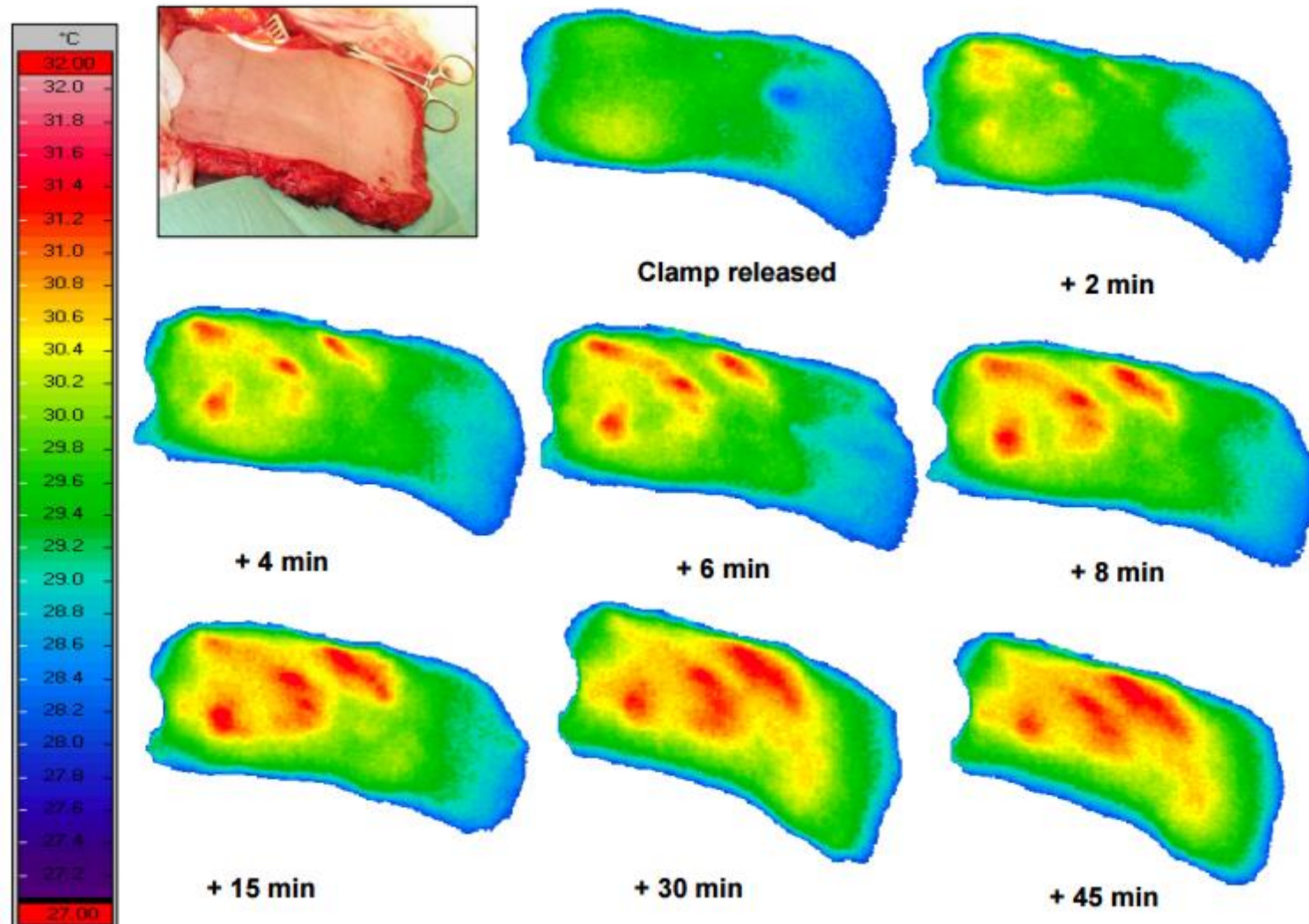


Visualization of perforating blood vessels with dynamic IR-thermography



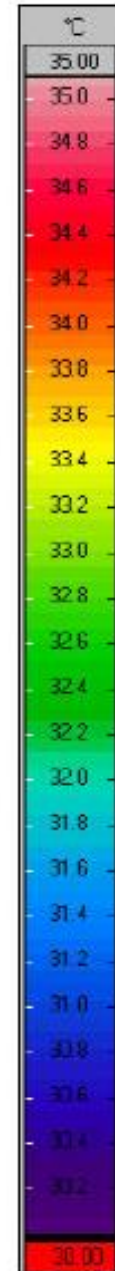
perforating blood vessel

Infrared thermal imaging and autologous breast reconstruction surgery



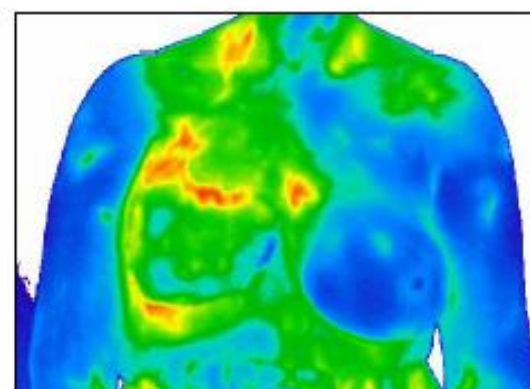
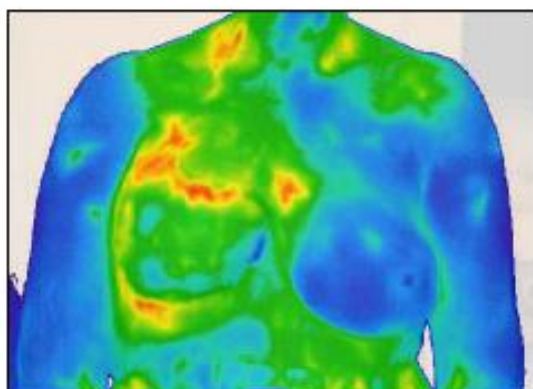
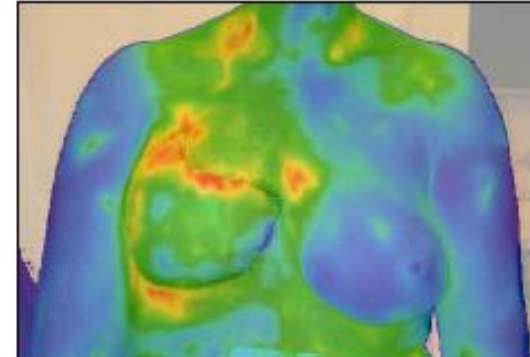
Mercer J. Medical Imaging Research Group, Department of Clinical Medicine,
Faculty of Health Sciences, UiT - The Arctic University of Norway, Tromsø

MUNI
MED



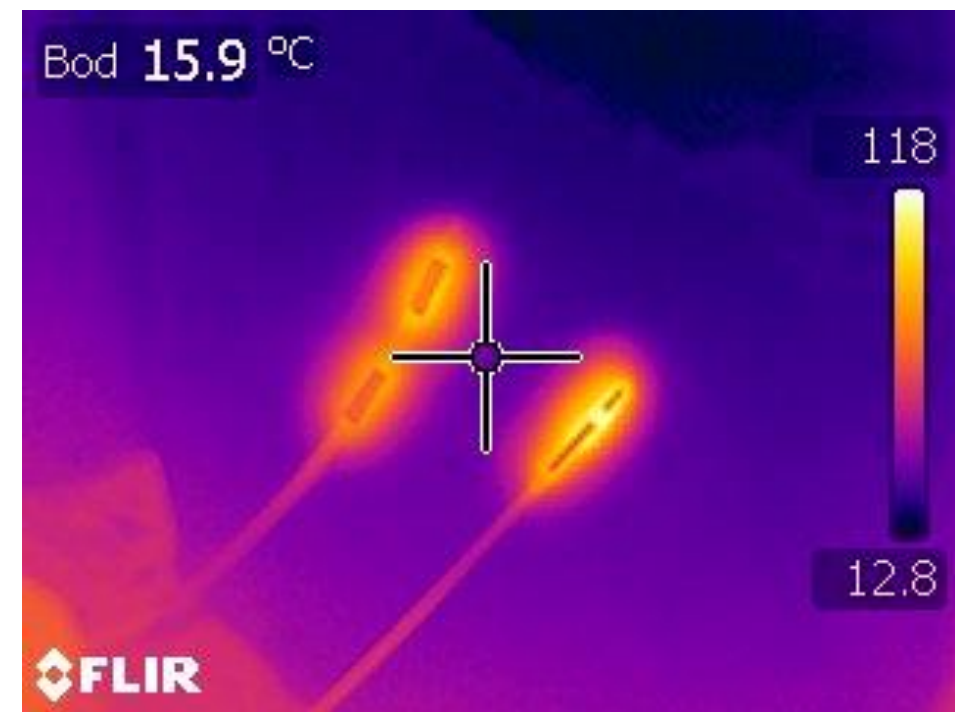
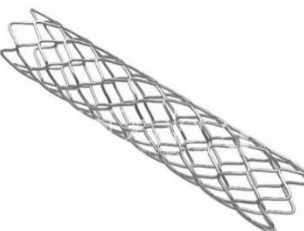
6 dní po resekci

Efekt prolnutí
snímků



Mercer J. Medical Imaging Research Group, Department of Clinical Medicine, Faculty of Health Sciences, UiT - The Arctic University of Norway, Tromsø

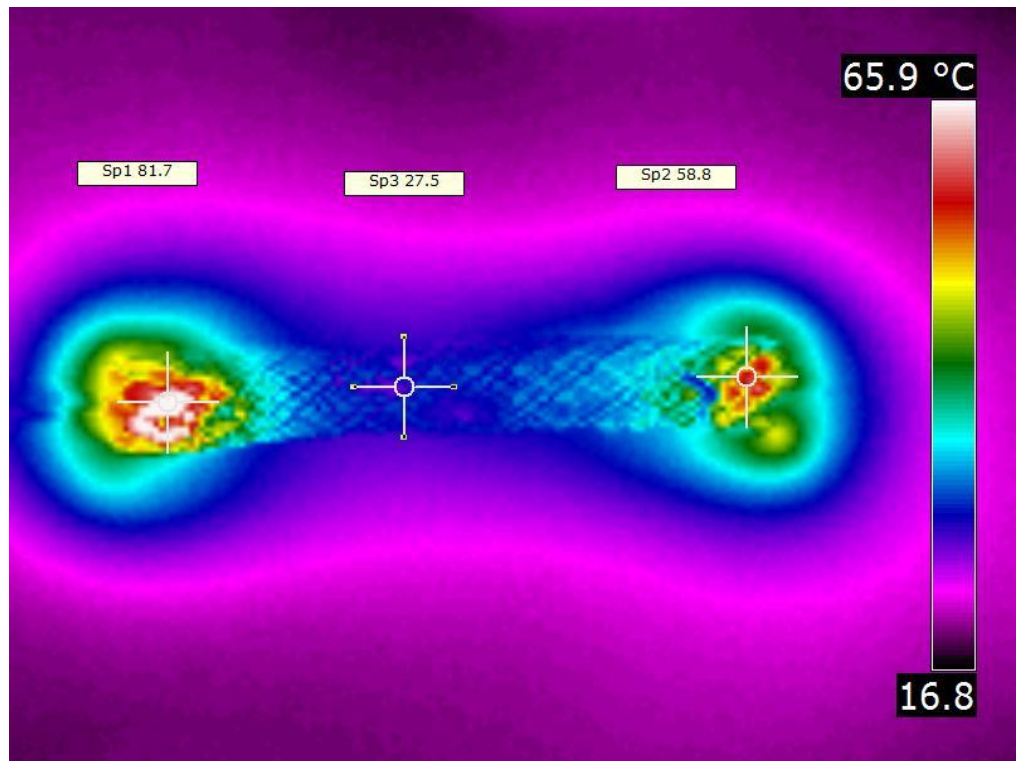
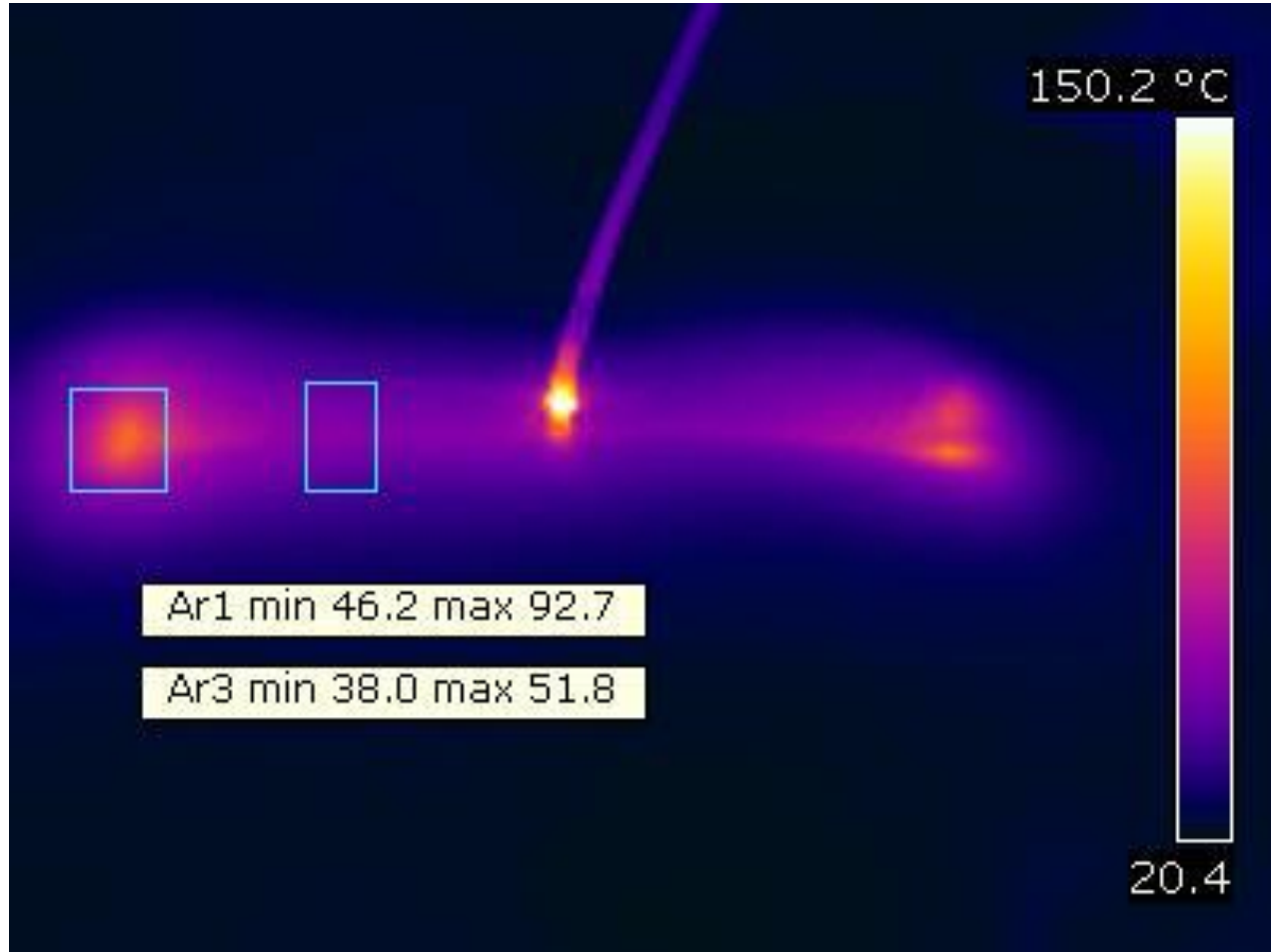
Termoablace tkáně – ireverzibilní elektroporace



spolupráce
Biofyzikální ústav LF MU
Radiologická klinika FN Brno

MUNI
MED

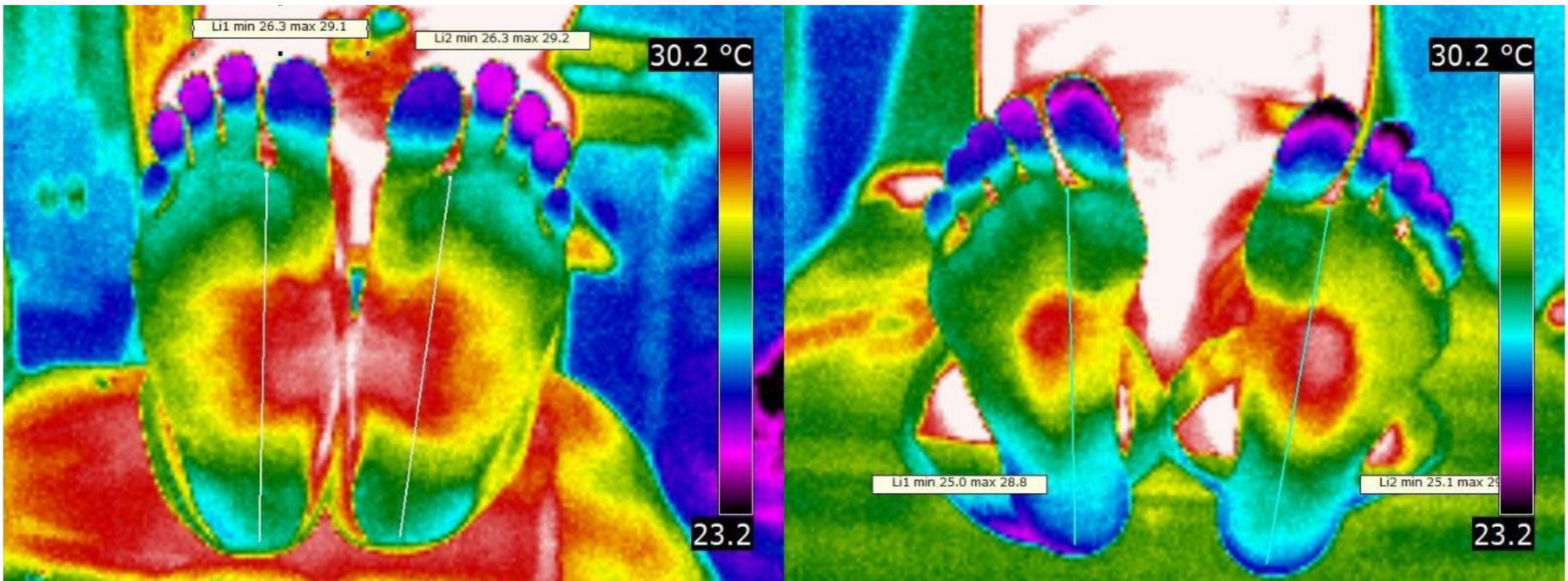
Termoablace tkáně – ireverzibilní elektroporace



MUNI
MED

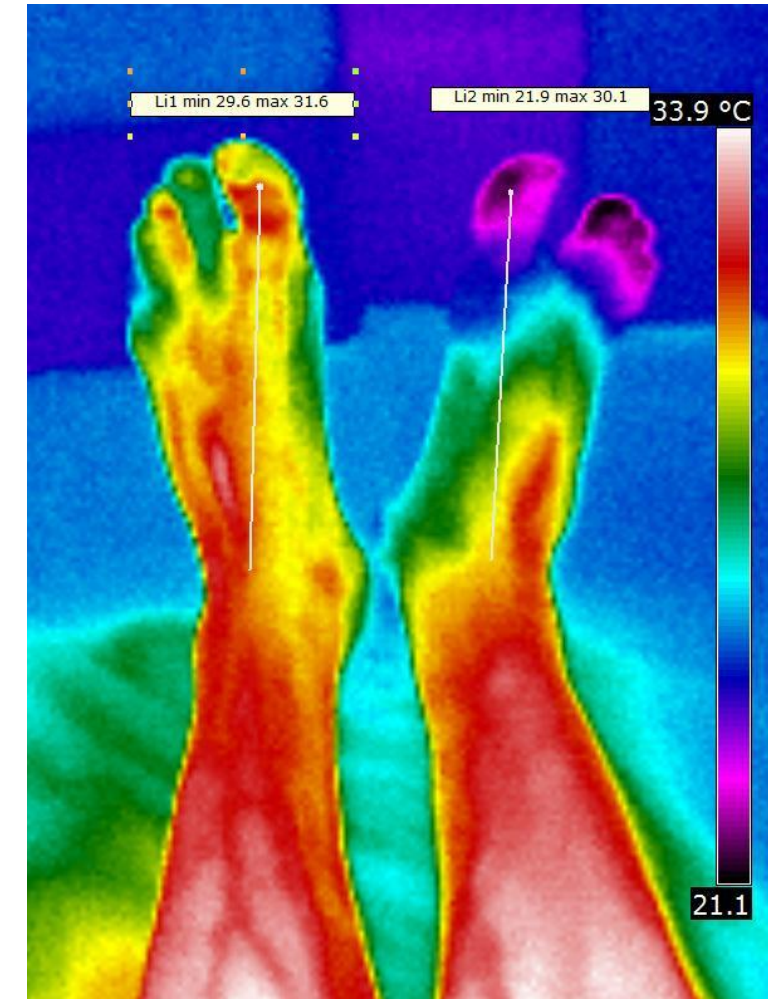
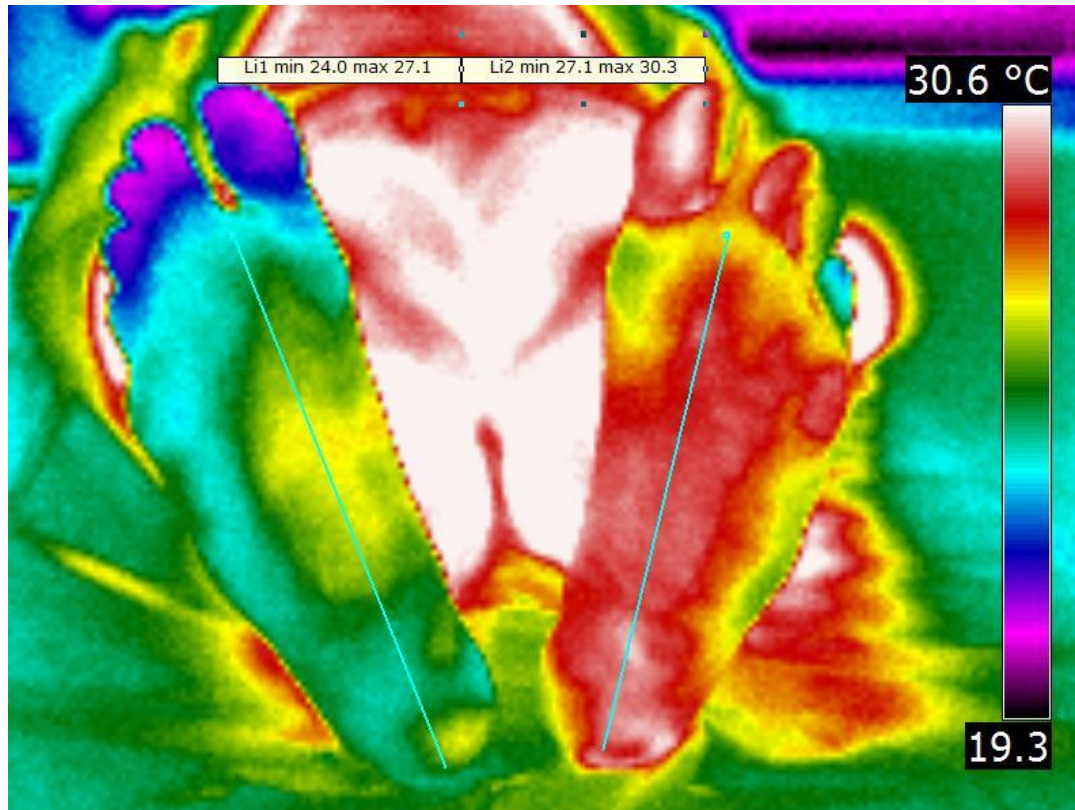
Ischemická choroba dolních končetin Pacienti s diabetem mellitus II. typu

Teplota končetin u zdravé populace: průměrný rozdíl $\leq 0,5\text{ }^{\circ}\text{C}$



Příklad končetinové ischémie

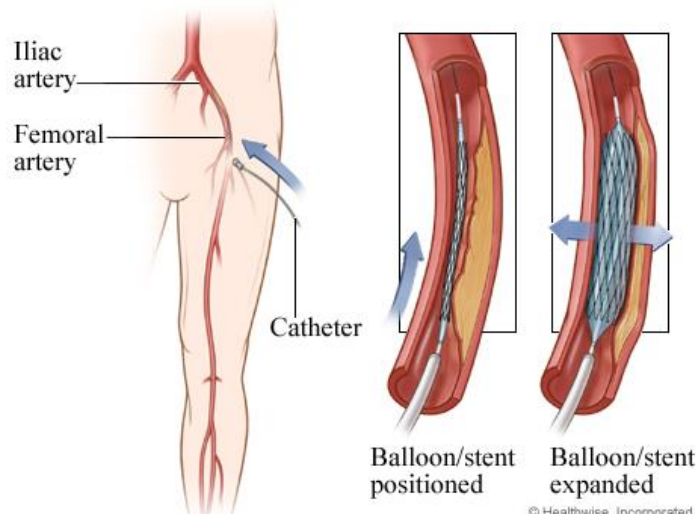
- Muž 46 let, kuřák
- Klaudikace 200m, přítomny klidové bolesti
- Pulsace: bilat. AF+, AP+, LDK: ADP+, ATP+, PDK: ADP+, ATP+ (slabě)
- Snímek před provedením PTA
- **Průměrný rozdíl teplot $\Delta T = 3,3 \text{ }^{\circ}\text{C}$**



Hodnocení revaskularizace dolních končetin

Revaskularizace pomocí endovaskulární intervence

- Hospitalizace indikována na základě klaudikací a CTA vyšetření
- Termogram pořízen při hospitalizaci pacienta a dva dny po zákroku
- Zároveň stanovena hodnota ABI (index kotník-paže), $\geq 0,9$
- Pozorovány byly změny mezi končetinami po revaskularizačním zákroku

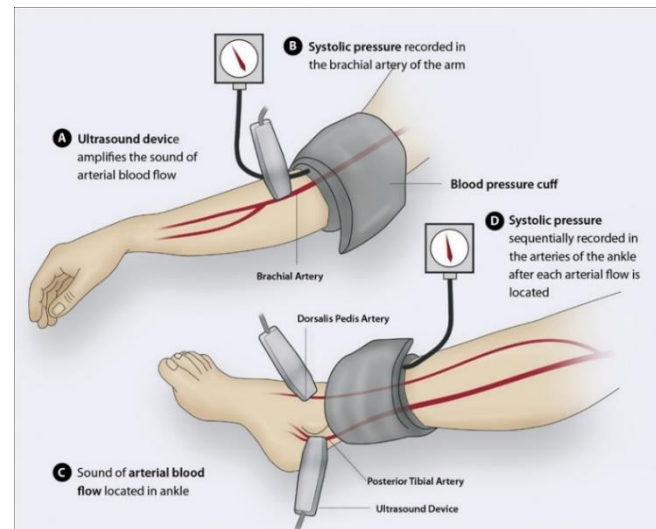


https://myhealth.alberta.ca/Health/_layouts/15/healthwise/media/medical/hw/h9991299_003.jpg
<http://www.bpac.org.nz/BPJ/2014/April/img/systolic-pressure.jpg>

Demografická data pacientů

Pohlaví

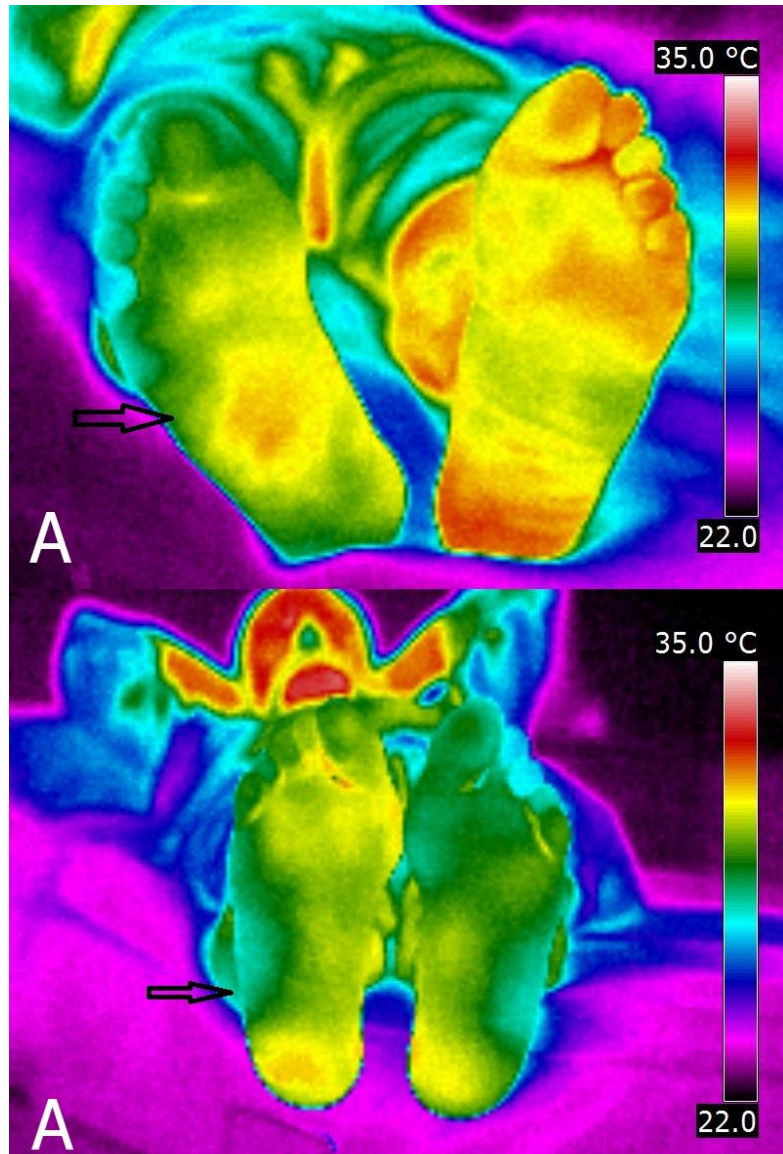
Muži	14 (66,7 %)
Ženy	7 (33,3 %)
Průměrný věk	66,2 \pm 19,7
Věkový rozsah	47 až 76
Kouření	17 (81,0 %)
Diabetes mellitus	6 (28,6 %)



PDK: prům. T= 30,8 °C
LDK: prům. T= 31,5 °C

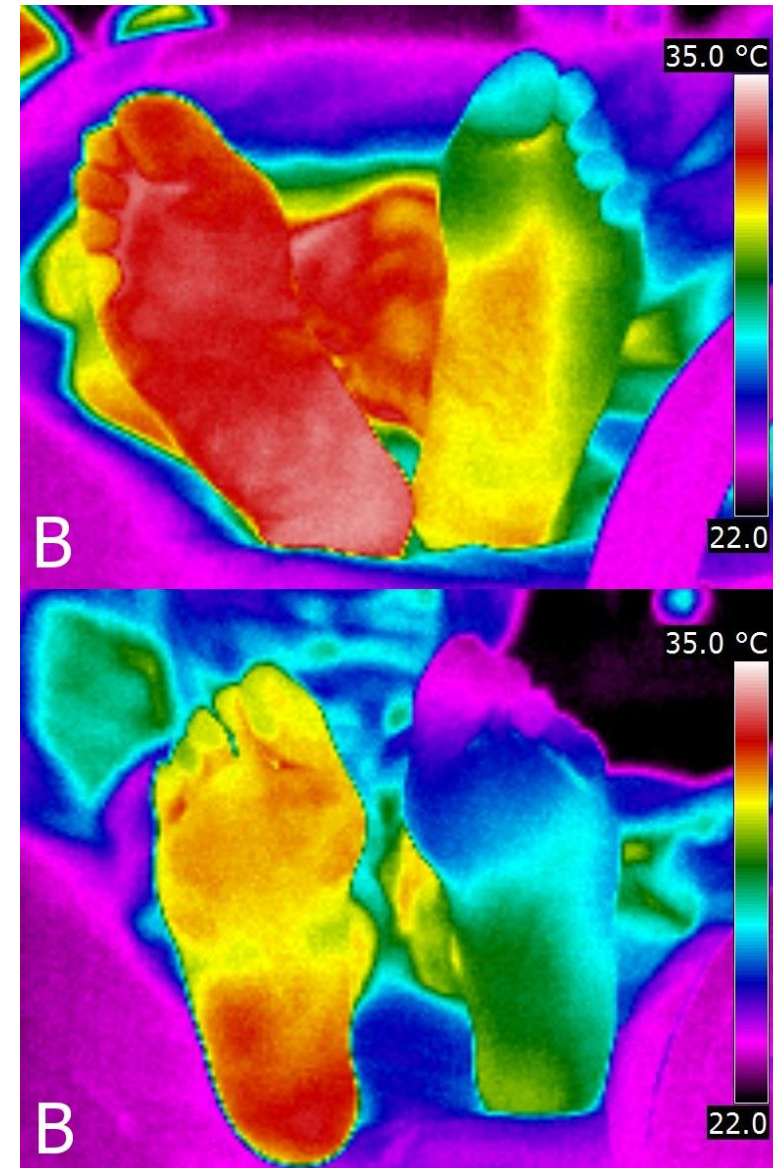
Výsledky – klinická část

PDK: prům. T= 33,3 °C
LDK: prům. T= 30,9 °C



PDK: prum. T= 30,3 °C
LDK: prům. T= 29,6 °C

PTA



PDK: prům. T= 31,6 °C
LDK: prům. T= 28,0 °C

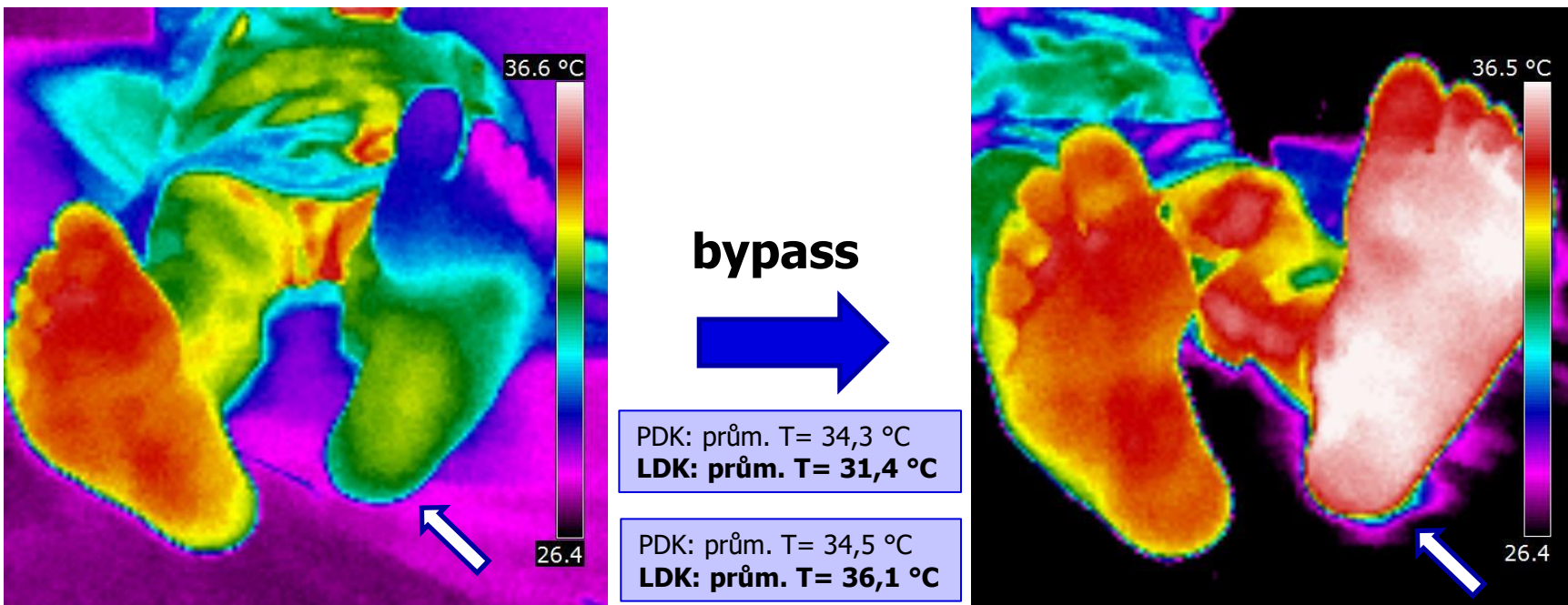
MUNI
MED

Hodnocení revaskularizace dolních končetin

Angiochirurgická revaskularizace (bypass)

- Hospitalizace indikována na základě kladikací a CTA vyšetření
- Termogram pořízen při hospitalizaci pacienta a dva dny po zákroku
- Zároveň stanovena hodnota ABI (index kotník-paže), $\geq 0,9$ a hodnota transkutánní tenze kyslíku (T_cPO_2)
- Pozorovány byly změny mezi končetinami po revaskularizačním zákroku

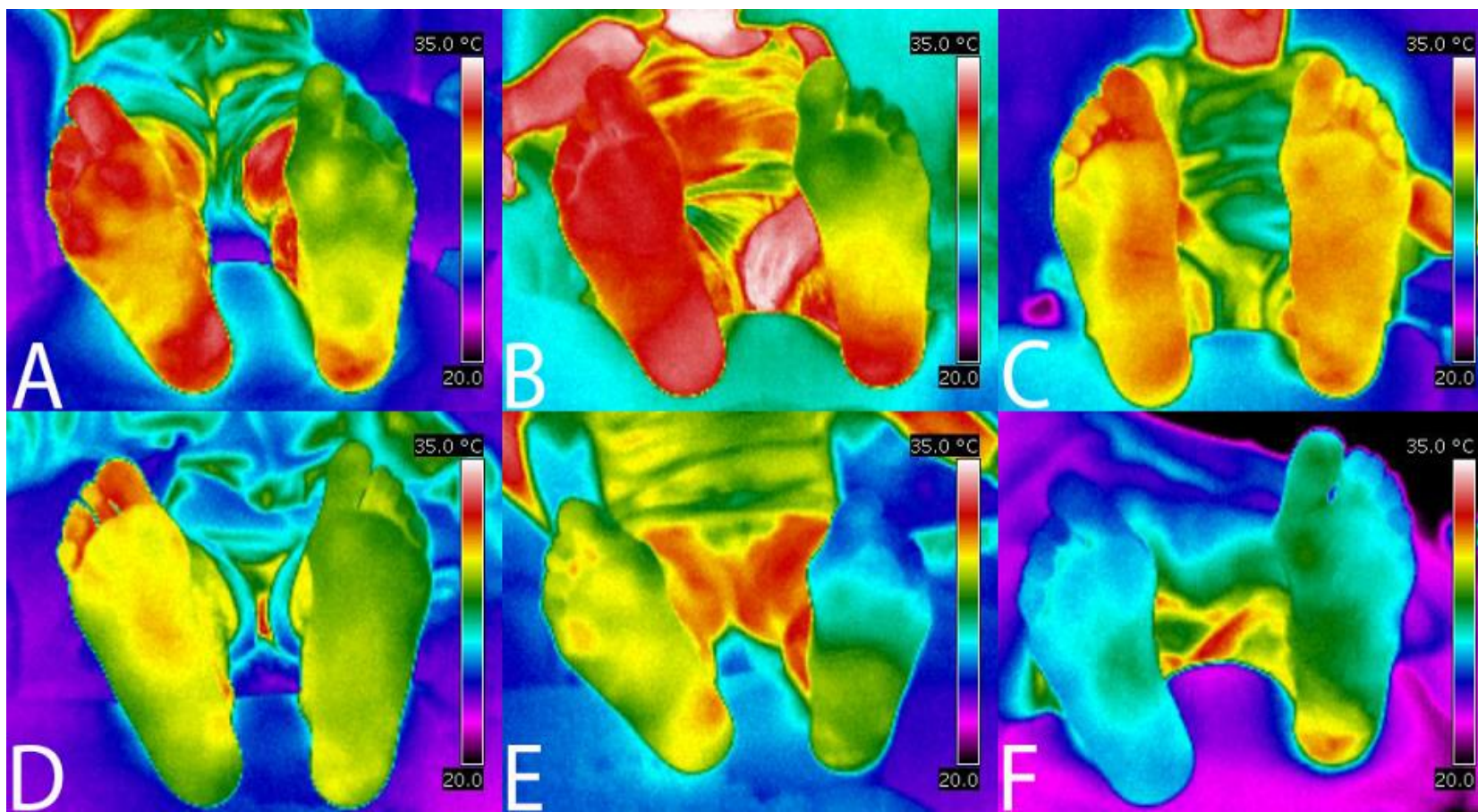
Demografická data pacientů	
Pohlaví	
Muži	9 (64,3 %)
Ženy	5 (35,7 %)
Průměrný věk	$67,8 \pm 5,7$
Věkový rozsah	59 až 82
Kouření	9 (64,3 %)
Diabetes mellitus	7 (50,0 %)



Kazuistika: dlouhodobé sledování pacienta s DM II.

- Muž 76 let, DM II, nekuřák
- Klaudikace a klid. bolesti neuvádí
- Pulsace: bilat. UZ a. dorsalis pedis (ADP)
- Sledován v období 12 měsíců

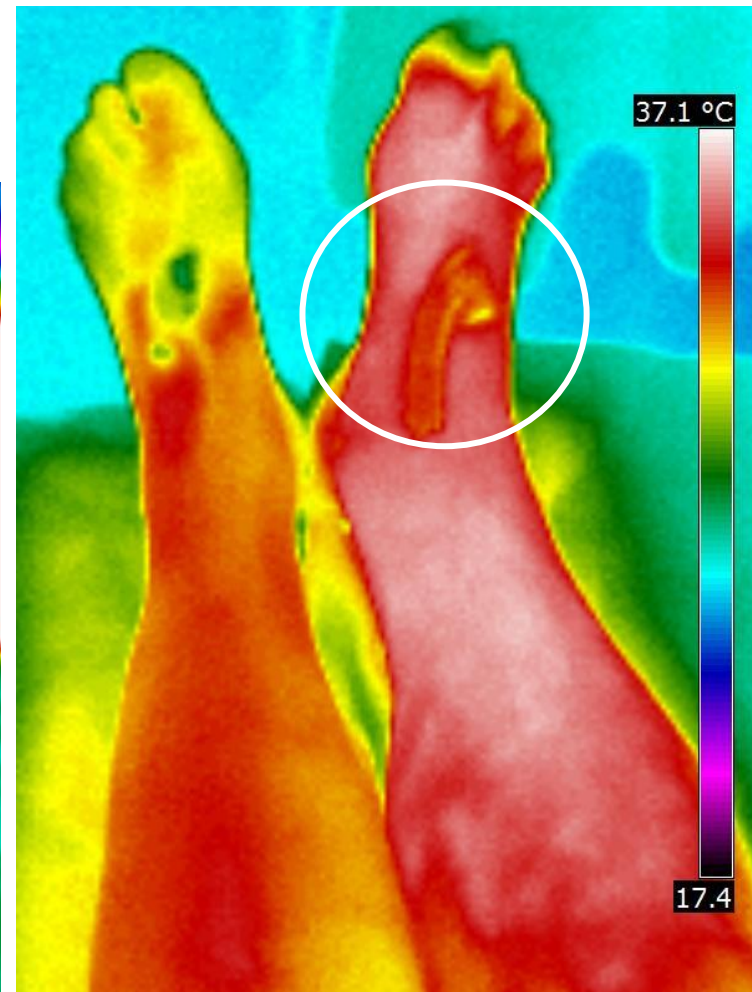
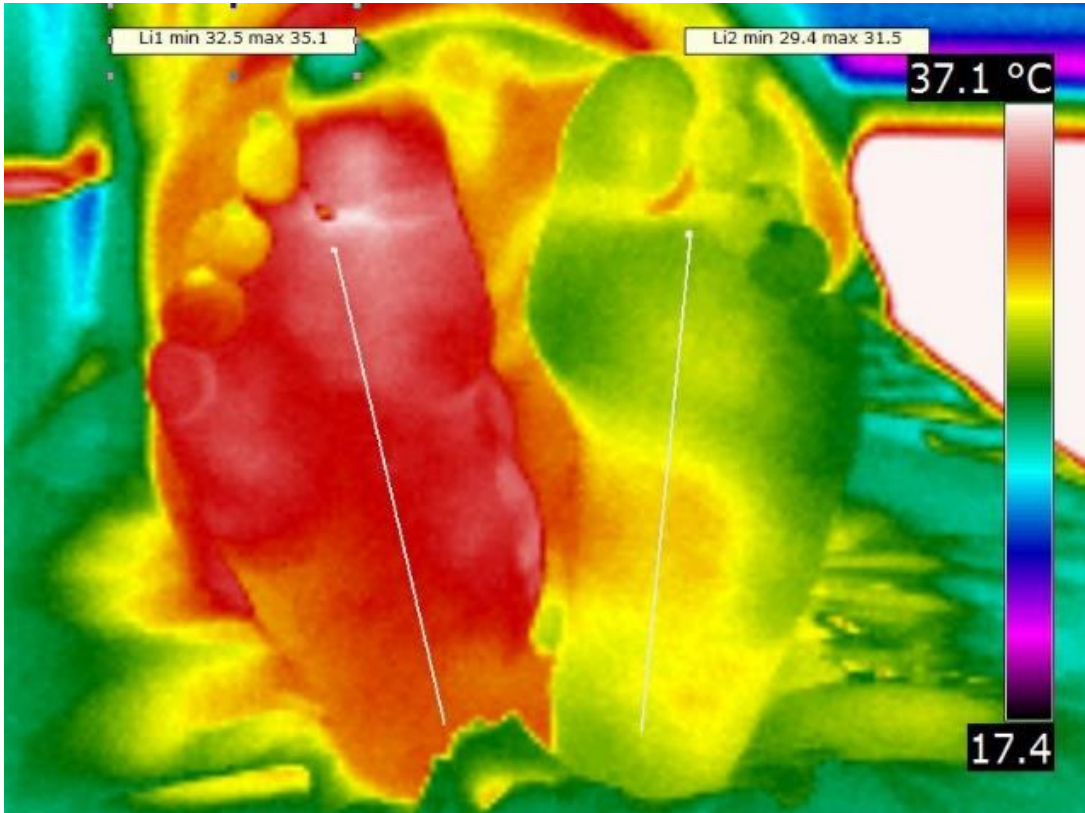
- **Obr. A:** průměrný rozdíl teplot $\Delta T = 1,8 \text{ } ^\circ\text{C}$ mezi LDK a PDK
- **Obr C –** malý defekt na palci (nehtové lůžko) LDK
- **Obr E → F revaskularizace PTA (palec LDK zhojení)**
- **Obr. F –** teplejší ložisko paty LDK (dekubitus 1. stadium, po 2 měsících vznik defektu)



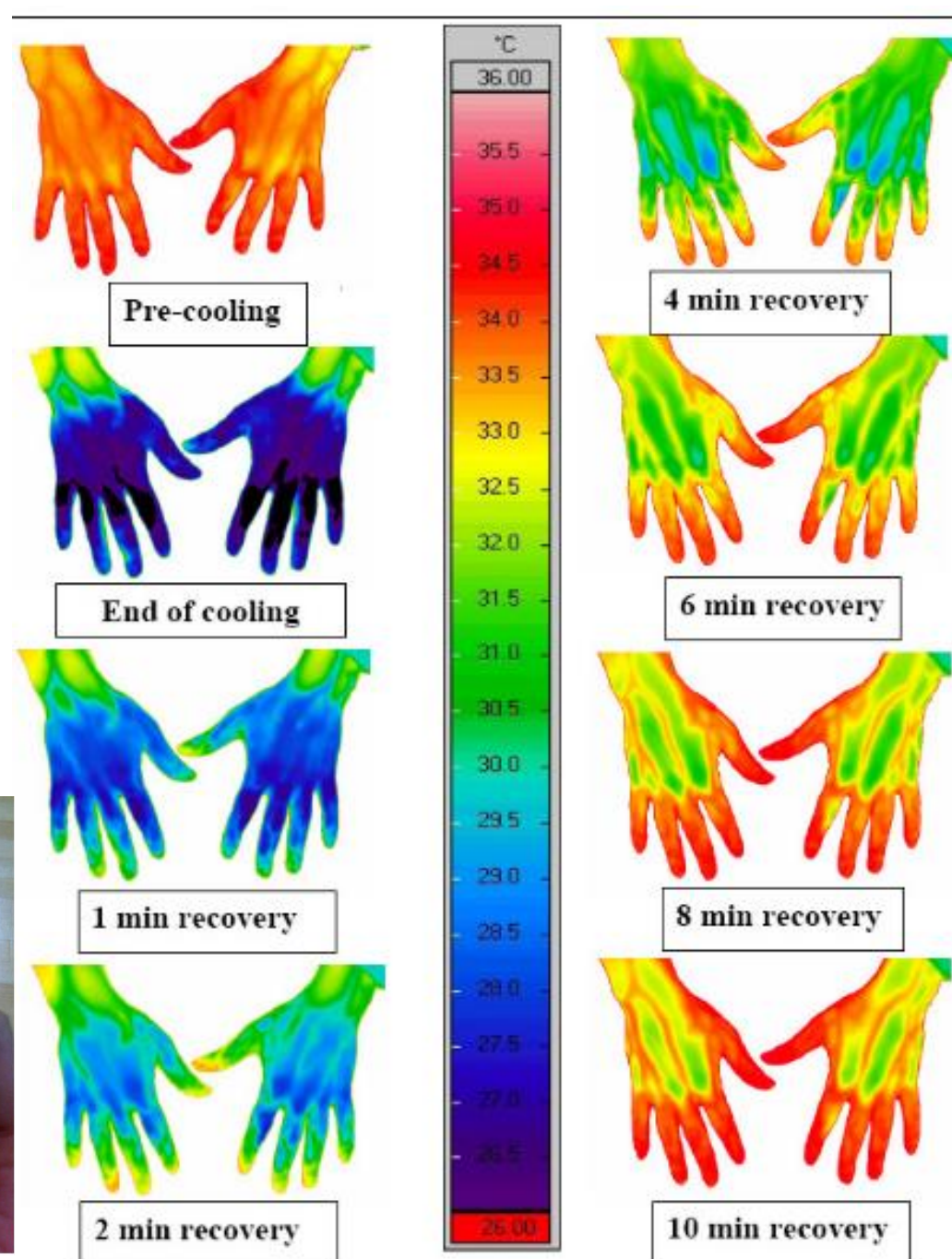
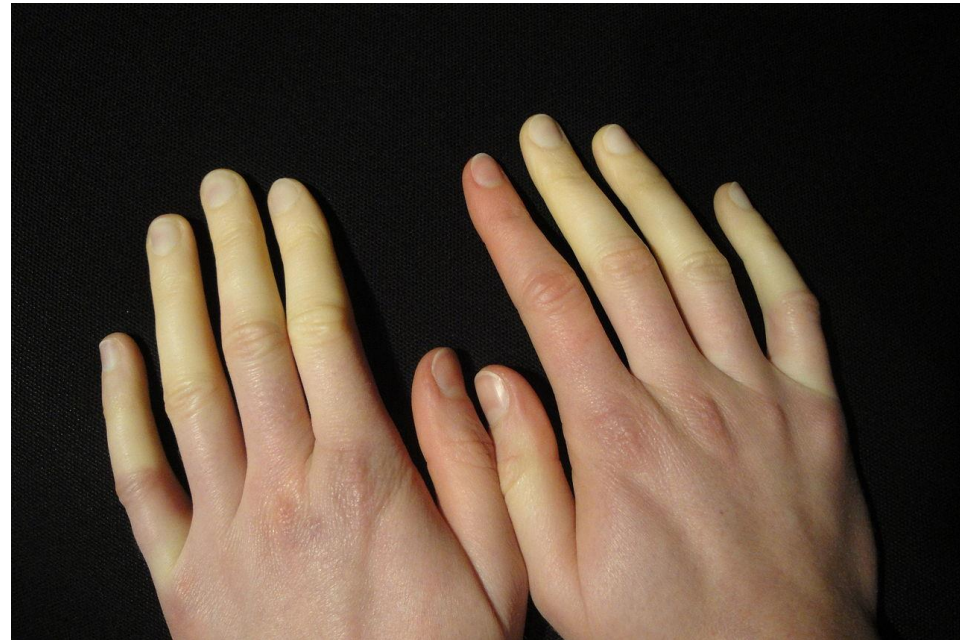
Kazuistika: končetina s defektem

- Muž 68 let, DM II.
- Defekt palce PDK
- Bez klaudikací a klid. bolestí
- Pulsace bilat. AF+, AP+, ADP+, UZ ATP+
- LDK i PDK po FP bypass

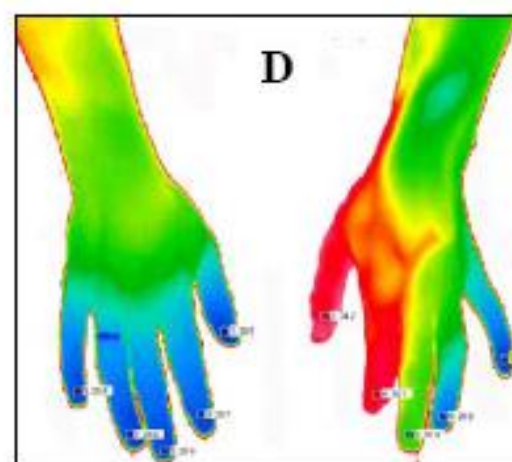
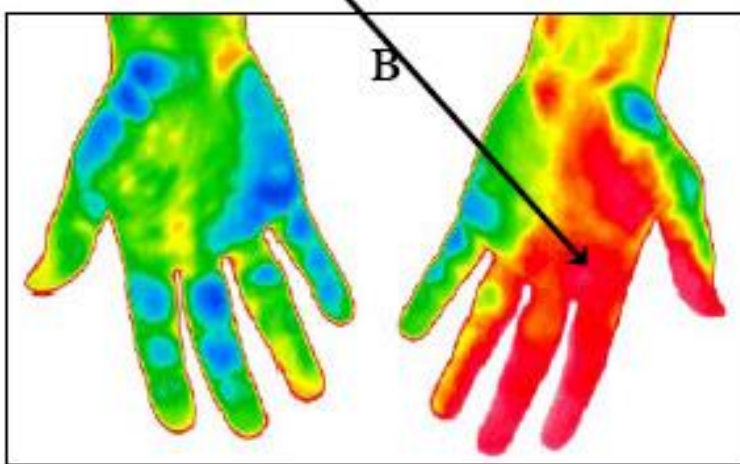
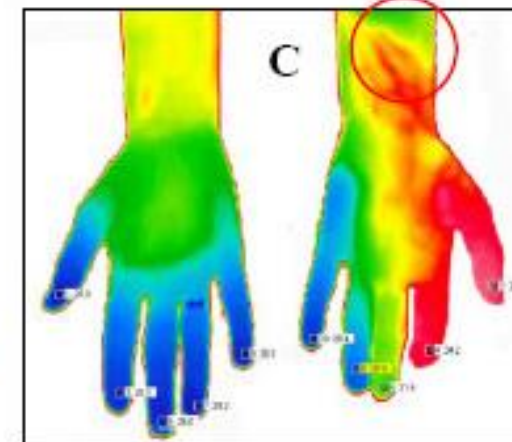
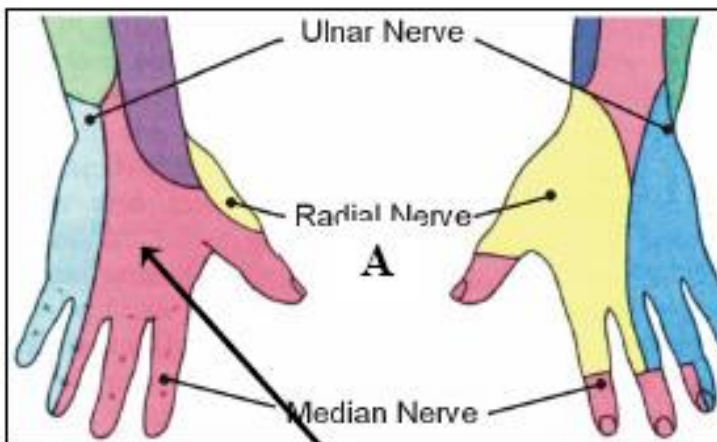
• Průměrný rozdíl teplot $\Delta T = 3,3 \text{ }^{\circ}\text{C}$



Raynaudův syndrom

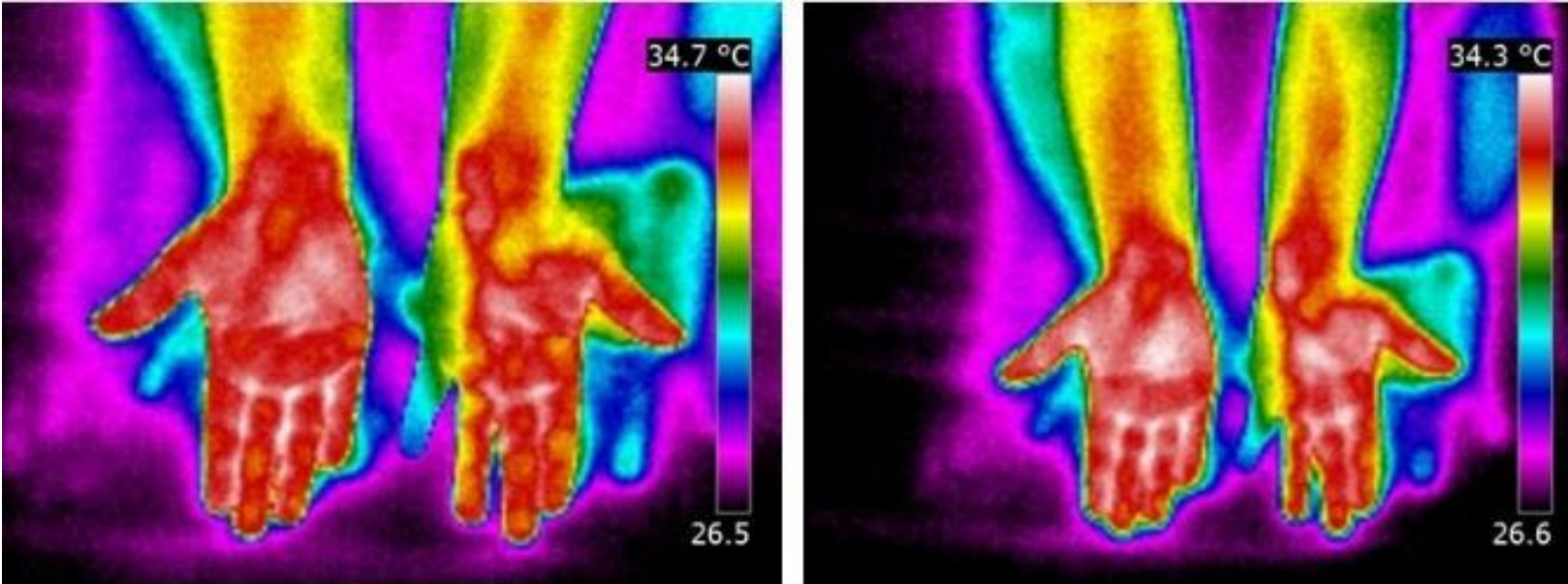


Nerve block and hand injury



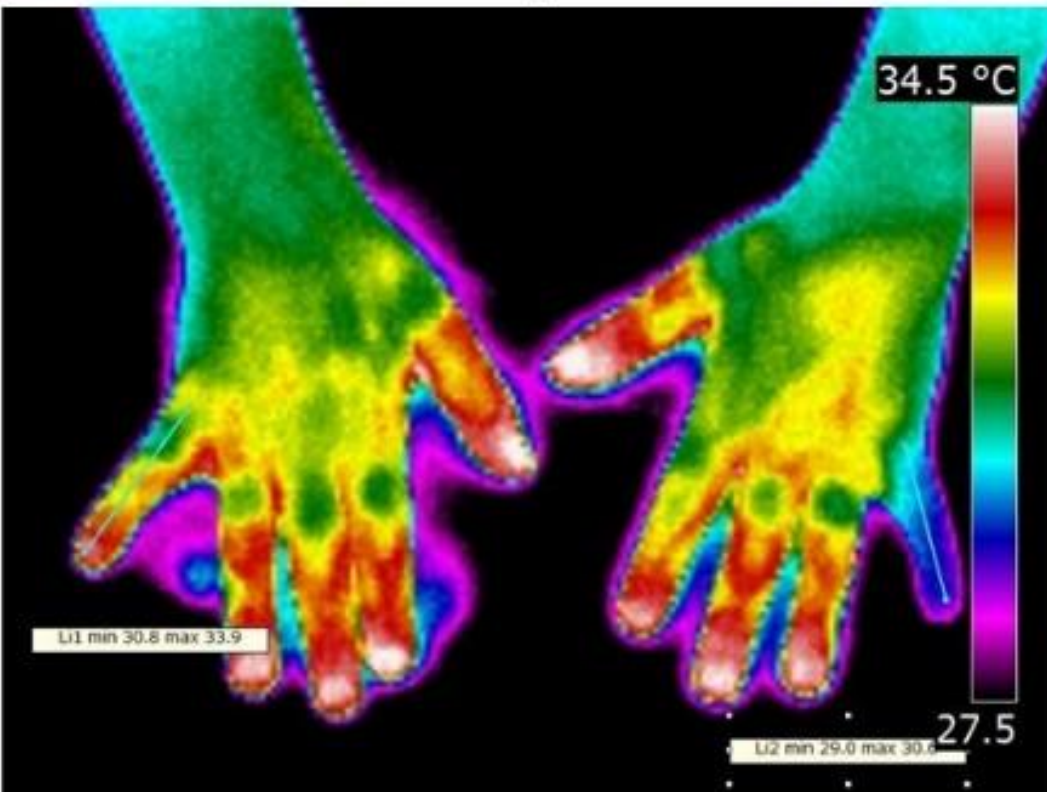
Nerve block
left median nerve

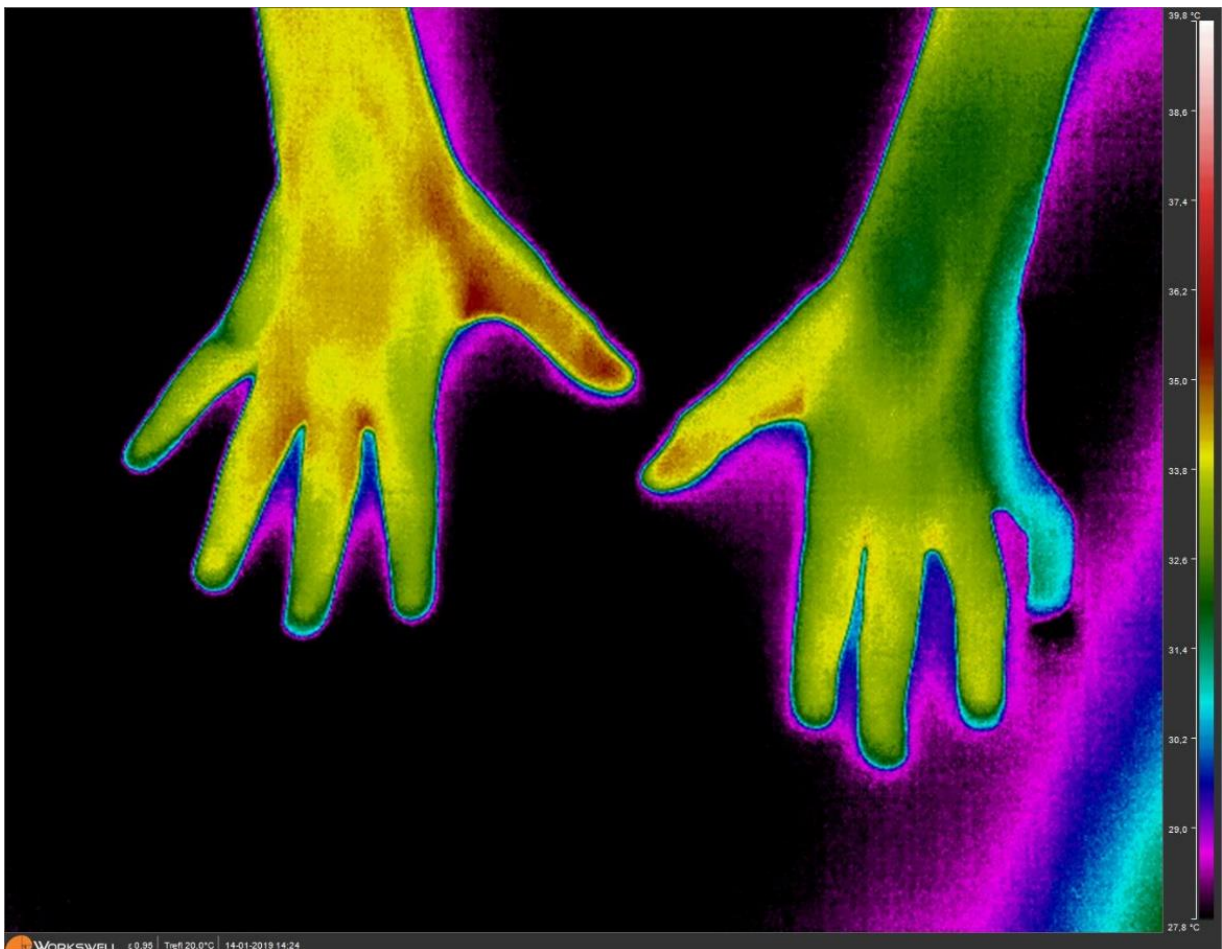
Stab injury
(red circle)



spolupráce
Biofyzikální ústav LF
Dětská neurologická
klinika, FN Brno

Paréza n. ulnaris

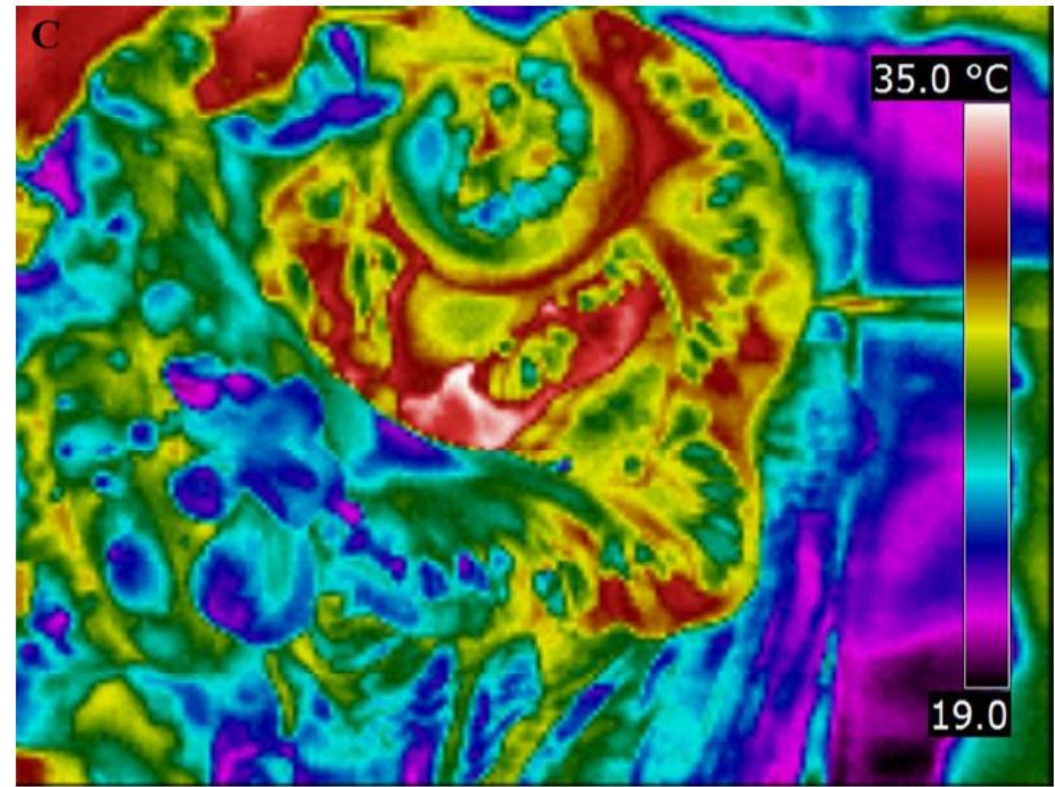
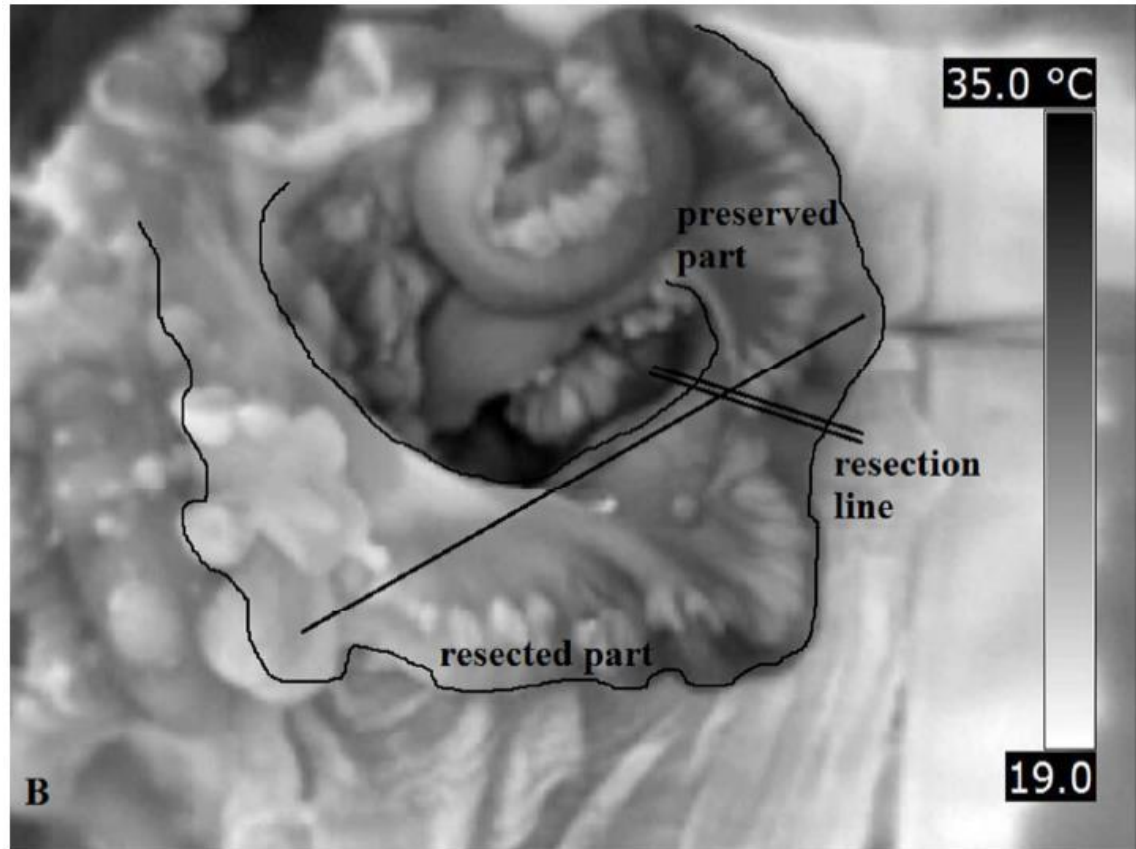


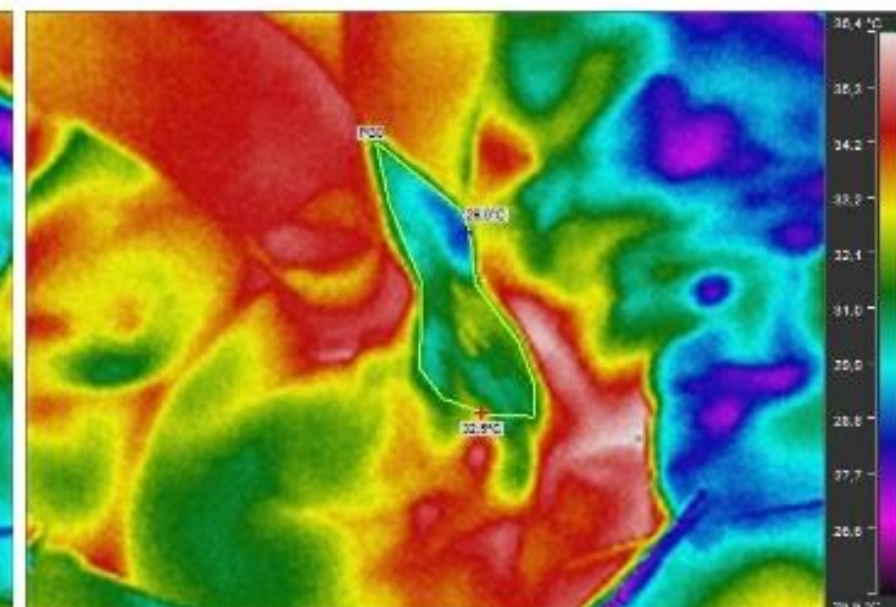
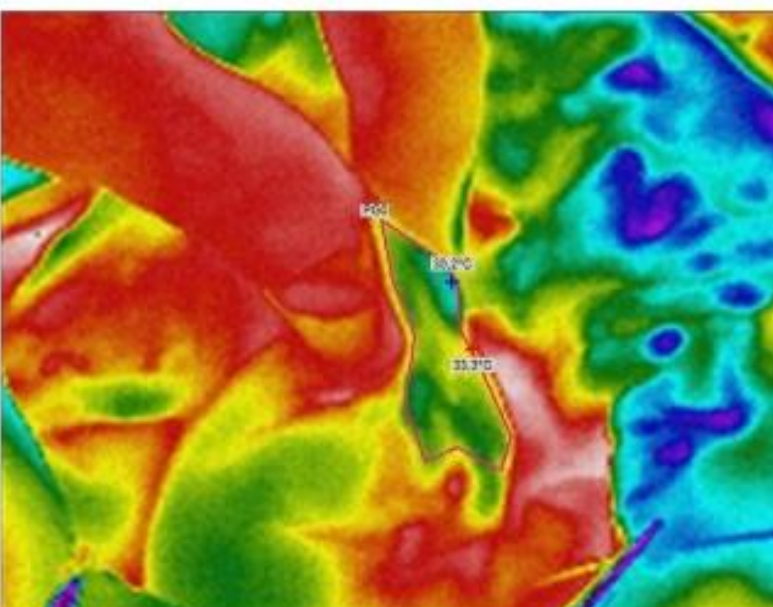
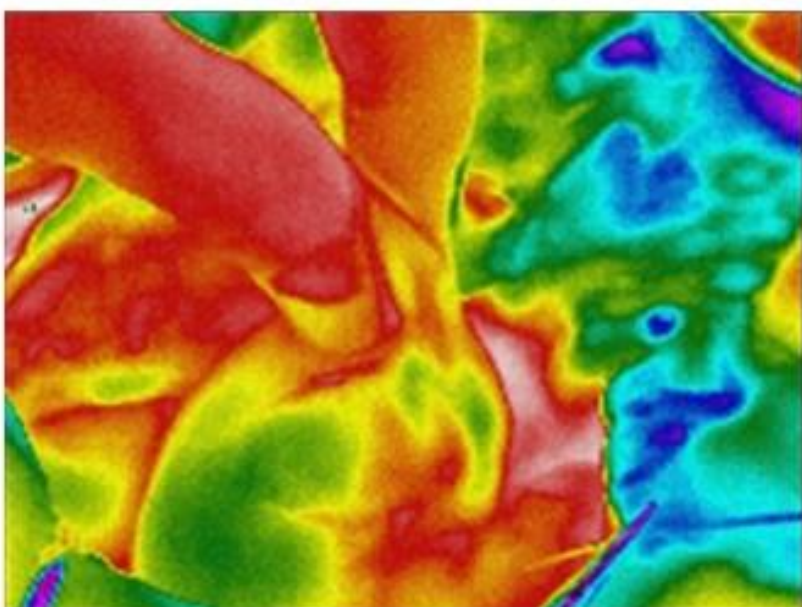
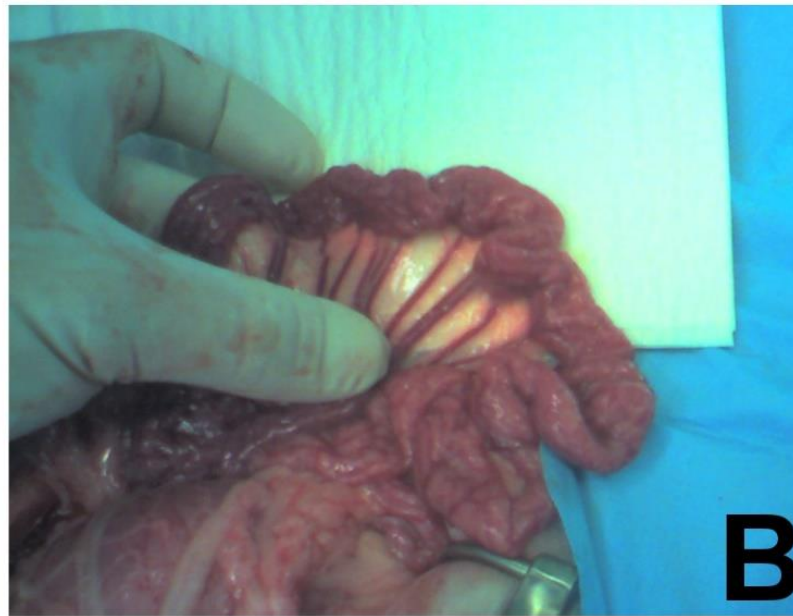
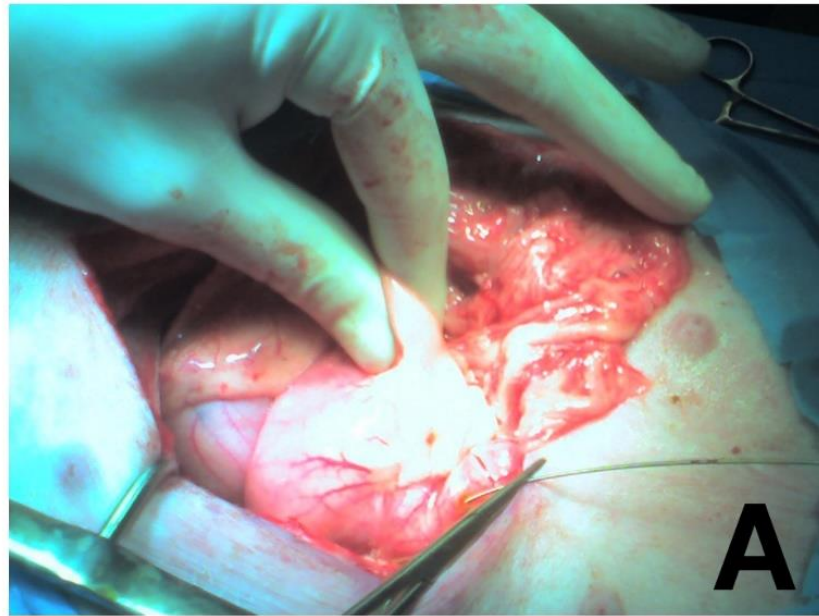


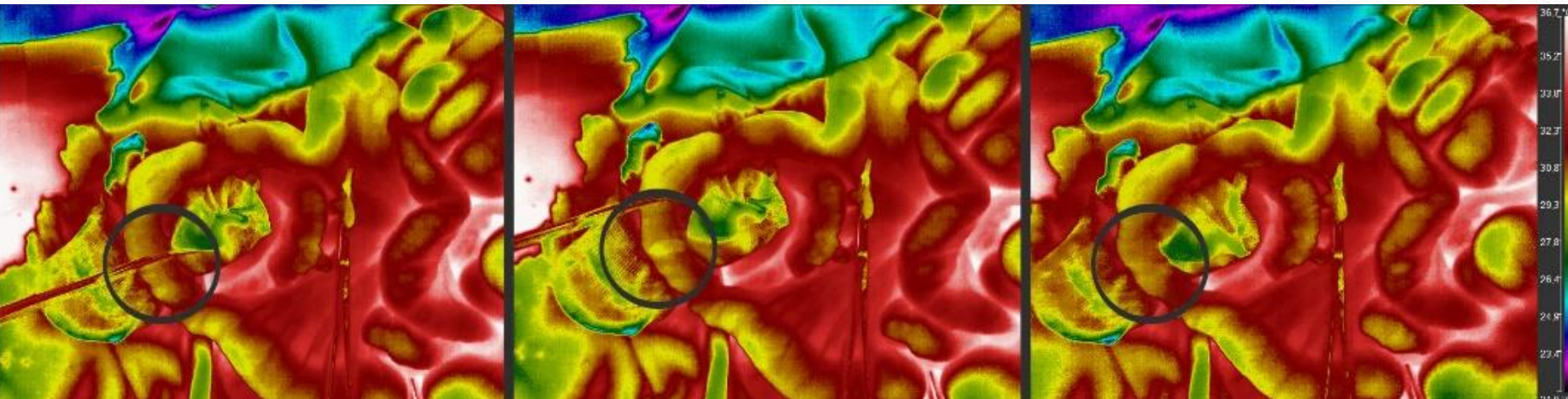
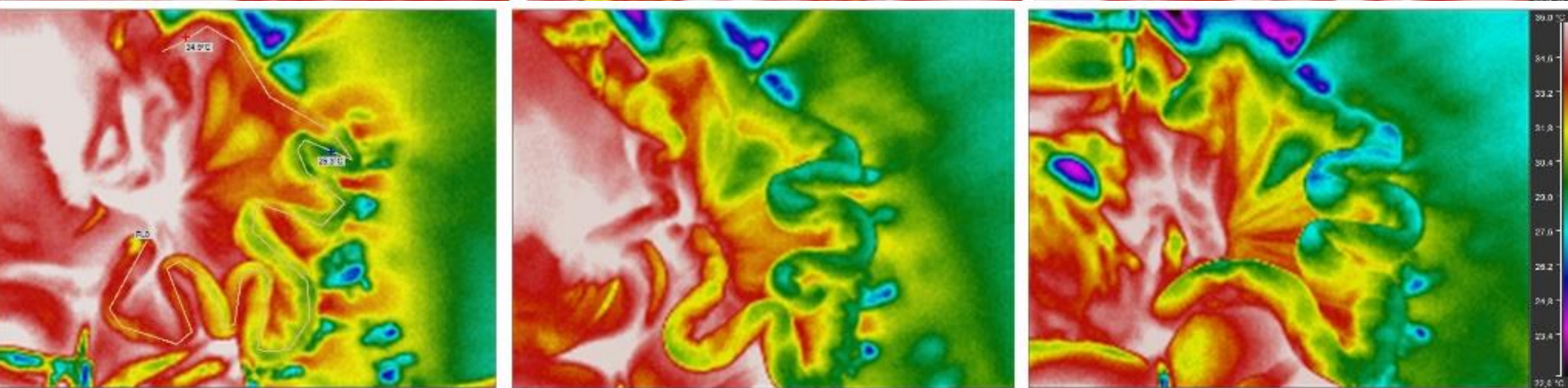
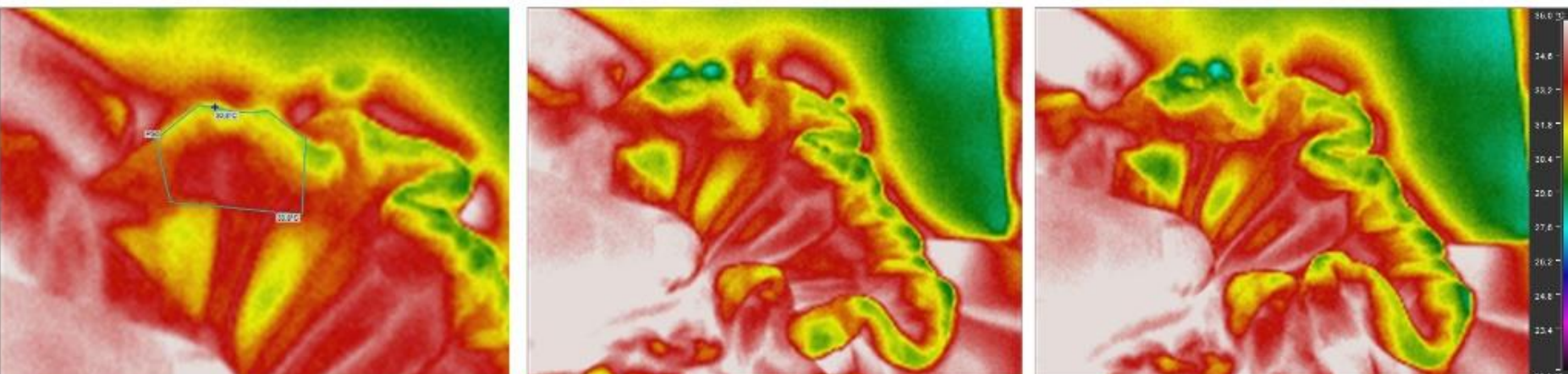
Paréza n. ulnaris – chladový test (3min)

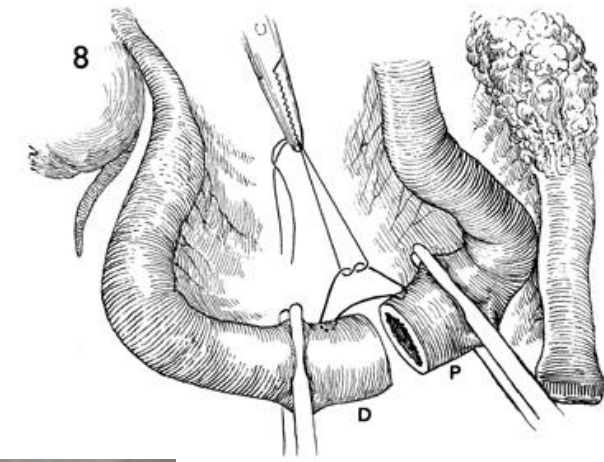
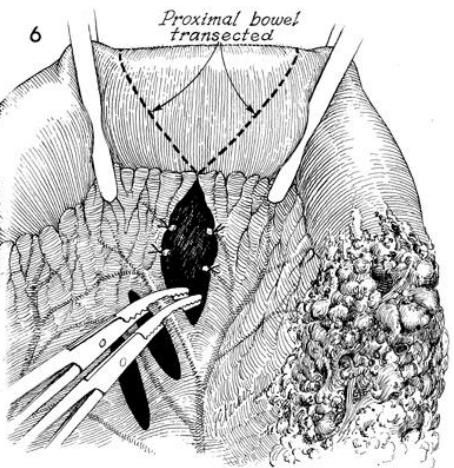
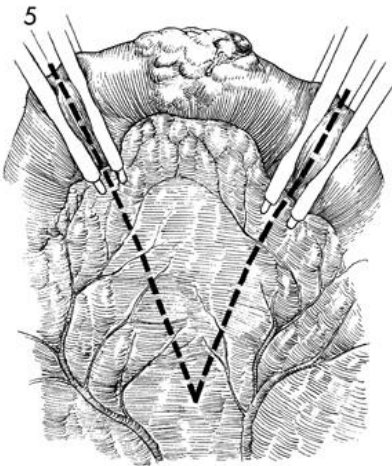
spolupráce
Biofyzikální ústav LF
Chirurgická klinika, FN
Brno

Resekce karcinomu tlustého střeva



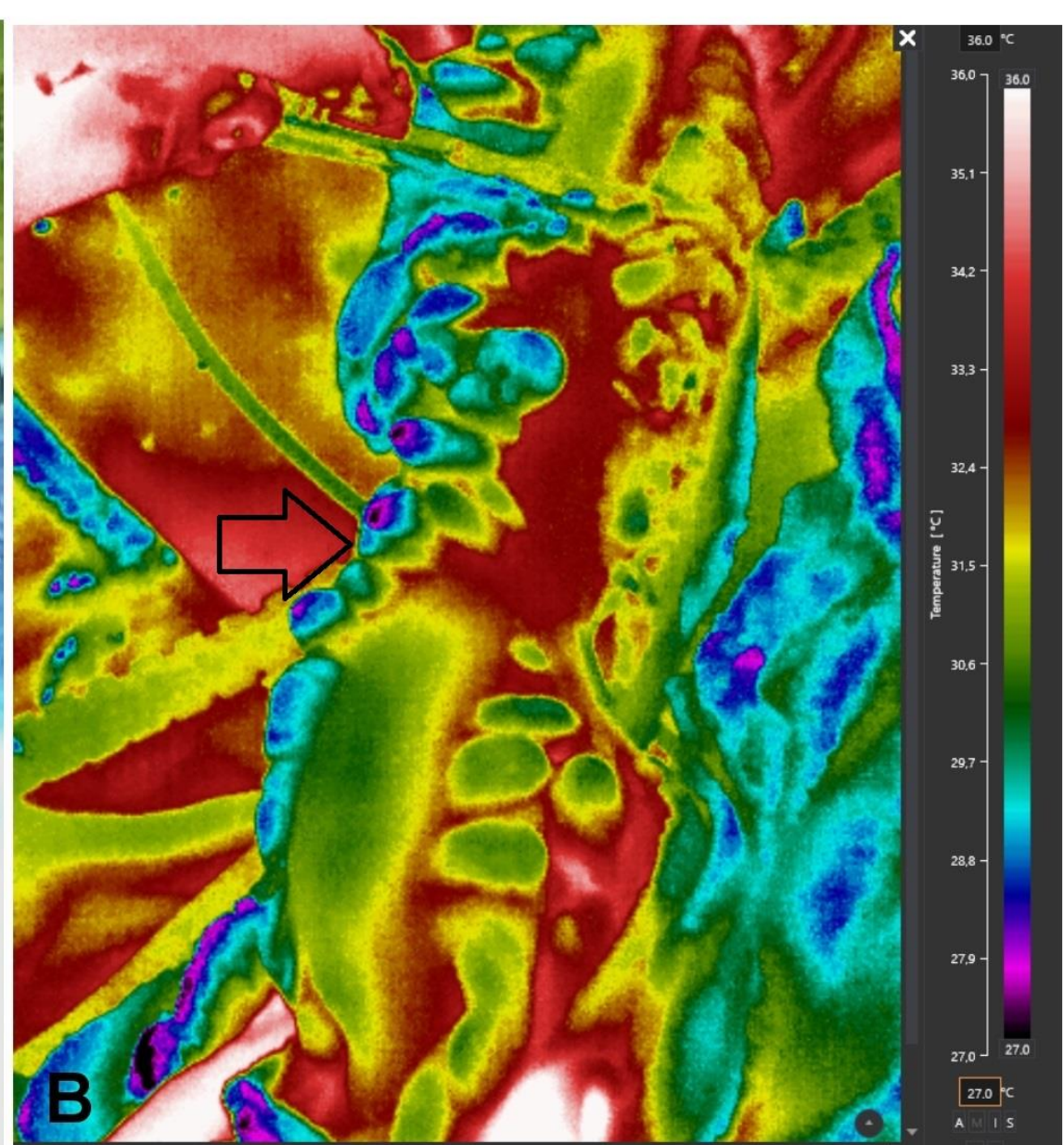






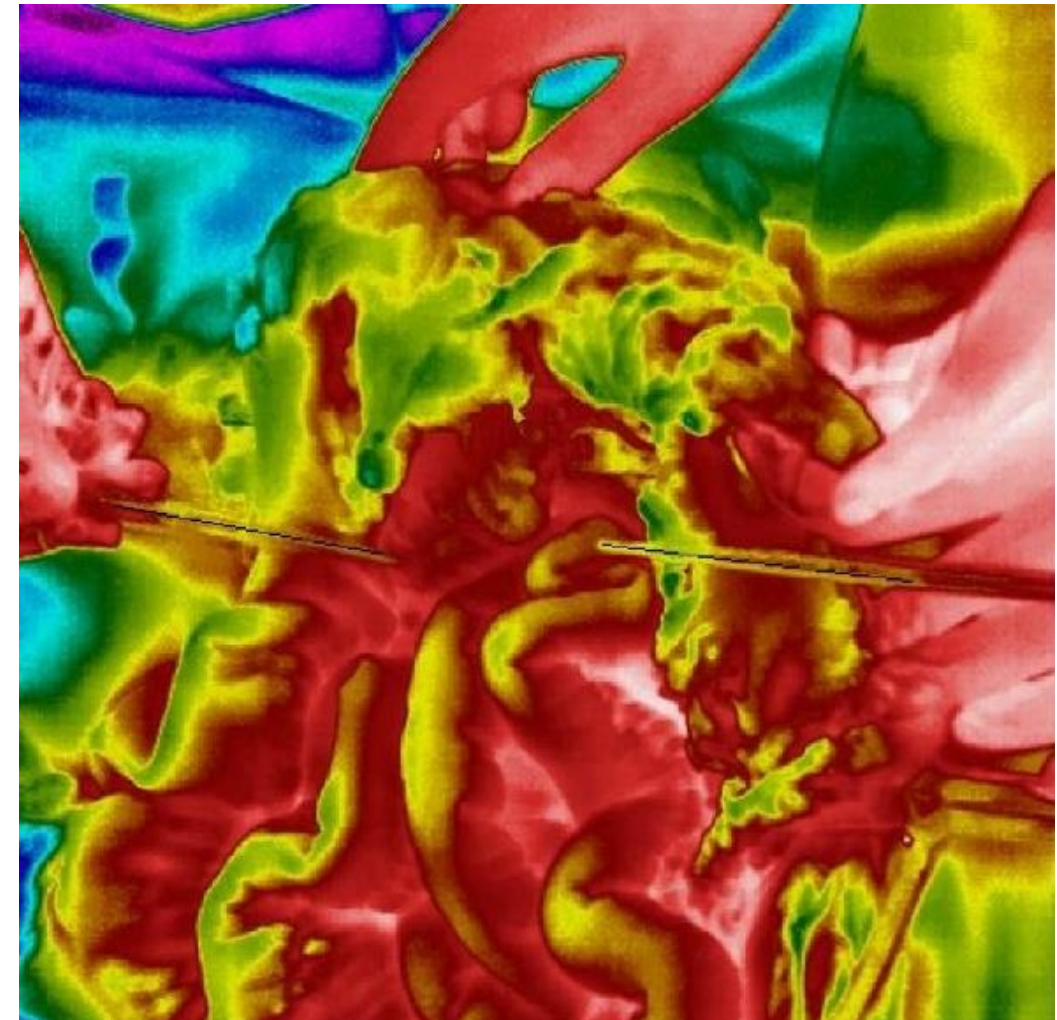
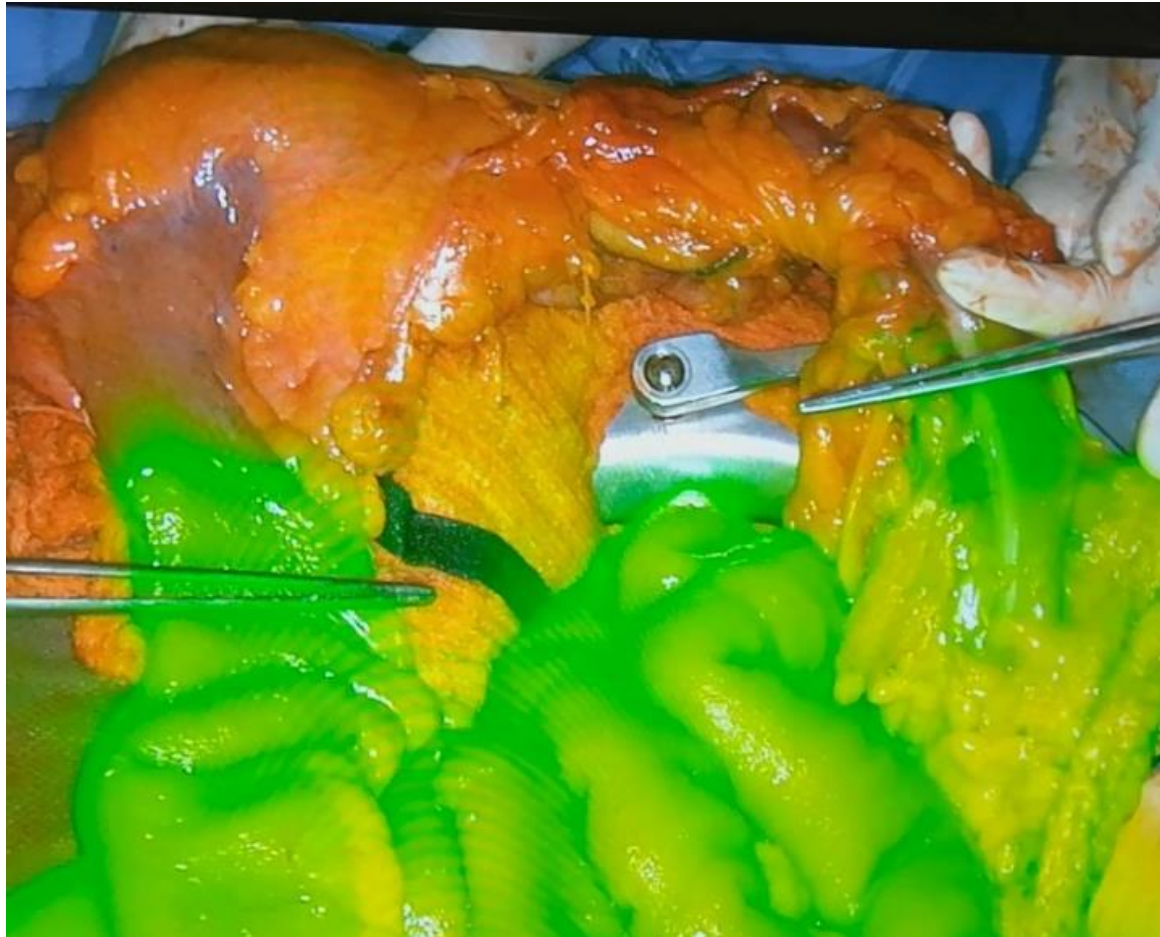
Indocyaninová zelen (ICG) absorbuje světlo v oblasti **přibližně 800 nm** a emituje fluorescenci kolem **840 nm**, což je zachytitelné **infračervenou kamerou**.

http://us.diagnosticgreen.com/wp-content/uploads/sites/5/2016/07/DxGreen-USA-Product_web2-1024x682.jpg
<http://novadaq.com/wp-content/uploads/2016/09/new-pinpoint-camera-web.png>
<http://novadaq.com/wp-content/uploads/2016/09/product-pinpoint-front.png>



MUNI
MED

Angiografie za použití indocyanové zeleně (ICG) vs Termokamera



Angiografie za použití indocyanové zeleně (ICG) vs Termokamera



Využití – karcinom jícnu

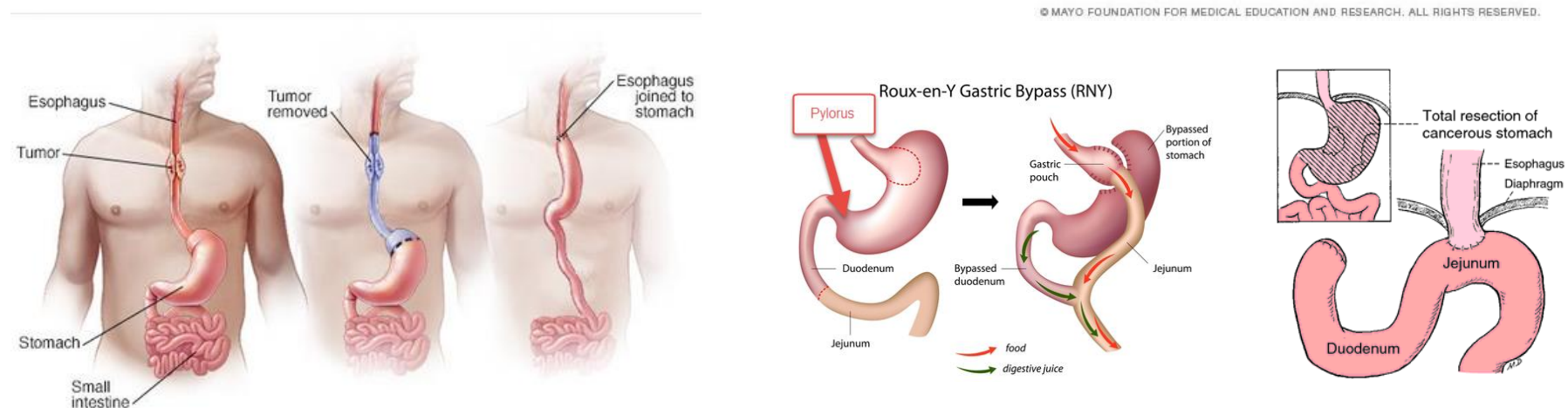
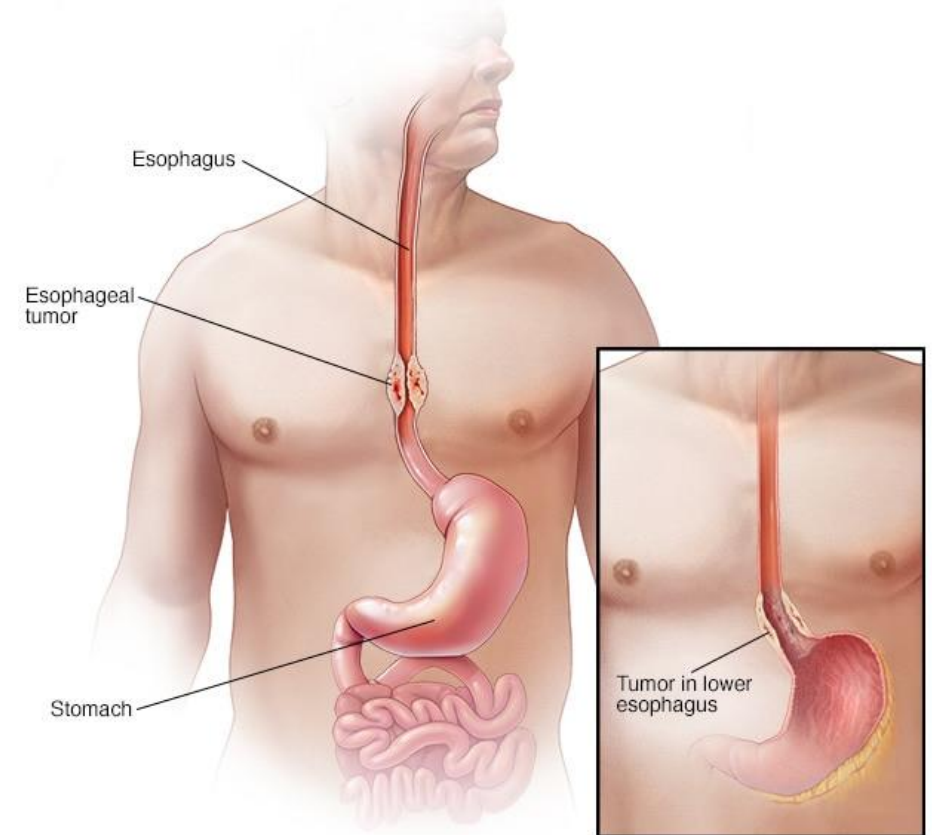
- Karcinom jícnu je 6 v pořadí u mortality pacientů (nádorová onemocnění)

Léčba

Primárně- radiační terapie, chemoterapie

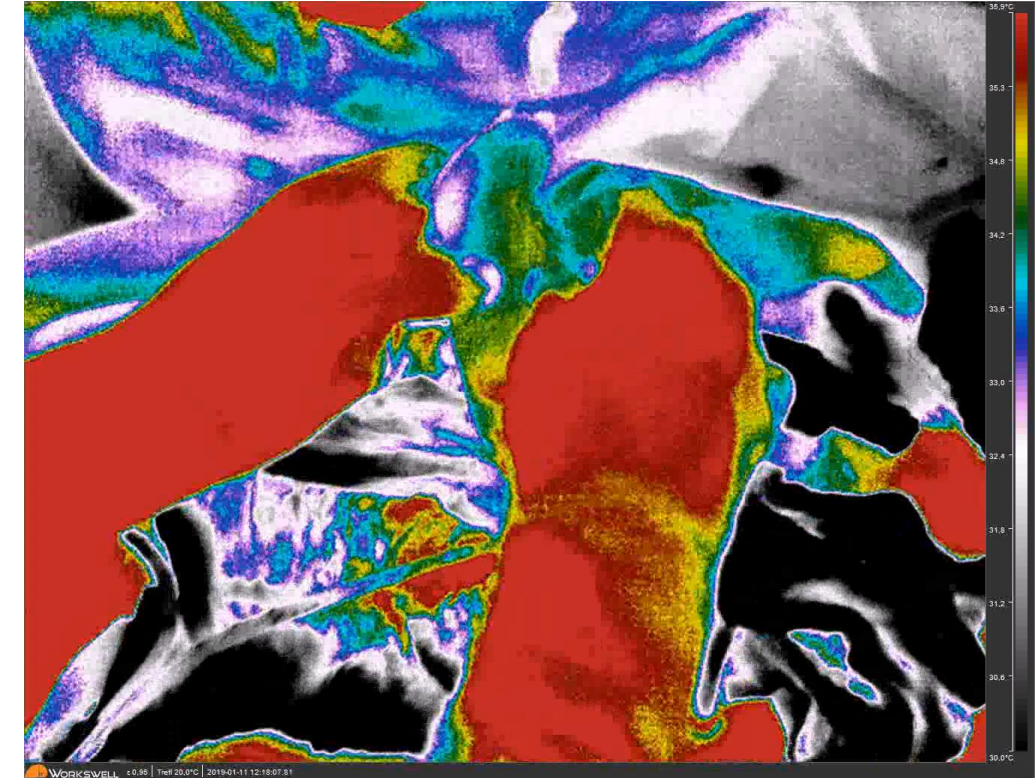
Chirurgická léčba – Vždy doporučena po primární léčbě

Esophagektomie – základní chirurgická léčba



Výsledky

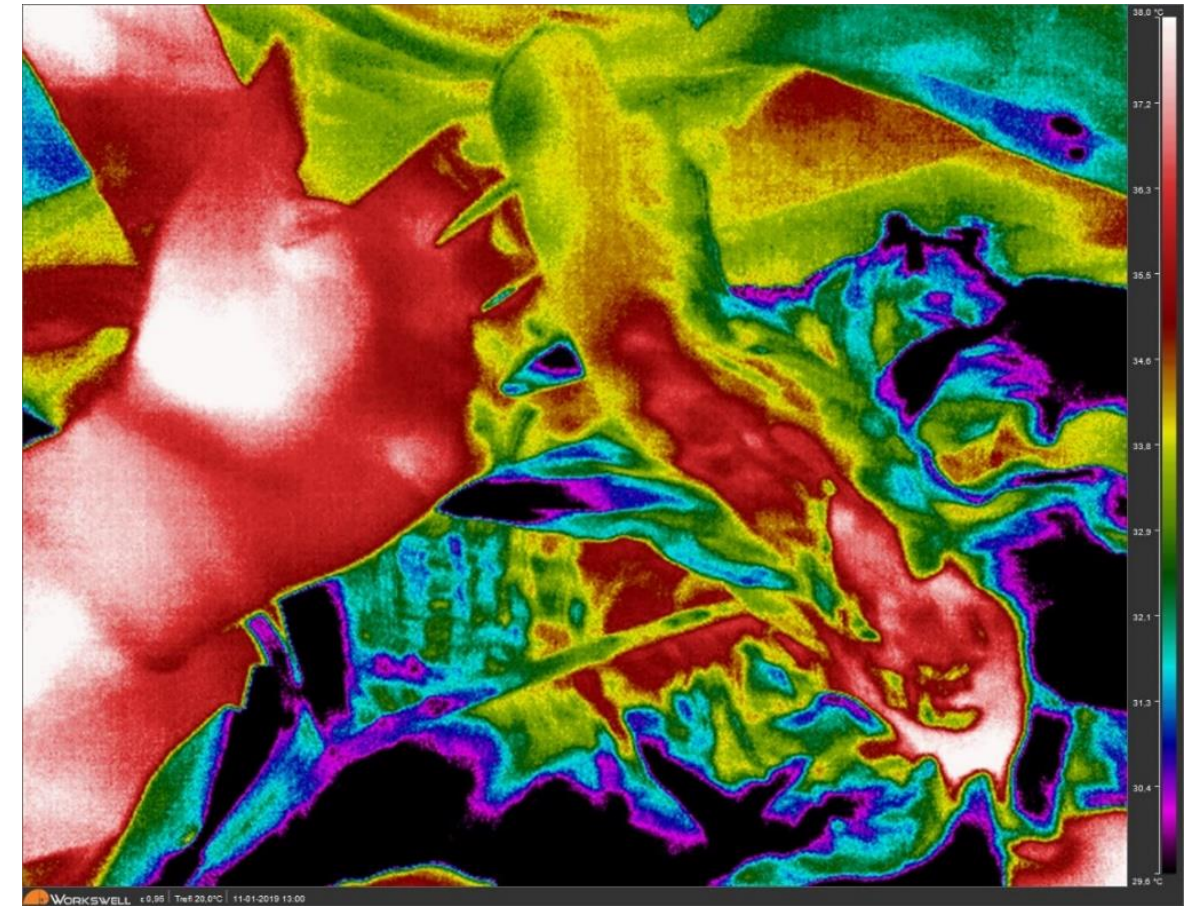
Pacient 1



MUNI
MED

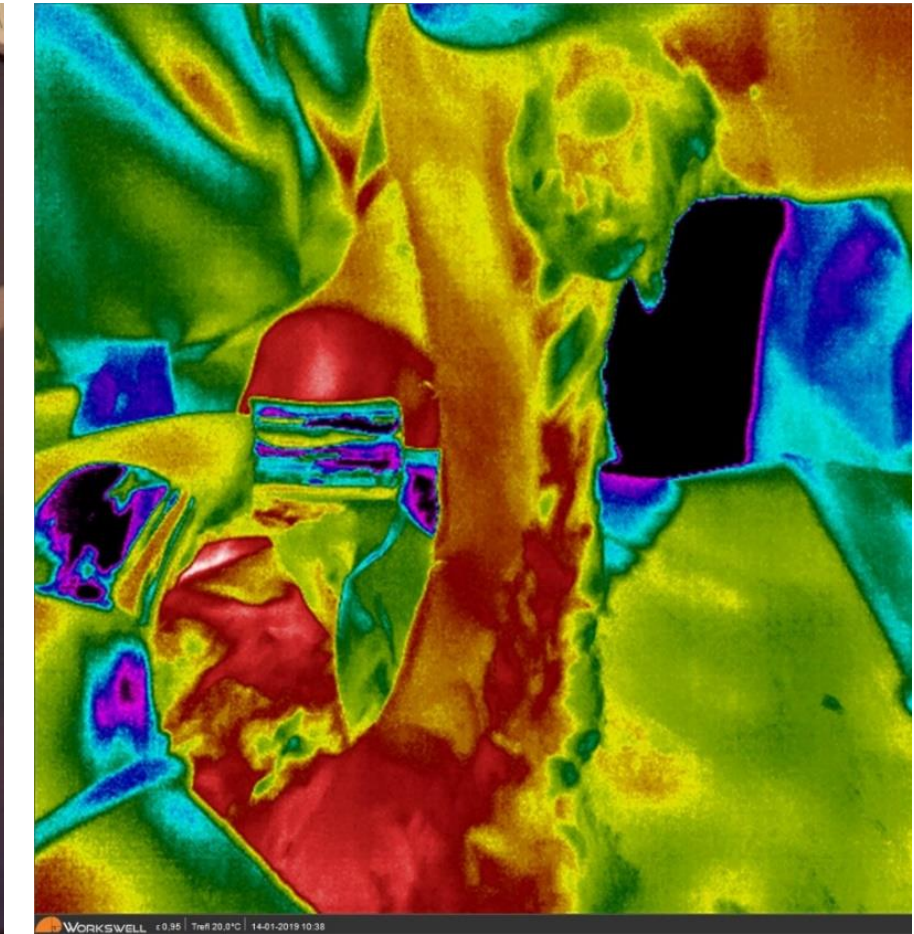
Výsledky

Pacient 2



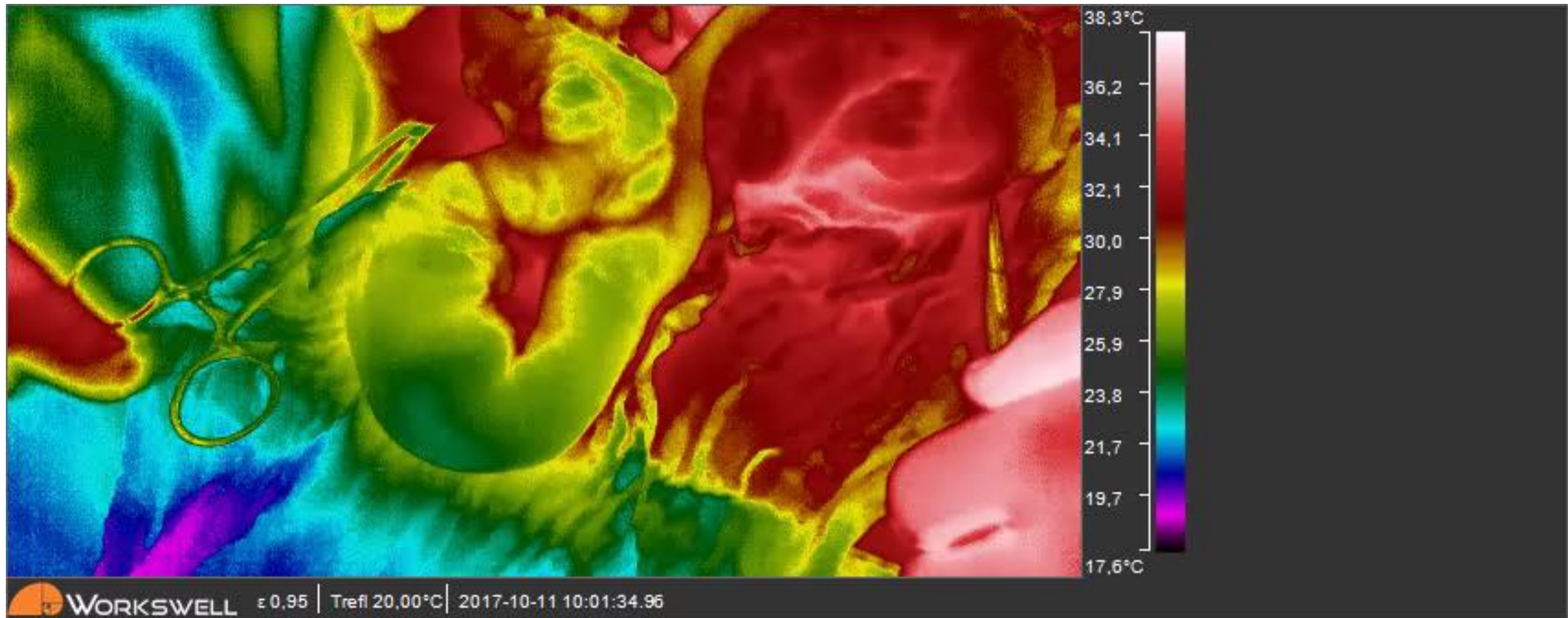
MUNI
MED

Výsledky

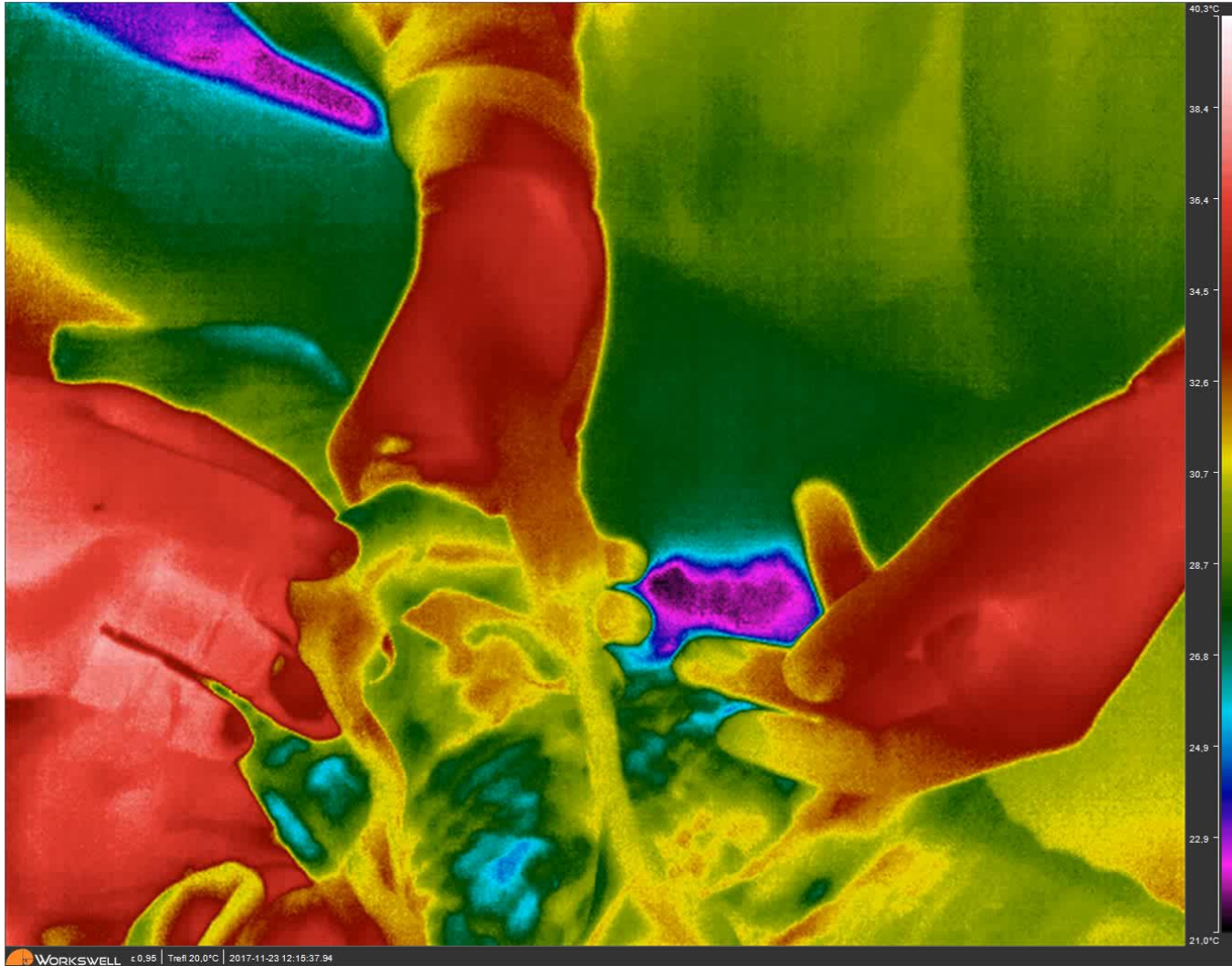


Co je skutečně a co zpracování software

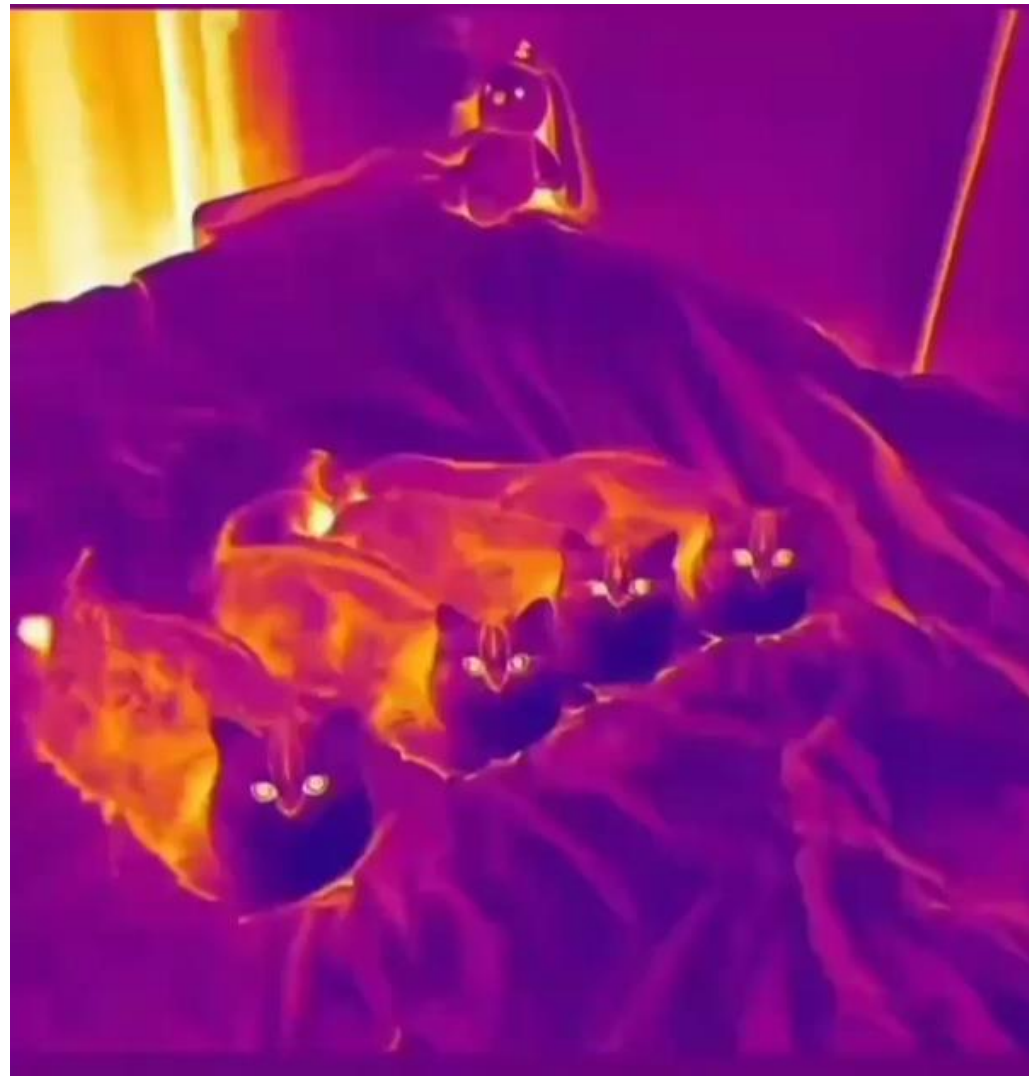
Chladové testy v průběhu měření



Sledování teploty při kauterizaci



MUNI
MED



Děkuji za pozornost

- Použité zdroje:
<http://cs.wikipedia.org/wiki/Rtu%C5%A5>
„Clinical thermometer 38.7“ od Menchi – Vlastní dílo. Licencováno pod CC BY-SA 3.0 via Wikimedia Commons -
http://commons.wikimedia.org/wiki/File:Clinical_thermometer_38.7.JPG#mediaviewer/File:Clinical_thermometer_38.7.JPG
"1024 Pyrometer-8445" by Hedwig Storch - Own work. Licensed under CC BY-SA 3.0 via Wikimedia Commons - http://commons.wikimedia.org/wiki/File:1024_Pyrometer-8445.jpg#mediaviewer/File:1024_Pyrometer-8445.jpg
- <http://www.thermologyonline.org/images/logos/ACCT-new-logo150x150.gif>
- "ParowozIR" by Jagokogo - Own work. Licensed under CC BY-SA 3.0 via Wikimedia Commons -
<http://commons.wikimedia.org/wiki/File:ParowozIR.jpg#mediaviewer/File:ParowozIR.jpg>
- <http://www.electronicshealthcare.com/images/MC-514.jpg>

